

METODER FOR REGISTRERING
AV
TOKSISK RELATERT VEKSTENDRING HOS SOPPMYCEL
Tungmetallpåvirkning på aksenisk mycel av *Lepista multiforme*



Hans Gotfred Dybdahl

Hovedoppgave for Cand. scient
Biologisk institutt
Universitetet i Oslo

2007

Takk til alle som på en eller annen måte har bidratt til at jeg omsider fikk gjort ferdig oppgaven! Spesiell takk til mine to veiledere, Klaus Høiland og Carl Morten M. Laane, som på hver sin måte åpnet døren til den vitenskapelige delen av biologifaget. Takk også til Kolbjørn Mohn-Jensen, som gjennom sitt smittende engasjement lokket meg inn i mykologiens verden. Kolbjørn har dessuten bidratt med *Lepista multiforme*-mycel og utlån av nødvendig plateleserutstyr fra Mycoteam as.
Takk til Studieseksjonen ved Biologisk Institutt, for tålmodigheten!
Takk til Bjørknes Privatskole for økonomisk støtte til trykking.

Bilder:

Forsidebildet av *Lepista multiforme* har Kolbjørn Mohn-Jensen tatt på Svalbard.

Fig 2.2 høyre er hentet på www.neuroprobe.com/products.

Baksidebildet av en skrivekule er hentet fra www.malling-hansen.org.

Øvrige figurer er egenprodusert materiale.

Trykk og fals:

punkt 1

Larvik, Norge

INNHOLD

ABSTRACT	4
INNLEDNING	5
METODOLOGISKE RESULTATER OG METODEUTVIKLING	6
Metode for optisk registrering av mycelvekst	6
Tilpasning av næringsløsning	6
Metode for inokulering	8
Tilsetting av metallioner, fortynningsrekke	8
Tilpasning av inkuberingsbetingelser	8
Valg av bølgelengde for optiske målinger	10
Første storskalaforsøk	10
Andre storskalaforsøk	12
Forsøksoppsett for undersøkelse av surhetsgradens betydning	12
Utvikling av sammenlikningskriterium, IC ₇₅	14
Sammenhengen mellom elektronegativitet og toksisitet	15
Metode for morfologiske studier av initiell veksthemming	16
Tilpasning av kollodiumfilmer	16
Inokulerings-, inkubasjons- og fikseringsteknikk	16
Forsøksoppsett for morfologiforsøk	18
Målemetode for initiell veksthastighet.	18
Metode for undersøkelse av lang tids veksthemming	20
Utvikling av vekstrør	20
Utvikling av teknikk for registrering av resultater	20
Forsøk med svake toksiske effekter	20
GENERELLE RESULTATER	22
Optisk registrering av mycelvekst	22
Virkningen av maltkonsentrasjon i inokuleringsagaren	22
Betydningen av pH i næringsløsningen	22
Første storskalaforsøk	24
Andre storskalaforsøk	26
Sammenlikning av resultatene, IC ₇₅	26
Sammenhengen mellom elektronegativitet og toksisitet.	30
Morfologi og initiell veksthemming	31
Veksthemming over lang tid	35
DISKUSJON	36
KONKLUSJON	40
LITTERATURLISTE	41
APPENDIKS	44
Første storskalaforsøk	44
Andre storskalaforsøk	51
Elektronegativitet og toksisitet	70
Verdier fra initiell veksthemming	71

ABSTRACT

In order to investigate the effect of different polluting agents to fungi, there is an obvious need for methods for estimating fungal growth. Given that the traditional methods are not accurate and efficient enough, the aim of this work has been to establish new and better ones. The main emphasis has been on a method based on growth in liquid solutions, in which increase in hyphal biomass is registered optically. Complying with the results of other workers, this methodology is shown to provide information about how metal ions influence fungal growth. This part of the work suggests four toxicity groups (fig 1.1). Also in this thesis I present a method for fungal growth studies that enable the investigator to work on a microscopic level. By letting the mycelium

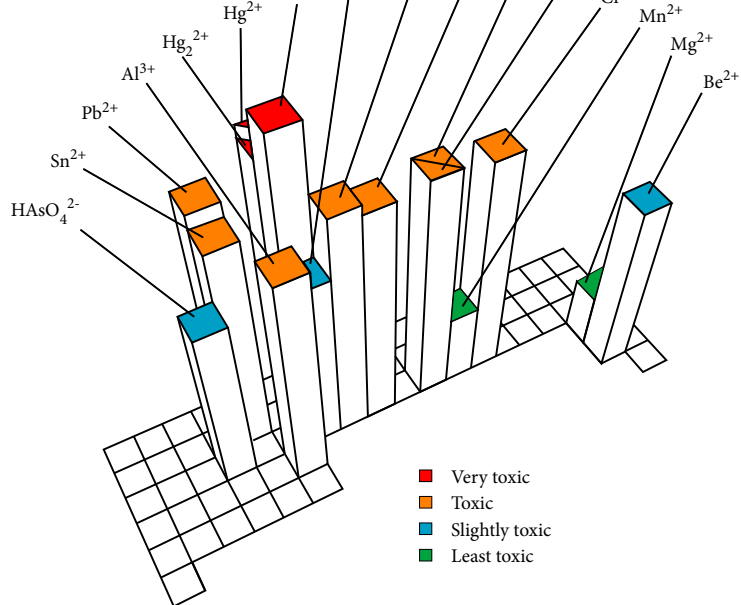


Figure 1.1

The investigated ions arranged according to the Periodic Table of the Elements. The height of the bars, representing toxicity, are made logarithmic in order to be presented together in one drawing.

grow in a layer with the thickness of only one cell on a microscope slide, both growth distance and cell morphology can be scrutinized through microscope techniques. Finally I put forward a technique for continually investigating the effect of toxic agents on hyphal growth during several weeks. Here the growth proceeds in the wall of a hollow agarose cylinder, protected by a glass tube. The growth is kept pace with by a mechanical typewriter, modified to transfer growth distance from the growth

tube to a sheet of paper. All experiments have been conducted upon mycelia from the Alpine basidiomycete *Lepista multiforme* (Romell) Gulden.

INNLEDNING

Sopphyfer og det mycellet hyfene danner, representerer et interessant medium for toksikologiske studier. Hyfer har spissvekst (Trinci, 1971). Dette byr på gode muligheter for å studere giftvirkninger, både som *endring i veksthastighet* og som *morfologiske endringer*. Metodene som tradisjonelt benyttes til slike undersøkelser utnytter ikke til fulle det potensialet som ligger i hyfenes voksemåte. De vanligste metodene for mycelkvantifisering har vært tørrvektbestemmelse fra mycel i flytekultur, og manuell måling av radialvekst i agarskåler. Jeg vurderer begge metodene som svært tidkrevende og til dels unøyaktige. Utgangspunktet for denne hovedoppgaven var å undersøke ulike tungmetallers innvirkning på mycelvekst. Under de innledende forsøkene og gjennom arbeidet med å definere oppgaven, ble behovet for bedre metoder så påtrenget at utviklingen av slike ble gjort til hovedtema.

Jeg har derfor som første hovedmål søkt å omga problemene ved tradisjonell tørrvektbestemmelse ved å ta i bruk plateleserteknologi. Dette kan med hell tilpasses de fleste typer sopp (Høiland og Dybdahl, 1993), men for selve metodeutviklingen var det viktig å finne en sopp med optimale karaktertrekk. De etablerte laboratorieartene som *Neurospora crassa*, *Penicillium ssp* osv har ofte pigmenterte hyfer, pigmenterte sporer osv, som skaper problemer i forbindelse med optiske måleteknikker.

Jeg har valgt et enkelt kollekt av en alpin basidiomycet (*Lepista multiforme* (Romell) Gulden) som testorganisme.

Hyfene hos denne har moderat veksthastighet, lav hyfepigmentering og minimal tendens til dannelse av mycelstrenger og gjærcelleliknende stadier. Andre hovedmål har vært å benytte plateleserteknikken for å undersøke toksiteten til utvalgte metallioner på *L. multiforme* og sammenlikne med tidligere studier av metalliontoksiteten

generelt for sopp. Metoden gir, som for tidligere metoder, et begrenset tidsintervall for vekststudier. Derfor er metoden best egnet på vekstperioder fra noen få dager for de hurtigst voksende artene, til opptil et par uker for de mer langsomt voksende artene.

Jeg har derfor hatt som et underordnet mål å utvikle en teknikk for registrering av initiell vekst, og som et annet underordet mål, søkt å utvikle en metode for kontinuerlige vekstmålinger over flere uker. Den første av disse teknikkene bygger på en gammel metode for morfologiske studier av mycel. Dermed gis det mulighet for en kombinasjon av morfologistudier og studier av veksthastighet. Den siste metoden er i prinsippet en videreføring av vekstforsøk med agar som medium.

Metallionene som undersøkes i oppgaven er både det som tradisjonelt kalles tungmetaller, sammen med ionene fra noen metaller med lettere atomkjerner (Niedor & Richardson, 1980). Arsen er også tatt med, og er for ordens skyld, et halvmetall. Utvalget representerer en rimelig variasjon i kjemiske og toksiske egenskaper.

METODOLOGISKE RESULTATER OG METODEUTVIKLING

Tre alternative metoder ble forsøkt utviklet for kvantifisering av mycelvekst. En metode baserer seg på vekst i flytemedium hvor tilveksten av hyfer registreres optisk i mikrotiterplater. En annen metode baserer seg på at et tynt mycel vokser mellom et objektglass og en kollodiumfilm. Veksten måles som avstand fra inokuleringspunkt til hyfespiss. Metoden er rettet mot initiell vekst og krever avlesning i lysmikroskop. Den tredje metoden lar mycelveksten foregå i en agarosesylinder med hul kjerne. Også her måles veksten som avstand fra inokulering til hyfespiss, men veksten kan foregå over mye lenger tid.

Metode for optisk registrering av mycelvekst

I tidligere undersøkelser er mycelvekst i flytekulturer ofte målt ved hjelp av tørrvektbestemmelse. Metodene er tidkrevende og belagt med store feilkilder. Jeg har derfor valgt å registrere mycelvekst *in situ* med optisk måleutstyr. Forskere som arbeider med *bakterier* og *gjærceller*, har i lang tid kunnet benytte seg av endring i optisk tetthet som mål for cellevekst i suspensjoner, men metodene herfra er ikke direkte overførbare. Sopp som vokser med hyfer, vil normalt ikke fordele seg homogent i en næringssløsning. Målinger utført ved hjelp av tradisjonelle kuvetter med horisontal lysgjennomgang blir derfor ofte lite representative. Det vil være særlig høy grad av inhomogenitet fra kontaktflaten mellom luft og næringssløsning og et stykke nedover i løsningen. Et bedre utgangspunkt for optisk avlesning av hyfemengde får man med kuvettetyper som er utviklet for vertikal lysgjennomgang (fig 2.1). Jeg valgte å prøve ut gammasteriliserte mikrotiterplater av polystyren (NUNCLON DELTA, InterMed).

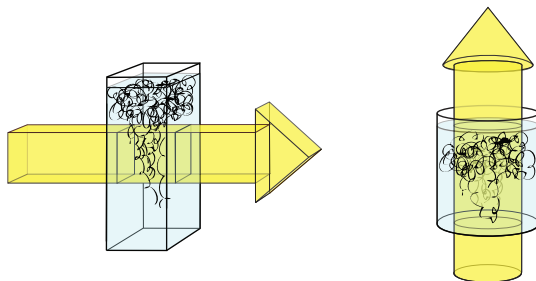
Mikrotiterplatene består av 96 brønner fordelt over åtte

rader (A-H) og 12 kolonner (1-12) (fig 2.2). Hver av brønnene rommer ca 300 µl. Optisk tetthet måles individuelt for hver brønn ved hjelp av vertikale lysstråler (fig 2.3).

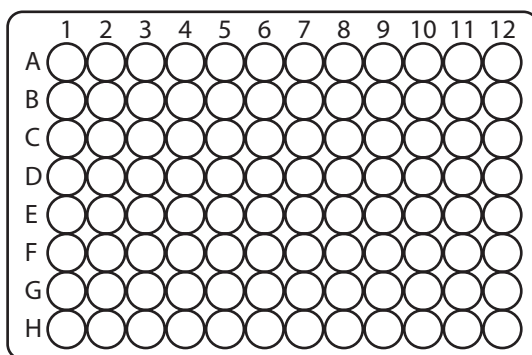
Mikroplateteknikken ble innledningsvis prøvd ut på en 3550 *Microplate Reader* (BIO-RAD), tilkoplet en *Macintosh computer*. Avlesningsverdiene ble lagret og behandlet på EXCEL regneark (Microsoft). Disse innledende forsøkene ble brukt til å optimalisere *næringsløsning*, *inokuleringsteknikk*, *metalliontilsetting* og *inkubasjon* for mikroplateteknikken:

Tilpasning av næringssløsning

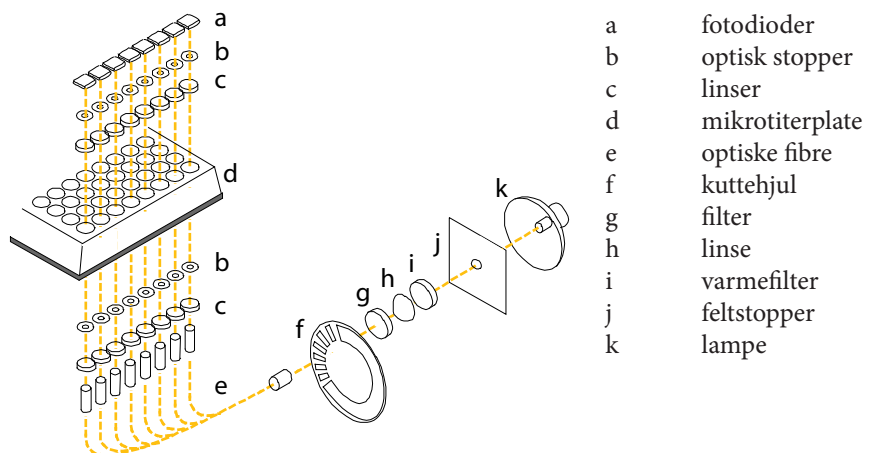
En rekke ulike næringssløsninger og konsentrasjoner ble undersøkt. Den best egnede syntes å være 1,5 % (15 g/liter) flytende maltekstrakt (Moss maltextraktfabrik). Denne næringssløsningen er enkel å tillage, og gir god vekstrate. Malt er et rikt medium som inneholder spor av metallioner. Så lenge det er toksisiteten til metallionene som analyseres og ikke deres rolle som sporstoffer, kan man i hovedsak se bort fra dette. En maltkonsentrasjon på 1,5 % har lav optisk tetthet, slik at absorpsjonsverdiene i hovedsak skyldes sopphyfer og eventuell utfelling. Samtidig gir en slik maltkonsentrasjon tilnærmet optimale vekstbetingelser gjennom hele vekstperioden. For sammenlikning av resultater fra flere forsøksserier, er konsentrasjonen av karbohydrater i næringssløsningen av stor betydning. Glukose er vist å ha innvirkning på soppens perifere vekstsone (Trinci, 1971), og er derfor i motsetning til f.eks temperatur og kjemiske inhibitorer, av avgjørende betydning for hyfenes veksthastighet. Dette har klar sammenheng med vannpotensialet i næringssløsningen. Høy glukosekonsentrasjon i næringssløsningen fører til lavt trykk i hyfespissen, og gir dermed ikke optimal vekst. For lite glukose gir redusert veksthastighet som følge av næringsmangel.



Figur 2.1 Lysgjennomgang i tradisjonell kuvette og mikrotiterbrønn



Figur 2.2 Mikrotiterplate



Figur 2.3 Plateleseroptikk (fritt etter BIO-RAD)

Metode for inoculering

I vekstforsøk med bakterier eller gjær brukes gjerne fortynnede cellesuspensjoner som inokulum. Denne metoden ser jeg på som relativt uegnet for sopp med hyfer. De trådformete hyfene lar seg vanskelig fordele jevnt i en suspensjon. Hyfer kan homogeniseres med hurtigmikser eller tilsvarende teknikker, men ikke uten at en ukjent andel av cellene dør. Jeg har derfor benyttet en teknikk hvor hyfene sprer seg i et agarmedium i et jevnt lag, og hvor det stanses ut identiske inokler for videre vekst. Som inokulum valgte jeg 0,2 % maltagar. Agaren var gjennomvokst med hyfer og ble stanset ut fra petriskåler med 14 cm diameter. Det er gunstig at alt inokulum til en mikrotiterplate hentes fra samme petriskål. Ved å bruke store skåler, kan alle de 96 agarskivene stanses ut med omrent samme avstand fra mycelsentrum. Dette gir inokuli tilnærmet samme alder, hyfetetthet og vitalitet. Det ble sørget for tilnærmet lik tykkelse på alle agarbitene ved å tilsette petriskålene 30 ml flyttende agar. Dette gir agartykkelse på ca 2 mm. Agaren med mycel ble stanset ut av skålen med bakenden av en steril pasteurpipette, for så å bli overført til mikrobrønnene med en flammesterilisert nål (fig 2.4). For å få feste mellom agaren og bunnen av brønnene, ble agarsylinderene overført til tomme brønner. Det ble benyttet brønner med flat bunn. Sopp som vokser i agar vil ofte danne luftmycel på oversiden. Alle agarskivene ble plassert med luftmyclet opp. Ved forsiktig tilsetting av testlösning vil agarskivene forbli fastklebet til bunnen av brønnene. Innledende forsøk med teknikken indikerte at høy maltkonsentrasjon i inokuleringsagaren motvirker toksiteten til testmediet. Et eksempel på hvordan maltkonsentrasjonen i inokuleringsagaren kan synes å påvirke toksiteten til kobberioner er vist under *generelle resultater* (fig 3.1).

Tilsetting av metallioner, fortynnungsrekke

Mettallene ble tilsatt som sulfat, klorid eller nitrat, mens arsen ble tilsatt i form av hydrogenarsenat:

$\text{Al}_2(\text{SO}_4)_3 \cdot 16 \text{H}_2\text{O}$ (AnalA, Prod. No. 10010, BDH),
 $\text{Na}_2\text{HAsO}_4 \cdot 7 \text{H}_2\text{O}$ (MERCK, Art. 6284, 941 CC541284),
 $\text{BeSO}_4 \cdot 4 \text{H}_2\text{O}$ (MERCK, Art. 1828, 937 AA584228),
 $\text{CdSO}_4 \cdot 3/8 \text{H}_2\text{O}$ (MERCK, Art. 2027, 006 B151727),
 $\text{Cr}_2(\text{SO}_4)_3 \cdot 6 \text{H}_2\text{O}$ (GPR, Prod. No. 27760, BDH),
 $\text{CuSO}_4 \cdot 5 \text{H}_2\text{O}$ (MERCK, Art. 2790, 8551835),
 $\text{Hg}_2(\text{NO}_3)_2 \cdot 2 \text{H}_2\text{O}$ (MERCK, Art. 4437, 033 CC649837),
 $\text{Hg}(\text{NO}_3)_2 \cdot \text{H}_2\text{O}$ (MERCK, Art. 4439, 017 CC649739),
 $\text{NiSO}_4 \cdot 6 \text{H}_2\text{O}$ (MERCK, Art. 6727, 044 B284927),
 $\text{Pb}(\text{NO}_3)_2$ (AnalA, Prod. No. 10145, BDH),
 $\text{SnCl}_2 \cdot \text{H}_2\text{O}$ (Norsk Medisinaldepot, A. Nr. 8J118/1319202),
 $\text{ZnSO}_4 \cdot 7 \text{H}_2\text{O}$ (AnalA, Prod. No. 10299, BDH)

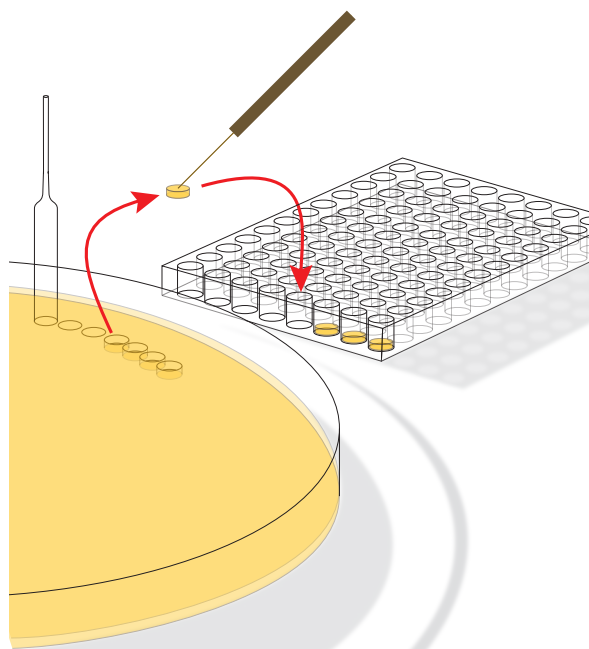
Det ble benyttet en 3/5 fortynnungsrekke i de endelige forsøkene. Det betyr en fortynning der

$$[\text{M}]_n = \frac{3}{5} [\text{M}]_{n-1} \quad (1)$$

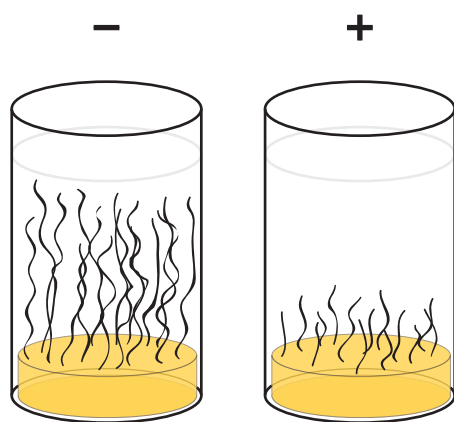
En slik fortynnungsrekke gjør det mulig innenfor formatet 96 brønner, å få til en gradient fra tilnærmet optimale vekstbetingelser til dødelig konsentrasjon av et metallion, samtidig med at hver metallionkonsentrasjon gjentas i et tilfredsstillende antall parallelle.

Tilpasning av inkuberingsbetingelser

De inokulerete brettene ble oppbevart i termostatregulert kulturskap ved 20°C i 10 dager. Myclet fra *L. multiforme* fyller da det meste av væskevolumet i brønner uten veksthemmende stoffer, uten å vokse gjennom overflaten (fig 2.5). For andre arter trengs andre inkubasjonstider (Høiland & Dybdahl, 1993).



Figur 2.4 Inokulering av mikrotiterplate



Figur 2.5 Mycelvekst i brønn uten (-) og med (+) veksthemmer.

Valg av bølgelengde for optiske målinger

Lys med ulik bølgelengde har ulik penetrasjonsevne i vandige løsninger (Sternheim & Kane, 1986). Innenfor intervallet av bølgelengder som er tilgjengelige i de benyttede plateleserene, har lys med lengst bølgelengdene størst penetrasjonsevne. Samtidig vil lys med kortest bølgelengde gi best oppløslighet og dermed bedre kunne fange opp små endringer i optisk tetthet. Valget av bølgelengde ble gjort med tanke på å sikre best mulig oppløslighet, uten å miste avlesningsverdier i brønnene med høyest hyfetetthet. Enkle innledende forsøk bekreftet disse forholdene og fremhevet 450 nm som optimal bølgelengde.

Første storskalaundersøkelse

På bakgrunn av de innledende forsøkene ble metoden anvendt i stor skala. Målingene ble nå utført ved hjelp av en annen mikroplateleser; MR 7000 (Dynatech Industries). Her ble hver mikrotiterplate benyttet til å undersøke påvirkningen av to ulike metallioner. Radene A, B, C og D ble tilført næringsløsning med stigende konsentrasjon av det ene metallionet fra kolonne 3 til 12. Radene E, F, G og H ble behandlet tilsvarende med det andre metallionet. Kolonne 1 og 2 ble tilført ren næringsløsning. Radene D og E ble tilført sterile 0,2 % maltagarsylindre som kontroll (fig 2.6).

De innledende forsøkene ga indikasjon på at metallionene kunne grupperes i giftighetskategorier. Derfor ble det nå benyttet tre ulike konsentrasjoner som utgangspunkt for fortynnungsrekken;

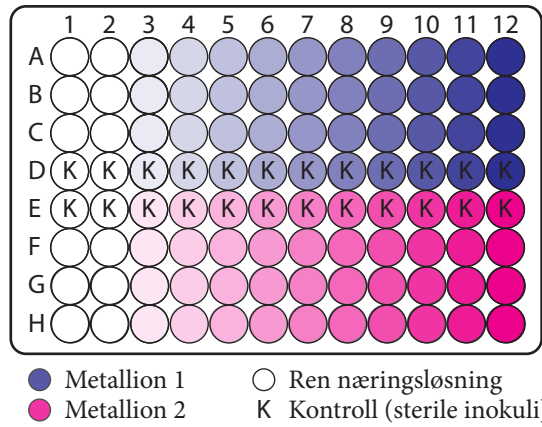
$$[M]_{\text{maks}} \cdot (3/5)^k, k \in \{0, 1, 2, \dots, 9\} \quad (2)$$

Alltid med høyeste konsentrasjon i kolonne 12 og avtagende konsentrasjoner mot venstre. Høyeste konsentrasjon for Al³⁺, HAsO₄²⁻, Cd²⁺, Cu²⁺, Fe²⁺, Fe³⁺, Hg₂²⁺, Hg²⁺, Pb³⁺ og Zn²⁺ ble satt til 10 mM. Høyeste konsentrasjon for Be²⁺, Cr³⁺, Ni²⁺ og Sn²⁺ ble satt til 40 mM. Høyeste konsentrasjon for Mg²⁺ og Mn²⁺ ble satt til 800 mM.

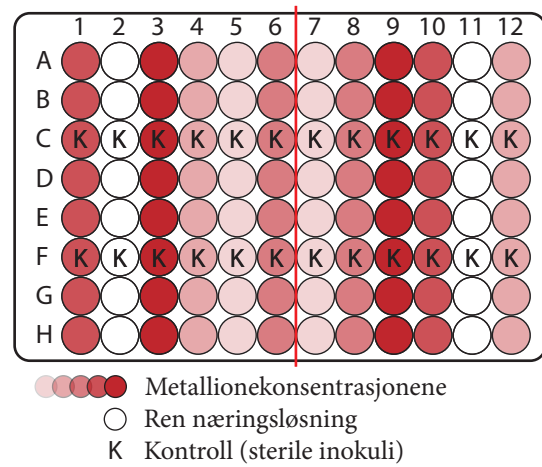
I den generelle resultatdelen er første forsøk i stor skala presentert i tre linjediagram, hvor responsen for hvert metall er fremstilt grafisk ifølge

$$\frac{\frac{\sum_{i=1}^n (a_e - a_f)_{[M]_{\text{maks}}} \cdot (3/5)^k}{n} - \frac{\sum_{i=1}^m (c_e - c_f)_{[M]_{\text{maks}}} \cdot (3/5)^k}{m}}{\frac{\sum_{i=1}^p (a_e - a_f)_{[M]_0}}{p} - \frac{\sum_{i=1}^q (c_e - c_f)_{[M]_0}}{q}} \cdot 100 \quad (3)$$

hvor $(a_e - a_f)$ gir absorpsjonsøkningen i inokulerete brønner i løpet av inkubasjonstiden for en brønn med en gitt metallkonsentrasijsn ($[M]_{\text{maks}} \cdot (3/5)^k$), eller ren maltlösning ($[M]_0$). Videre gir $(c_e - c_f)$ absorpsjonsøkning i kontrollbrønner (sterile brønner) med de samme metallionkonsentrasijsnene og ren maltlösning. Forsøksoppsettet ga $n=3$ for hvert metallion (A, B og C, eller F, G og H), $m=1$ (D eller E), $p=6$ (A1, A2, B1, B2, C1, C2, eller F1, F2, G1, G2, H1, H2) og $q=2$ (D1 og D2, eller E1 og E2) (fig 2.6).



Figur 2.6 Forsøksoppsett for mikrotiterplatene i første storskalaundersøkelse.



Figur 2.7 Forsøksoppsett for mikrotiterplatene i andre storskalaundersøkelse.

Andre storskalaundersøkelse

I dette oppsettet ble en mikrotiterplate benyttet for hvert metallion. Fortynningsrekken (1) ble benyttet som

$$[M]_{\text{maks}} \cdot (3/5)^k, k \in \{0,1,2,3,4\} \quad (4)$$

som sammen med ren næringsløsning, ga 6 ulike konsentrasjoner. Plasseringen av kolonnene med disse konsentrasjonene ble trukket tilfeldig fra 1 til 6 og en gang til fra 7 til 12. Trekkingen av kolonne 1 til 6 ble gjort uavhengig av kolonne 7 til 12. Kontrollradene (C og F) ble ikke inokulert, men tilslatt sterile agarsylindre (Fig 2.7). Resultatet fra første storskalaundersøkelse rettferdiggjør inndelingen av metallionene i grupper, men viser samtidig behovet for å øke antallet giftighetskategorier fra tre til fire (se *generelle resultater*).

En stor flaske med 7 liter 1,5 % maltløsning ble autoklavert og satt til bunnfelling i en uke, før den ble benyttet i samtlige løsninger. Seksten 250-milliliters og tre en-liters erlenmeyerkolber ble grundig vasket og autoklavert en gang med destillert vann. Kolbene ble deretter tørket i varmeskap og tilslatt metallsaltene ifølge vekttabellen (tabell 2.1). Henholdsvis 1 cl, 1 dl og 0,5 l av den bunnfalte maltløsningen ble tilslatt de respektive kolbene før ny autoklavering. pH ble målt med en *601-digital ionanalyzer* (*ORION RESEARCH*) i de ulike stamløsningene. I tillegg til pH-verdiene i tabellen, ble pH i tre parallelle maltløsninger målt til henholdsvis 4,42, 4,54 og 4,43. Løsningene med Mg^{2+} , Mn^{2+} og kontrollsaltene; $NaNO_3$, Na_2SO_4 og $NaCl$ ble tillaget i for små volumer til at pH lot seg måle. Fortynningsrekrene ble satt opp i autoklaverte eppendorfrør i spesiallagde stativ. Fortynningene ble utført ved hjelp av en programmerbar, åttekanals motorpipette (*Electrapette EXP[®], item no. 8004*), med tilhørende styringsenhet (*Multi-Electrapette desk terminal, item no. 8000*) (Matrix Technologies Corp.).

Følgende fortynninger ble laget for de fire toksitetskategoriene (mM):

Lite toksiske; 1000 - 600 - 360 - 220 - 130,

Svakt toksiske; 12,0 - 7,2 - 4,3 - 2,6 - 1,6,

Tokiske; 1,56 - 0,93 - 0,56 - 0,33 - 0,20,

Meget toksiske; 0,20 - 0,12 - 0,07 - 0,04 - 0,03.

Overføringen av løsningene fra eppendorfrør til inokulerte mikrobrønner, ble foretatt fra lav til høy metallionkonsentrasjon ved hjelp av samme motorpipette. Overføringen fra åtte eppendorfrør til åtte mikrobrønner skjer enkelt fordi avstanden mellom pipettespissene kan varieres med en hendel. Tecnomara AG(Sveits) oppgir nøyaktigheten til motorpipetten å være $\pm 0,6\%$ eller $3,0 \mu\text{l}$ og reproducerbarheten til $\pm 1,5\%$ eller $6,0 \mu\text{l}$. Inokulering og tilsetning av metalløsninger og registrering av initiell absorpsjon ble utført fortløpende over en tredagersperiode. Etter ti dager i kulturskap (20°C), ble absorpsjonen målt i løpet av en ny tredagersperiode. Målingene ble utført i samme rekkefølge som før inkubasjonen. Resultatet fra andre storskalaundersøkelse er fremstilt grafisk ifølge (2), med $n=p=12$ og $m=q=4$.

For mer detaljerte studier av resultatene, er gjennomsnittlig absorbsjonsøkning med standardavvik og gjennomsnittlig absorbsjonsøkning for tilhørende kontrollbrønner presentert i stolpediagram for hvert enkelt metallion (se *generelle resultater*).

Forsøksoppsett for undersøkelse av surhetsgradens betydning

Med utgangspunkt i en autoklavert 1,5 % maltløsning ble det laget næringsløsninger med hele pH-verdier fra 2 til 12. Under sterile betingelser ble først halvparten av maltløsningen tilslatt stadig økende mengder H_2SO_4 under

Tabell 2.1

Løsninger brukt i andre storskalaundersøkelse.

Lite toksiske	mM	mg salt/cl	
NaNO ₃	1000	849,90	
Na ₂ SO ₄	1000	1420,40	
NaCl	1000	584,40	
Mg ²⁺	1000	2464,80	
Mn ²⁺	1000	1960,20	
Svakt toksiske	mM	mg salt/dl	pH
Be ²⁺	12,0	212,57	3,28
HAsO ₄ ²⁻	12,0	374,41	6,25
Zn ²⁺	12,0	345,05	4,44
Toksiske	mM	mg salt/dl	pH
Al ³⁺	1,56	49,02	3,08
Pb ²⁺	1,56	51,51	3,14
Cu ²⁺	1,56	38,83	3,32
Fe ²⁺	1,56	58,79	3,11
Fe ³⁺	1,56	42,04	2,82
Ni ²⁺	1,56	40,88	4,24
Cr ³⁺	1,56	38,90	2,83
Sn ²⁺	1,56	35,09	2,93
Meget toksiske	mM	mg salt/0,5 l	pH
Cd ²⁺	0,20	25,85	4,42
Hg ²⁺	0,20	82,28	4,16
Hg ²⁺	0,20	34,35	3,90

omrøring (magnetrører), mens pH ble målt kontinuerlig (*601-digital ionanalyzer (ORION RESEARCH)*). For hver oppnådde verdi ble det pipettert ut en tilstrekkelig mengde næringsløsning. Til den andre halvparten av maltløsningen ble det tilsatt økende mengder NaOH på samme måte.

En inkulert mikrotiterplate ble tilført løsningene etter et tilfeldig mønster og ellers behandlet som mikrotiterplatene i andre storskalaundersøkelse. En av kolonnene ble tilsatt ren maltløsning (pH 5,33). Radene C og D ble tilført mycelfrie agarsylindre som kontroll.

Virkningen av pH er fremstilt grafisk ifølge

$$\frac{\sum_{i=1}^n (a_e - a_f)_{pH_k}}{n} - \frac{\sum_{i=1}^m (c_e - c_f)_{pH_k}}{m}, \quad k \in \{2, 3, \dots, 12\} \quad (5)$$

med $n=6$ og $m=2$ (se generelle resultater).

Utvikling av sammenlikningskriterium, IC₇₅

Et innlysende krav til en til en god metode for mycelvekst-kvantifisering, er stor grad av reproducerbarhet. I tillegg bør resultater også være sammenliknbare mellom ulike prosjekter. Mikroplateteknikken kan enkelt danne grunnlag for en indeks kalt Σ%RGB (Snowden & Wheeler, 1993; Høiland, 1994), hvor den gjennomsnittlige relative veksthastigheten i prosent for hver konsentrasjon av et bestemt ion summeres. Indeksen gir kun tilfredstillende sammenlikningsgrunnlag dersom samme fortynningsrekke og konsentrasjoner benyttes i de undersøkelsene som skal sammenliknes. Denne ulempen kan til en viss grad omgås ved å multiplisere opp Σ%RGB med de korresponderende giftkonsentrasjonene, men jeg har funnet det hensiktsmessig med en mer toksikologifaglig tilnærming til utvikling av indeks:

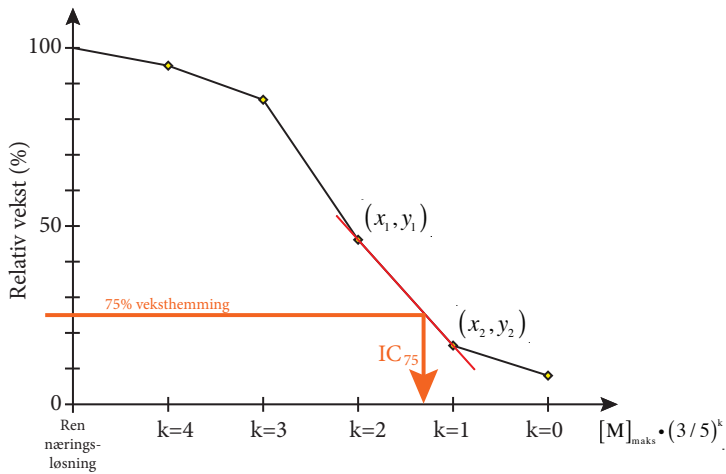
LD₅₀ (*lethal dose 50 %*) (Trevar, 1927) er trolig den mest brukte indeksen når graden av respons i et biologisk system skal relateres til mengden av tilført gift. LD₅₀ er den statistisk beregnede engangsdoseringen av et stoff som kan forventes å forårsake død hos 50 % av organismene. I toksikologiske undersøkelser med dyr, er det vanlig å betrakte LD₅₀ verdier som den mengden av et stoff eller en forbindelse som dreper halvparten av individene i en forsøksserie (Lichfield & Wilcoxon, 1949). Stoffet som undersøkes, blir gjerne administrert peroralt eller intraperitonealt. ED₅₀ (*effective dose 50 %*) er et alternativ til LD₅₀, for eksempel når responsen er noe annet enn død. For toksikologiske undersøkelser med soppmycel er LD₅₀ lite hensiktsmessig. Dette fordi *individbegrepet* oftest er meningsløst i mykologisk sammenheng, og fordi det er problematisk å administrere giftstoffet i form av en *engangsdosering*. Den toksikologiske responsen som måles gjennom mikroplateteknikken her, er ikke basert på antall døde individer, men *redusert veksthastighet* i forhold

til en kontroll. Metallionene som undersøkes blir tilsatt næringslösningen, og ikke hyfene direkte. En alternativ indeks som benyttes på dyr som utsettes for giftstoffer i luften eller vannet de lever i, er LC₅₀ (*lethal concentration 50 %*). Der estimeres den konsentrasjonen av et giftstoff som forårsaker død hos halvparten av individene. Etter min vurdering er LC₅₀ hensiktsmessig i mykologisk sammenheng dersom toksisitet registreres gjennom fraksjonen av sporer som spirer, men ikke ved undersøkelse av *veksthastighet* i mycel. For å registrere endring i veksthastighet i mycel, er det behov for en indeks som tar utgangspunkt i veksthemmning. IC₅₀ (*inhibitory concentration 50 %*) gir konsentrasjonen som halverer eksempelvis veksthastighet, reaksjonshastighet for et enzym, eller liknende. Det er mulig å bruke andre LD/ED/LC/IC verdier enn den som gir respons hos 50 % av forsøksdyrene. LD₁₀, LD₂₀ og så videre er mengden av et stoff som vil forårsake død hos 10 %, 20 % og så videre blant individene, og tilsvarende sammenheng vil det også være for de alternative indeksene. På grunn av biologisk variasjon vil dose-respons sammenhengen være normalfordelt. Normalfordelingen favoriserer bruken av LD₅₀ fremfor andre LD-verdier fordi det gir det smaleste konfidensintervallet (Bliss, 1935). For sammenlikning av resultatene med de ulike metallionene fra andre storskalaundersøkelse, har jeg utarbeidet følgende forslag til indeks:

75% veksthemmingskonsentrasjon (IC₇₅) er den estimerte konsentrasjonen gitt i mM som reduserer veksthastigheten til 25% av veksthastigheten i ren næringslösning.

$$IC_{75} = x_1 + \frac{25(x_2 - x_1) - y_1(x_2 - x_1)}{y_2 - y_1} \quad (6)$$

hvor x₁ og x₂ er konsentrasjonene over og under den konsentrasjonen som trolig ville gitt 75% veksthemmning, y₁ og y₂ er relative vekstverdier for henholdsvis x₁ og x₂



Figur 2.8 Grafisk fremstilling av IC_{75} .

ifølge (2), med k korresponderende til disse to verdiene.

IC_{75} er derfor den beregnede koncentrasjonen av et stoff som ut ifra en rett linje gjennom punktene over og under 25% relativ vekst, gir 25% relativ vekst (fig 2.8).

Relativ vekstverdi etter (2) er ikke normalfordelt, men har en distribusjon som gjør at 75 % veksthemmingskonsentrasjon gir større resultatmessig oppløslighet enn 50 % veksthemmingskonsentrasjon (IC_{50}). Jeg har også sett på muligheten for å bruke *regresjon* til å gi bedre estimat for IC_{75} (se *diskusjon*).

Sammenhengen mellom elektronegativitet og toksisitet

For sammenlikning med andre arbeider som er gjort med sopp og tungmetaller, har jeg undersøkt sammenhengen mellom elektronegativitet og toksisitet (Danielli & Davies, 1951; Somers, 1961). Dette er gjort som

$$\log IC_{75_{M^{q+}}} = \alpha - \gamma e^{-0.25x^2} \quad (7)$$

hvor er 75 % veksthemmingskonsentrasjon for metallion med ladning $q+$, α og γ er konstanter og x er differansen i elektronegativitet mellom metallet og oksygen.

Metode for morfologiske studier av initiell veksthemming

Metoden for morfologistudier er basert på en gammel metode (Kuhner, 1945)¹. En tynn kollodiumfilm plasseres over et aktivt voksende mycel på et objektglass. Mycelet ligger i en dråpe næringsløsning og blir tvunget til å vokse mellom kollodiumfilmen og objektglasset i et tynt lag. Ideelt sett blir mycelet kun ett hyfelig tykt. Morfologien undersøkes enkelt i et lysmikroskop. Her er mycelet undersøkt etter en vekstperiode med påføgende fiksering i kvikksølvklorid, men metoden kan enkelt utvikles for kontinuerlige mycelvekststudier (f. eks time lapse).

Metoden er ikke, såvidt jeg kjenner til, tidligere brukt til *kvantifisering* av mycelvekst. Likevel viser den seg å fungere lovende også til dette formålet. Teknikken gjør det mulig å studere vekst hastighet ved nykolonisering av et substrat, fra mycel slik som her, eller fra sporer som spirer. Teknikken kan betraktes som en mellomting mellom tradisjonelle radialvekstforsøk og flytekulturstudier, en *todimensjonal flytekultur*.

Tilpasning av kollodiumfilmer

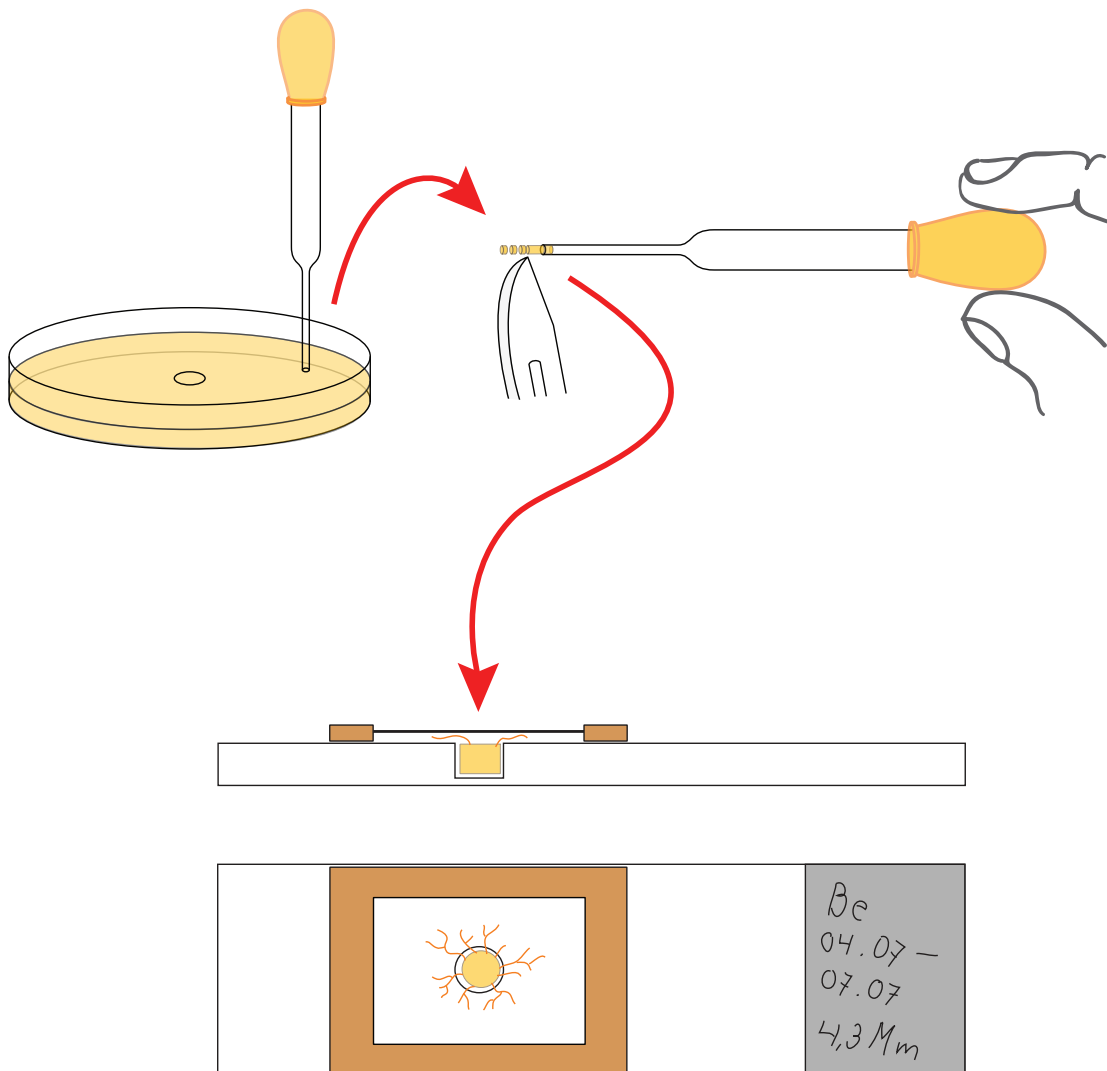
Kollodiumfilmene ble laget fra en 4 % kollodiumoppløsning (a/s Den Norske Eterfabrikk) som inneholder 4 % nitrocellulose, 20-30 % etanol og 65-75 % dietyleter. For å lette håndteringen av filmene ble de laget med papirrammer av vanlig ublek skrivepapir. Rammene ble gjort kvadratiske med utvendig bredde 2,5 cm, og innvendig bredde 2 cm. Papirrammene ble fuktet med 70 % etanol og lagt på rene objektglass. Deretter ble de tilført et tynt lag kollodiumoppløsning ved hjelp av en pasteurpipette. Etter en kort tørkeperiode ble rammene med kollodiumfilmene vasket av objektglassene med 70 % etanol og overført til et

oppbevaringsglass med 70 % etanol.

Inokulerings-, inkubasjons- og fikseringsteknikk

Det ble benyttet spesialtilpassete objektglass med en utfreset grop (ca 2,5 mm diameter) til forsøkene. Dette tillater bruken av gjennomvokste agarskiver som inokuli. Agarsylindre (1,5 mm diameter) ble stanset ut rett innenfor vekstsonen i petriskåler ved hjelp av en steril pasteurpipette. Under lupe ble det fra agarsylinderne skåret av 0,5 mm tykke skiver med en steril skalpell. Skivene ble benyttet til å inokulere gropene i objektglassene. Gropene i objektglassene ble dekket av en dråpe (40 µl) testløsning. Kollodiumfilmene ble skylt tre ganger i destillert vann og en gang i testløsningen før de ble plassert på objektglasset (fig 2.9). Et petriskållokk fra en liten petriskål (5 cm) ble snudd opp ned i bunnen på en vanlig petriskål (9 cm). Objektgasset ble plassert oppå dette. Den største petriskålen ble så tilslatt 4 ml sterilt vann, før lokket ble lagt på og forseglet med parafilm. Dette gir tilstrekkelig luftfuktighet for mycelvekst. Petriskålene ble oppbevart i kulturskap ved 20 °C og kontrollert daglig med tanke på vekst. Etter hvert som objektglassene hadde tydelig påvekst av mycel (ca 5 mm fra inokulum) ble de tatt ut av petriskålene for fiksering. Fikseringen ble utført med en dråpe mettet kvikksølvkloridløsning på den delen av kollodiumfilmen som dekket mycelet. Kollodiumfilmene er permeable for kvikksølvkloridløsningen, slik at mycelet blir fiksert *in situ*.

1 Det har så langt ikke lett seg gjøre å verifisere referansen



Figur 2.9

Små agarsylindere med mycel anbringes i en utfreset grop i objektglasset. En tynn kollodiumfilm tvinger det voksende myclet ned mot objektglasses overflate.

Forsøksoppsett for morfologiforsøk

Etter noen innledende forsøk ble det valgt en konsentrasjon for hver toksisitetsgruppe. Valget ble gjort på bakgrunn av data fra *andre storskalaundersøkelse* (optisk registrering av mycelvekst). De valgte konsentrasjonene var de høyeste innen hver gruppe hvor det var mulig å påvise vekst hos alle metallionene innen gruppen (se *generelle resultater*). Som inokuleringsagar ble det benyttet 1,5 % maltagar. Dette ble gjort som et forsøk på å sikre tilstrekkelig tetthet av hyfer i agarskivene til å gi sikker inokulering av testløsningene. Løsninger som ble benyttet, er samlet i tabellen nedenfor (tabell 2.2). Kolbene ble grundig rengjort, autoklavert med destillert vann og tørket i varmeskap før saltene ble veiet og tilslatt. Autoklavert og bunnfelt maltløsning (1,5 %) ble så tilslatt før ny autoklavering.

Målemetode for initiell veksthastighet

Med kollodiumfilmene intakt, ble objektglassene med mycelet plassert på kondensorholderen i et Zeiss fotomikroskop uten objektivrevolver og kondensor. Når mikroskopet benyttes på denne måten, foretas fokusering ved hjelp av skarpstillingen (Bertramlinse) til fasekontrastikkerten i tubus. Hyfespissene og kanten på gropene i objektglassene ble avtegnet ved bruk av tegnespeil. For riktig målestokk ble det på hver figur også tegnet inn en eller to millimeterstreker. De ferdige tegningene ble deretter scannet som strektesegning ved hjelp av en gråtonescanner (*OneScanner*, Macintosh), koplet opp mot en *Powerbook 140* (Macintosh) med styringsprogram (*Ofoto 1.0.1*, Light Source Computer Images Inc). Bildene ble deretter overført til et tegneprogram (*Canvas 2.1*, Deneba Software) som kan beregne arealet til mangekanter. Det ble derfor tegnet inn en mangekant gjennom de ytterste hyfespissene langs ytterkanten av mycelet (fig 2.10).

Tegneprogrammet ble også benyttet til å beregne lengden

av millimeterstreken, og omkrets og areal for gropen i objektglasset. Alle måleverdiene er tatt med i *appendiks*. På grunn av ulik vekstperiode for de ulike metallsaltene, ble måleresultatene sammenliknet som gjennomsnittlig veksthastighet, \bar{v} (mm·døgn⁻¹) for hvert enkelt objektglass:

$$\bar{v} = \frac{\sqrt{\frac{Ar}{\pi}} - 0,75}{\frac{l}{t_1 - t_0}} \quad (6)$$

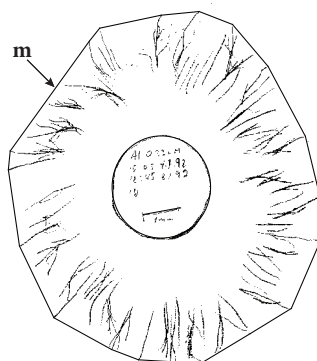
hvor Ar er arealet til mangekanten rundt mycelet (fig 2.10) i cm² på tegningen, l er lengden på millimeterstreken (cm) på tegningen og $t_1 - t_0$ er vekstperiodens varighet i døgn. I formelen blir det trukket fra 0,75 (mm) som tilsvarer radien til inokuleringsskivene.

For sammenlikning av de ulike metallionene med tanke på toksisitet, ble veksthastigheten multiplisert med metallion-konsentrasjonen ($\bar{v} \cdot [M]$).

Tabell 2.2

Løsninger og konsentrasjoner som ble benyttet til registrering av initiell veksthastighet og morfologiske studier.

Lite toksiske	mM	mg/cl
Mg ²⁺	220	542,3
Mn ²⁺	220	431,2
Svakt toksiske	mM	mg/dl
Be ²⁺	4,3	76,2
HAsO ₄ ²⁻	4,3	134,2
Zn ²⁺	4,3	123,6
Toksiske	mM	mg/dl
Al ³⁺	0,33	10,4
Pb ²⁺	0,33	10,9
Cu ²⁺	0,33	8,2
Fe ²⁺	0,33	12,5
Fe ³⁺	0,33	8,9
Ni ²⁺	0,33	8,7
Cr ³⁺	0,33	8,3
Sn ²⁺	0,33	7,5
Meget toksiske	mM	mg/5dl
Cd ²⁺	0,04	5,1
Hg ₂ ²⁺	0,04	5,6
Hg ²⁺	0,04	6,9



Figur 2.10

Eksempel på kvikksølvfiksert mycel, tegnet vha tegnespeil.
Mangekanten (**m**) er inntegnet i tegneprogrammet for å muliggjøre
arealberegnning.

Metode for undersøkelse av lang tids veksthemming

For å undersøke i hvilken grad *L. multiforme* endrer veksthastighet under metallpåvirkning over lengre tid, ble det benyttet næringsmedium tilsatt agarose.

Utvikling av vekstrør

Til vekstforsøkene ble det benyttet 17 cm lange glassrør med en innvendig hul agarosesylinder, tilsatt næringsløsning med passende metallionkonsentrasjon. Agarose ble valgt i stedet for vanlig agar, fordi den gir fastere konsistens.

Maltagarosen ble fremstilt av bunnfelt 1,5 % maltløsning (Moss maltextraktfabrik) og 1,5 % agarose (Sigma).

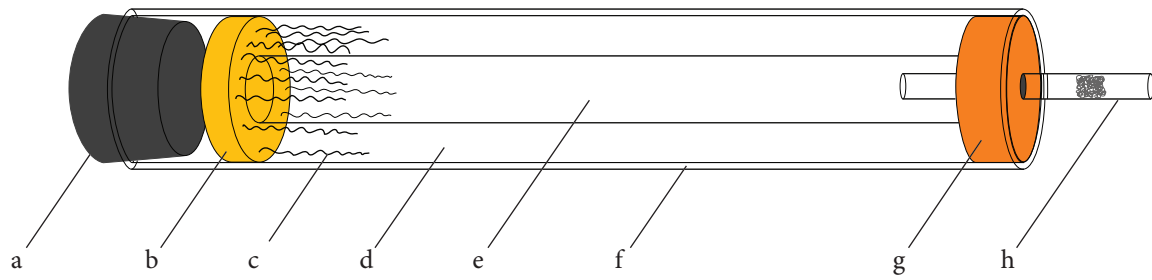
Metallsaltene ble veiet i kolbene og autoklavert (121 °C) før tilsetting av autoklavert maltagarose (i sterilbenk). Kolbene ble grundig rystet før agaroseløsningene ble fordelt på sine respektive (autoklaverte) vekstrør. Agarosesylinderene får hul kjerne når agarosen helles rundt et tynnere glassrør som fjernes etter at agarosen er stivnet. For at dette tynnere glassrøret lettere skulle slippe agarosen, ble det før autoklavering satt inn med glyserol. Rørene med agarosesylinder ble merket med tilfeldige nummer før inokulering. Det ble brukt skiver med passende diameter fra gjennomvokste agarskåler (1,5 % maltagar) som inokuli. Etter inokulering ble rørene forseglet med en autoklavert gummidropp. Gummidroppen (gasslangeskive) i motsatt ende av røret ble utstyrt med et gjennomgående tynt glassrør. Glassrøret var plugget igjen med en steril bomulldott for å sikre steril tilgang på oksygen (fig 2.11). Rørene ble oppbevart i kulturskap (20 °C) gjennom hele vekstperioden.

Utvikling av teknikk for registrering av resultater

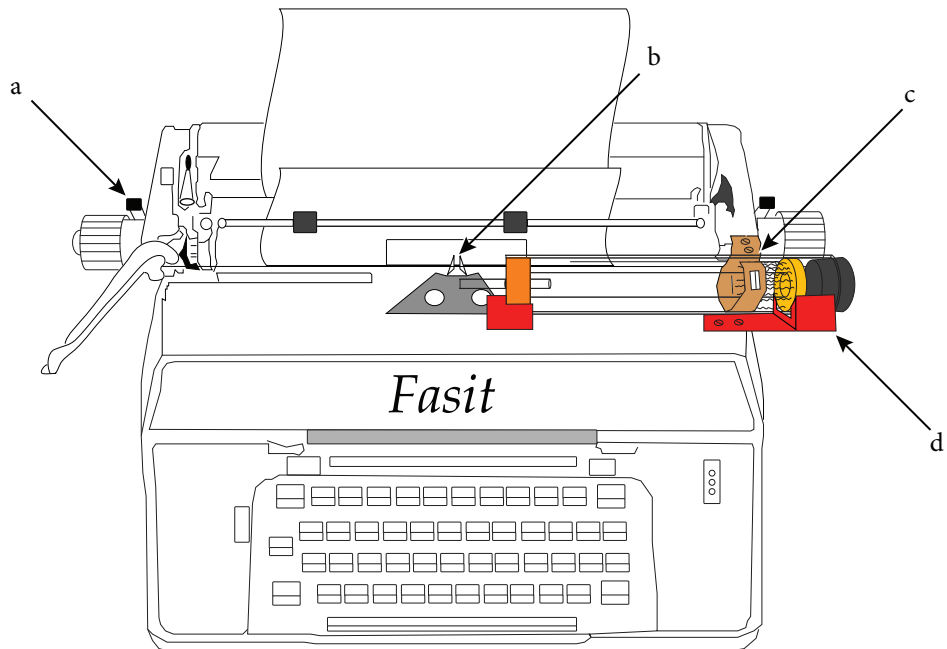
For å sikre nøyaktig avlesning, ble det laget et stativ som passer til vekstrørene. Stativet ble montert på en vanlig mekanisk skrivemaskin (fig 2.12). En siktelanordning med en tynn vertikal strek på hver side av vekstrøret, ble fastmontert på skrivevalseholderen på skrivemaskinen. Ved avlesning fristilles valslen slik at denne kan justeres sidelengs til de to siktelinjene faller på linje med den fremste hyfespissen i vekstrøret. Vekstresultatene ble overført til et millimeterpapir ved hjelp av bokstaven stor i (I). Millimeterpapiret ble stående i skrivemaskinen gjennom hele forsøket. Hvert vekstrør fikk sin egen skrivelinje. Stativet var forsynt med et anlegg for enden av røret, slik at dette fikk samme posisjon for hver avlesning.

Forsøk med svake toksiske effekter

Løsninger ble tillaget som for *morfologi og initiell veksthemming* (tabell 2.2) for gruppen svakt toksiske metaller, men ble tilsatt flytende maltagarose i stedet for ren maltløsning. Forsøket ble gjennomført med tre parallele rør med 4,3 mM Be²⁺, tre parallele rør med 4,3 mM Zn²⁺, tre parallele rør med 4,3 mM HAsO₄²⁻ og tre parallele rør uten metalliontilsetninger.



Figur 2.11 Vekstrør. a: gummidrøp, b: inokulum, c: hyfe, d: agarosesylinder, e: luft, f: glassrør, g: gasslangeskive, h: glassrør med bomull



Figur 2.12 Vekstrør montert for avlesning. a: Fristillingsspak for valsen, b: Stor i (I) benyttes som markering av vekstdistanse, c: Siktemiddel fastmontert på valsen.

GENERELLE RESULTATER

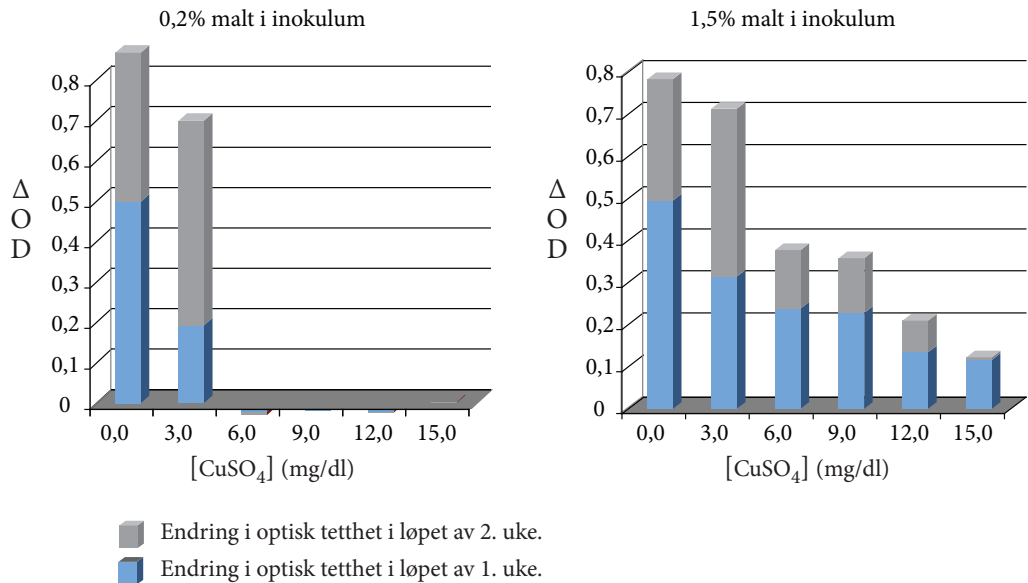
Optisk registrering av mycelvekst

Virkningen av maltkonsentrasjon i inokuleringsagaren

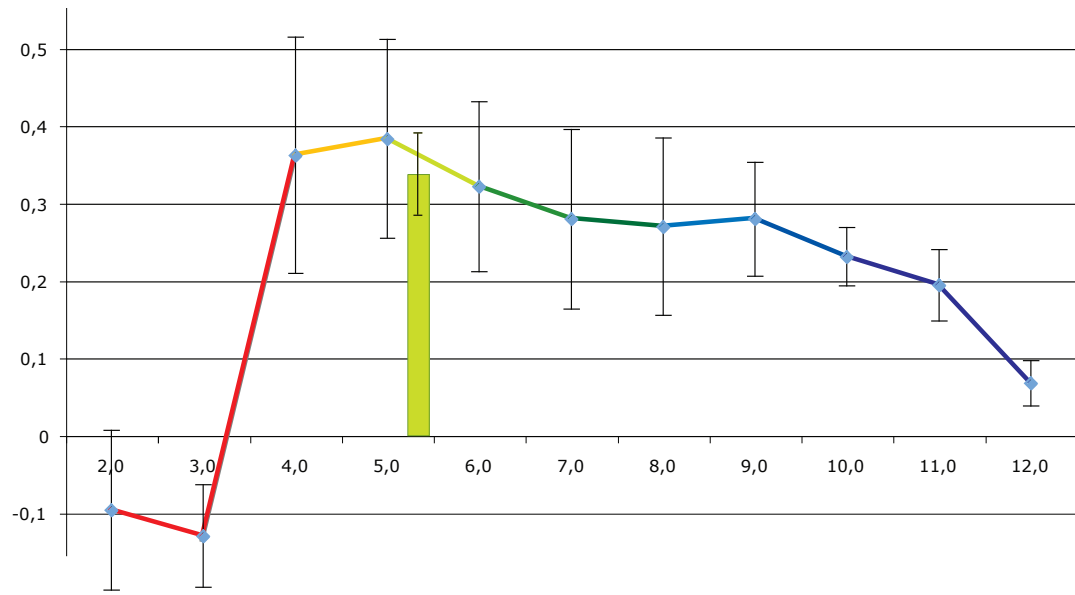
Figuren under (fig 3.1) gjengir resultater fra et innledende mikroplateforsøk med kobbersulfat. Brønnene her er inokulert med agarsylindre som med henholdsvis 0,2 % og 1,5 % malt. Endring i optisk tetthet ble målt etter en og to uker. Maltkonsentrasjonen i inokuleringsagaren ser ut til å ha liten betydning for veksthastigheten i brønner med lavere konsentrasjon av kobbersulfat enn 3 mg/dl, men for høyere kobbersulfatkonsentrasjoner ser det ut som om mycelet fra inokuli med lav maltkonsentrasjon blir sterkere hemmet. Forsøket er kun å regne som et pilotforsøk, men understreker at det er viktig å standardisere inokuli.

Betydningen av pH i næringsløsningen

L. multifforme ser ut til å ha en nedre kritisk pH verdi på ca 3,5. Fra pH 9 vil økende pH medføre en tilnærmet lineær veksthemmende effekt. For metallioner som endrer pH-verdien i næringsløsningen til under 3,5 eller høyere enn 9, bør endring i surhetsgrad betraktes som en del av toksisiteten. Resultatene indikerer høyest veksthastighet ved svakt sure pH-verdier. Se *diskusjon* for mulige årsakssammensetninger.



Figur 3.1 Betydningen av inokuleringsagarens maltkonsentrasjon i mikroplateteknikken. Endring i OD som funksjon av økende CuSO₄-konsentrasjon, ved 0,2 % og 1,5 % malt i inokulum.



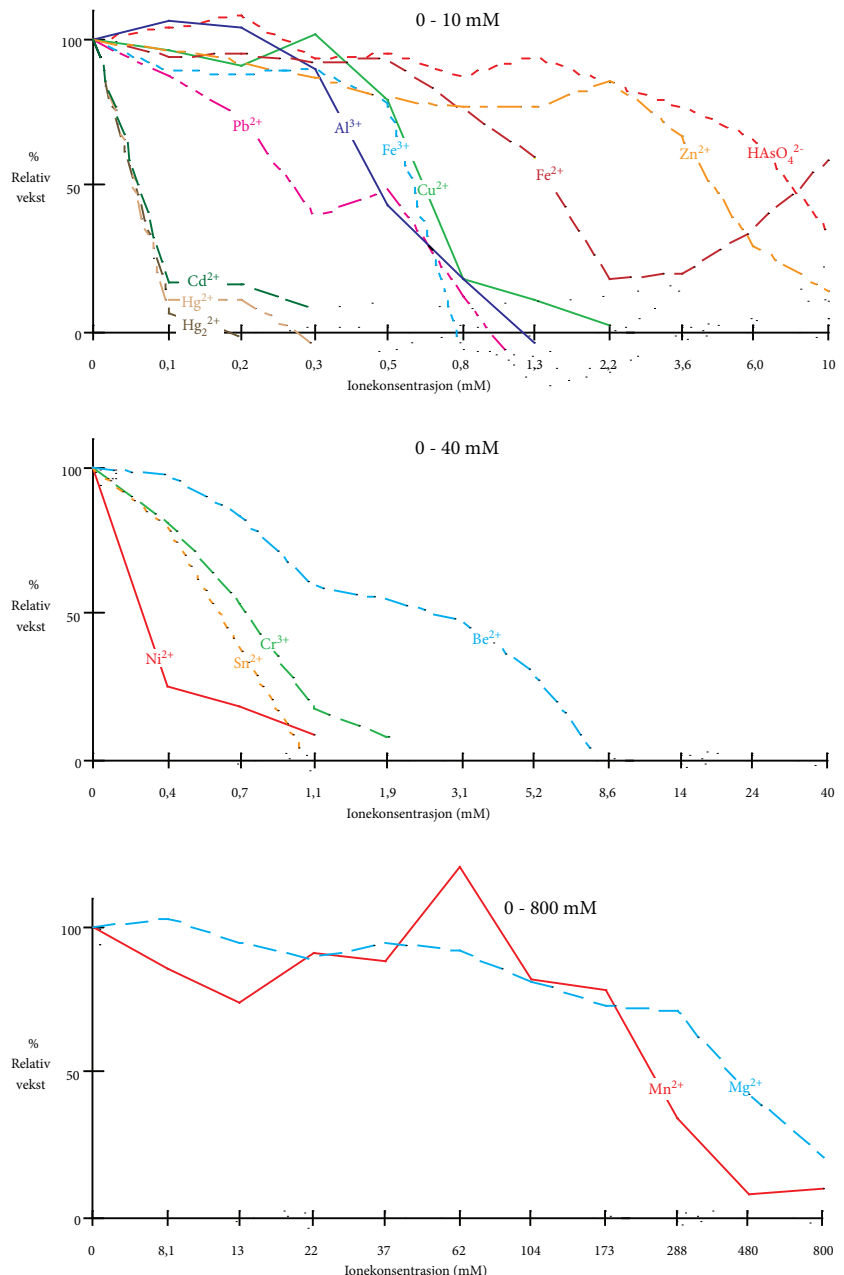
Figur 3.2 Betydningen av pH i næringsløsningen. Stolpen viser vekst i ren maltløsning (pH 5,33). Vertikale streker angir standardavvik.

Første storskalaundersøkelse

Resultatene fra første storskalaundersøkelse gjør det mulig å ordne metallionene i fire toksitetsgrupper. Det første diagrammet (figur 3.3 - 0-10 mM) viser at Cd²⁺, Hg₂²⁺ og Hg²⁺ gir en total veksthemming allerede ved 0,1-0,3 mM. Disse ionene ble derfor plassert i en egen gruppe, *meget toksiske*, og undersøkt videre i *andre storskalaundersøkelse* med 0,2 mM som høyeste konsentrasjon.

Figuren indikerer også at neste toksitetsgruppe, *toksiske*, bestående av Pb²⁺, Al³⁺, Cu²⁺, Fe²⁺ og Fe³⁺, gir fullstendig veksthemmende effekt ved konsentrasjoner mellom 0,8 og 2,2 mM. Fe²⁺ skiller seg ut fra resten av gruppen, fordi den relative vekstkurven når et bunnpunkt omkring 2,2 mM, for så å stige raskt med økende ionekonsentrasjon. Det er svært usannsynlig at det finnes levende sopphyfer i brønner med mer enn 1,3 mM Fe²⁺. ”Veksten” skyldes derfor trolig utfelling. Det blir i hovedsak korrigert for dette fenomenet for de andre metallionene ved bruk av kontrollbrønner, jfr (3), men for Fe²⁺ tyder resultatene på at tilstedeværelse av døde hyfer gir betydelig kraftigere utfelling enn i kontrollbrønnene. Det er rent kjemisk ventelig at mye av det tilsatte Fe²⁺ oksiderer til Fe³⁺ og det er ikke urimelig at organisk materiale bidrar til å katalysere omdanningen. I tillegg til problemene med økning i optisk tetthet, vil dette dessuten skape problemer når det kommer til å anslå *toksisiteten* til Fe²⁺ isolert fra Fe³⁺ (se *diskusjon*). Den tredje gruppen, *svakt toksiske*, som består av Zn²⁺ og HAsO₄²⁻, nådde ikke fullstendig veksthemming ved 10 mM. Høyeste konsentrasjon i andre storskalaundersøkelse for denne gruppen ble derfor øket til 12 mM. Figur 3.3 (0-40 mM) ser ut til å vise en fullstendig veksthemming for Ni²⁺, Sn²⁺ og Cr³⁺ ved 1,1-1,9 mM. Disse ionene ble derfor flyttet til gruppen *toksiske* i andre storskalaundersøkelse. Be²⁺ synes i samme figur å gi fullstendig veksthemming først ved ca 8,6 mM, og ble derfor overført til gruppen *svakt toksiske*.

Figur 3.3 (0-800 mM) tyder på at Mn²⁺ gir fullstendig veksthemming ved 480 mM, mens Mg²⁺ fremdeles tillater svært begrenset vekst ved 800 mM. Mn²⁺ og Mg²⁺ ble derfor plassert i gruppen *lite toksiske*, med 1000 mM som høyeste konsentrasjon. Alle enkeltmålinger er tatt med i *appendiks*.



Figur 3.3

Relativ vekst fra første forsøk i stor skala. Standardavvik er utelatt av hensyn til lesbarheten til grafene.

Andre storskalaundersøk

Resultatene fra andre storskalaundersøk baserer seg på 3648 enkeltobservasjoner (jfr *appendiks*). Den første figuren (2.9), bekrefter at de undersøkte metallionene lar seg gruppere i fire toksitetsgrupper, slik første storskalaundersøk indikerer. Gruppen *meget toksisk* består av Cd^{2+} og en- og toverdig kvikksølv. Disse ionene fører til fullstendig veksthemming ved konsentrasjoner fra ca 0,03 til 0,2 mM. Kadmiunionet er i følge resultatene her så giftig at det kan rettferdiggjøres å plassere det i en egen toksitetsgruppe (fig 3.4 - *Meget toksisk*).

Første storskalaundersøk antydet at Pb^{2+} , Al^{3+} , Cu^{2+} , Fe^{2+} og Fe^{3+} burde få følge av Ni^{2+} , Sn^{2+} og Cr^{3+} i gruppen *toksiske*. Resultatene fra andre storskalaundersøk synes å bekrefte dette fullt ut (fig 3.4 - *Toksisk*).

Første storskalaundersøk tydet på at sink og arsen skulle kunne gi fullstendig veksthemming ved 12 mM. Derfor ble gruppen *svakt toksiske* undersøkt med 12 mM som utgangspunkt for fortynningsrekka. Zn^{2+} svarer i så måte til forventningene, mens arsenforbindelsen med fordel kunne blitt prøvd ut med litt høyere makskonsentrasjon. Riktigheten av å flytte over Be^{2+} til denne gruppen bekreftes (fig 3.4 - *Svakt toksisk*).

Mg^{2+} og Mg^{2+} ble undersøkt med 1000 mM som høyeste konsentrasjon. Samtidig ble også kontrollsaltene NaCl , NaNO_3 og NaSO_4 tatt med. Figuren (3.4 - *Lite toksisk*) bekrefter lav toksitet for samtlige ioner i gruppen.

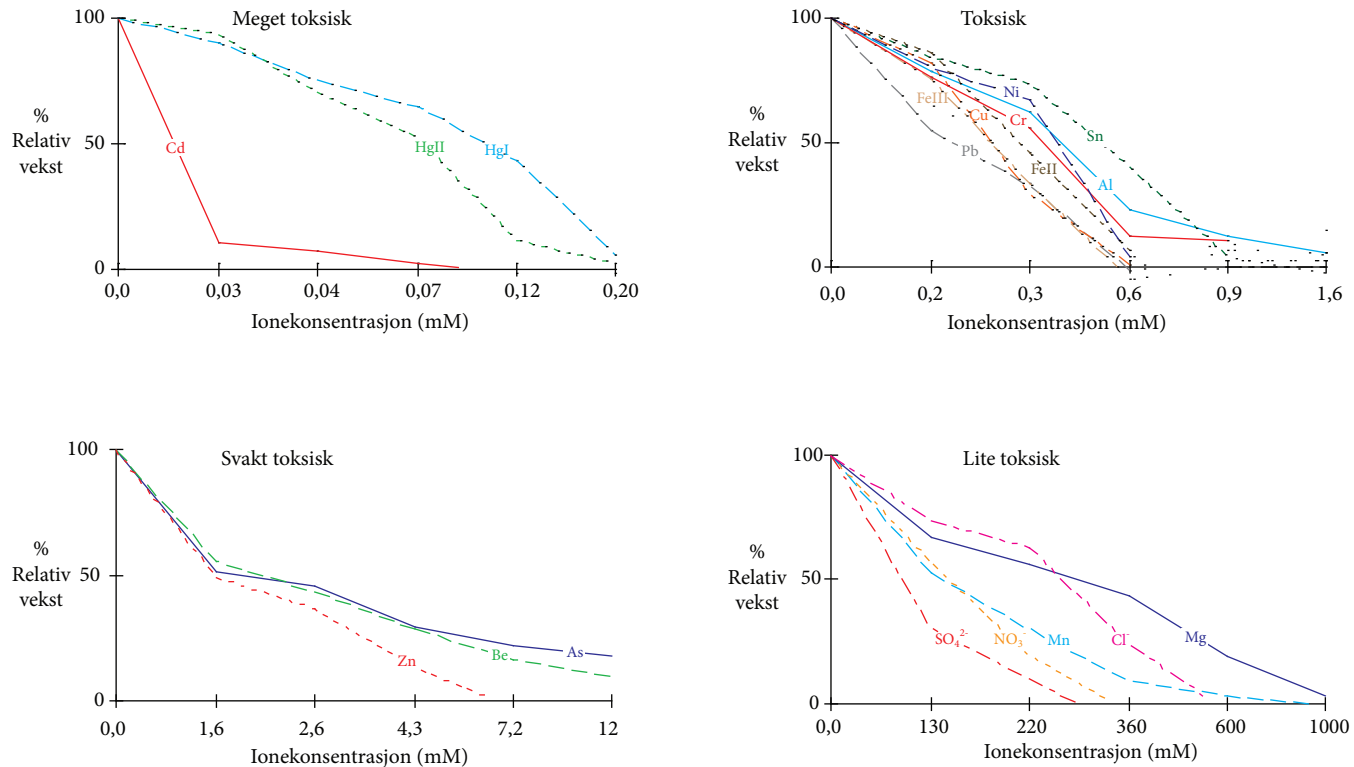
Sammenlikning av resultatene, IC_{75}

IC_{75} -verdiene utregnet i henhold til (6) gir et godt grunnlag for å sammenlikne ionenes toksitet:

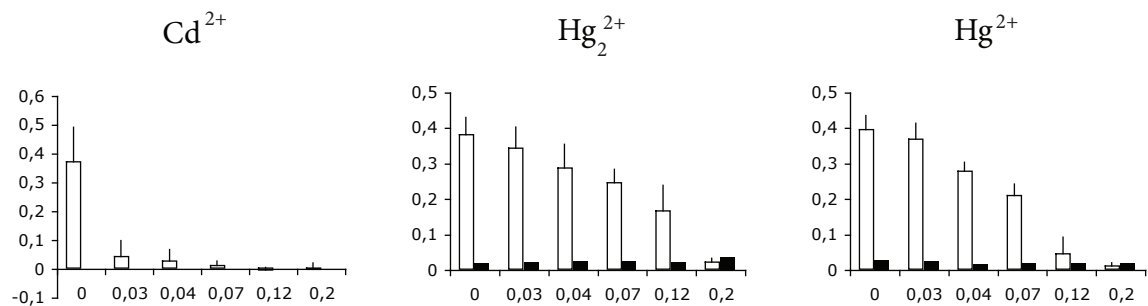
Tabell 3.1

IC_{75} verdier fra andre storskalaundersøk med optisk registrering av mycelvekst.

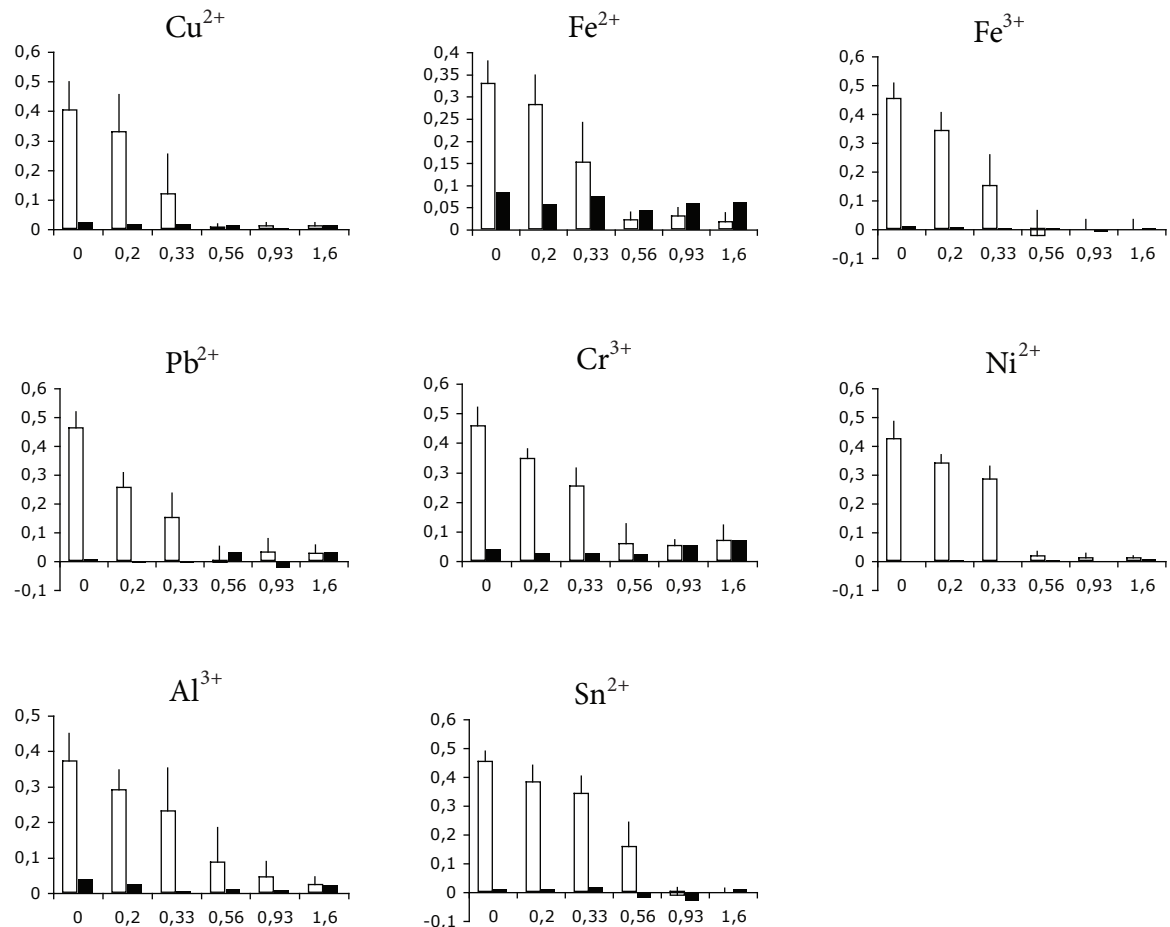
Ion	IC_{75}(mM)
Cd^{2+}	0,025
Hg^{2+}	0,102
Hg_2^{2+}	0,138
Cu^{2+}	0,352
Fe^{3+}	0,376
Pb^{2+}	0,379
Fe^{2+}	0,413
Ni^{2+}	0,481
Cr^{3+}	0,483
Al^{3+}	0,546
Sn^{2+}	0,636
Zn^{2+}	4,23
Be^{2+}	4,61
HAsO_4^{2-}	4,78
SO_4^{2-}	155
NO_3^-	226
Mn^{2+}	252
Cl^-	353
Mg^{2+}	526



Figur 3.4 Relativ vekst fra andre forsøk i stor skala. Samlegrafene viser tydelig grupperingen i toksisitetskategorier. Legg merke til konsentrasjonsforskjellene på x-aksene. Ioneladningene er utelatt på metallionene.

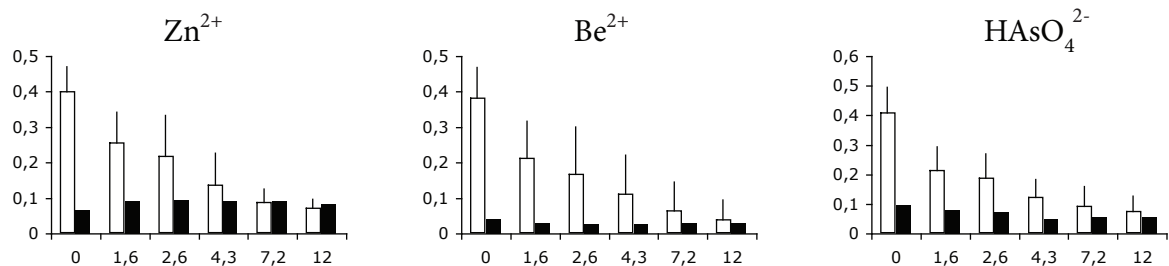


Figur 3.5 Stolpediagram for hvert av ionene i gruppen *meget toksisk*. Hvit stolpe med et standardavvik viser gjennomsnittlig endring i optisk tetthet, sort stolpe viser kontrollenes gjennomsnitt. (Cd²⁺ diagrammet mangler kontrollstolper fordi kontrollbrønnene feilaktig ble inokulert)

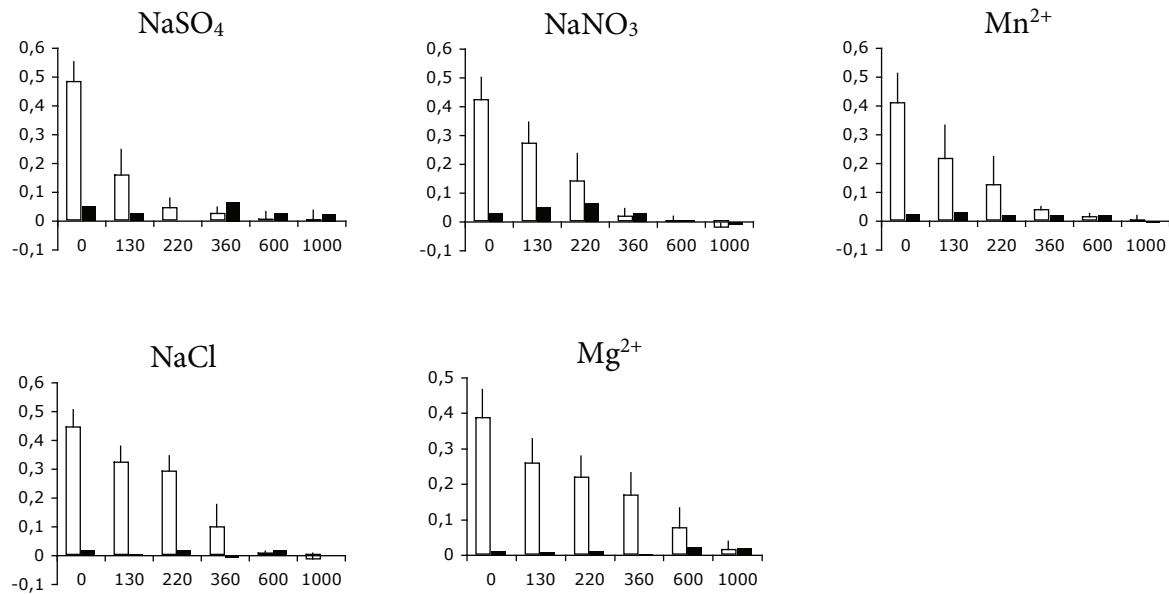


Figur 3.6

Stolpediagram for hvert av ionene i gruppen *toksisk*. Hvit stolpe med et standardavvik viser gjennomsnittlig endring i optisk tetthet, sort stolpe viser kontrollenes gjennomsnitt.



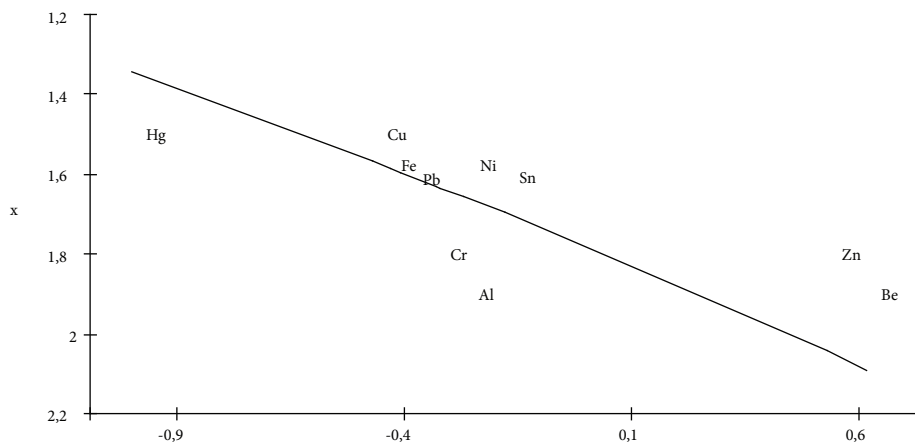
Figur 3.7 Stolpediagram for hvert av ionene i gruppen *svakt toksisk*. Hvit stolpe med et standardavvik viser gjennomsnittlig endring i optisk tetthet, sort stolpe viser kontrollenes gjennomsnitt.



Figur 3.8 Stolpediagram for hvert av ionene i gruppen *lite toksisk*. Hvit stolpe med et standardavvik viser gjennomsnittlig endring i optisk tetthet, sort stolpe viser kontrollenes gjennomsnitt.

Sammenhengen mellom elektronegativitet og toksisitet.

Grunnet store avvik ble kadmium, arsen, mangan og magnesium utelatt fra figuren. Konstantene α og γ ble beregnet til hhv 3,46 og 7,06. (Se *appendiks* for detaljer)



Figur 3.9 Elektronegativetsverdiene til elementene med regresjonslinje, plottet mot logaritmen til IC₇₅.

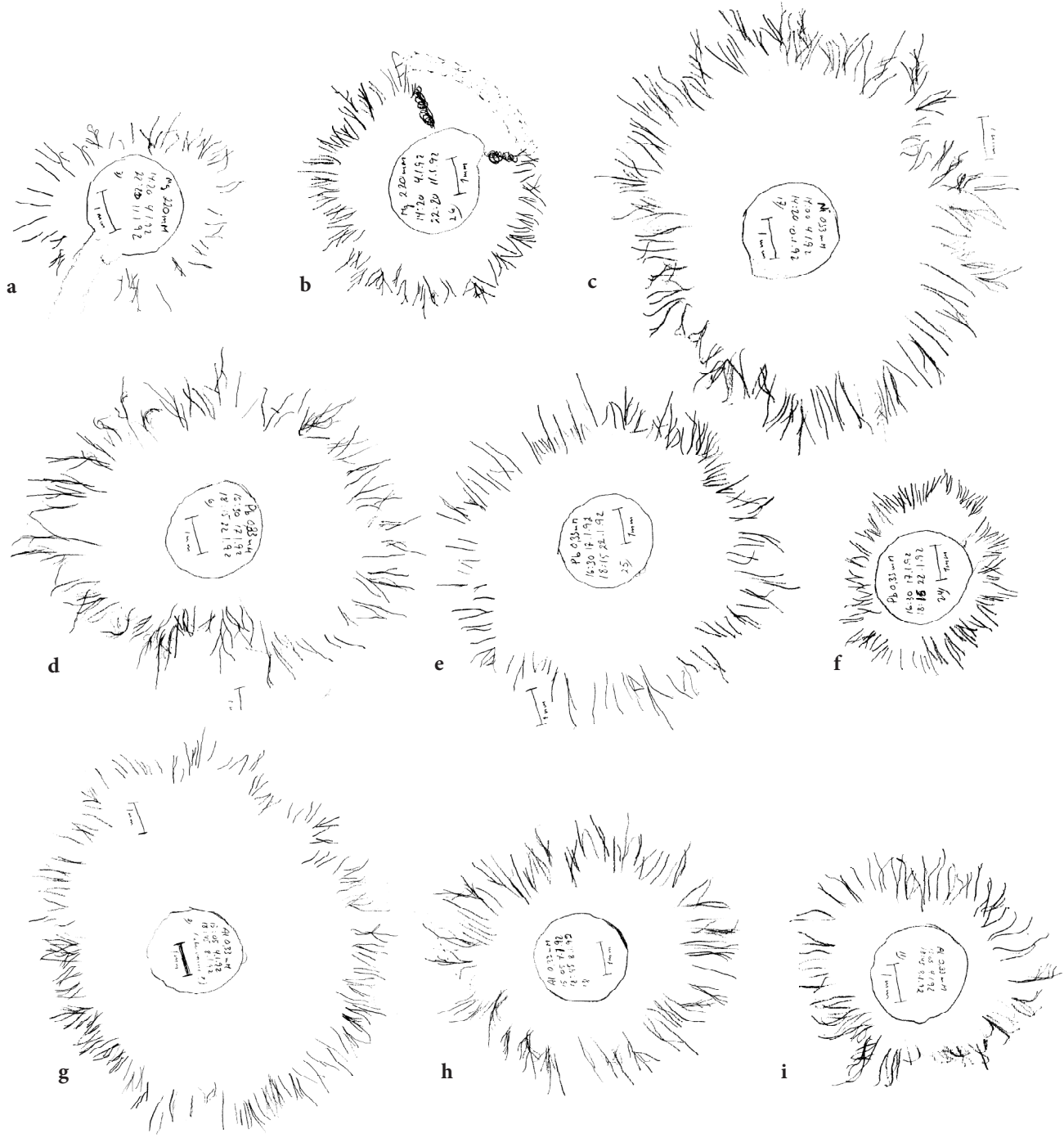
Morfologi og initiell veksthemming

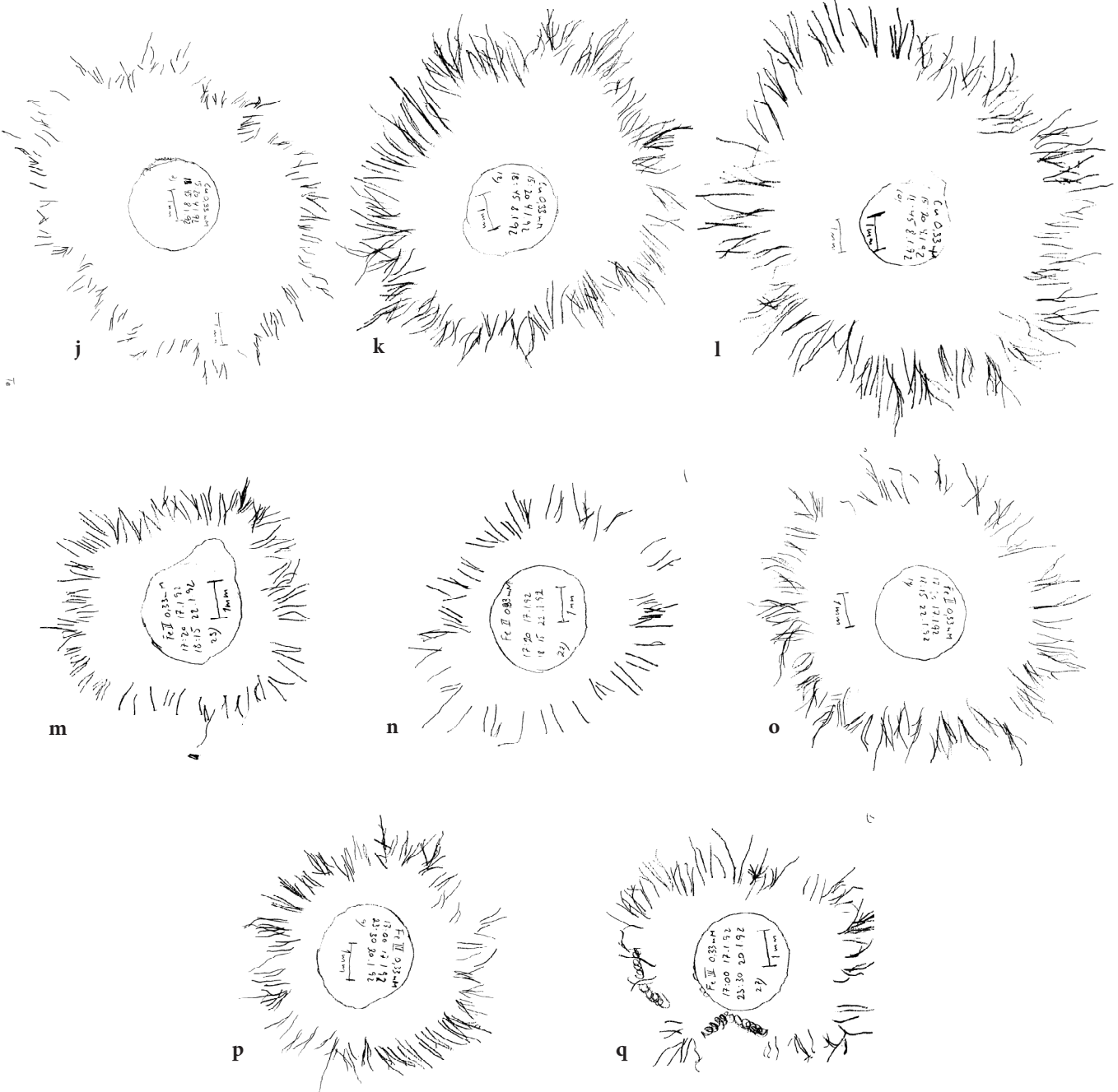
Metoden viste seg i sin nåværende form ikke ferdig utviklet for kvantitative undersøkelser av mycelvekst. Dette skyldes mest problemer med å få likeverdig inkokulering av objektglassene. Sylinderene blir stanset ut og kuttet på en måte som gjør de svært like, men problemet ligger trolig i uttørking ved overføringen til objektglasset. Sammenliknet med agarsylinger som benyttes i mikrotiterplatene, vil agarsylingerne som benyttes her, fordi de er små, ha et forhold mellom overflate og volum som ligger flere ganger høyere. Derfor vil variasjon i tiden agarsylingerne er i kontakt med luft, sannsynligvis medføre store variasjoner i antall levedyktige hyfeender i inkokulum. Mycelene som vokste tilfredstillende, er presentert i tabell 3.2 og i figuren under (fig 3.13).

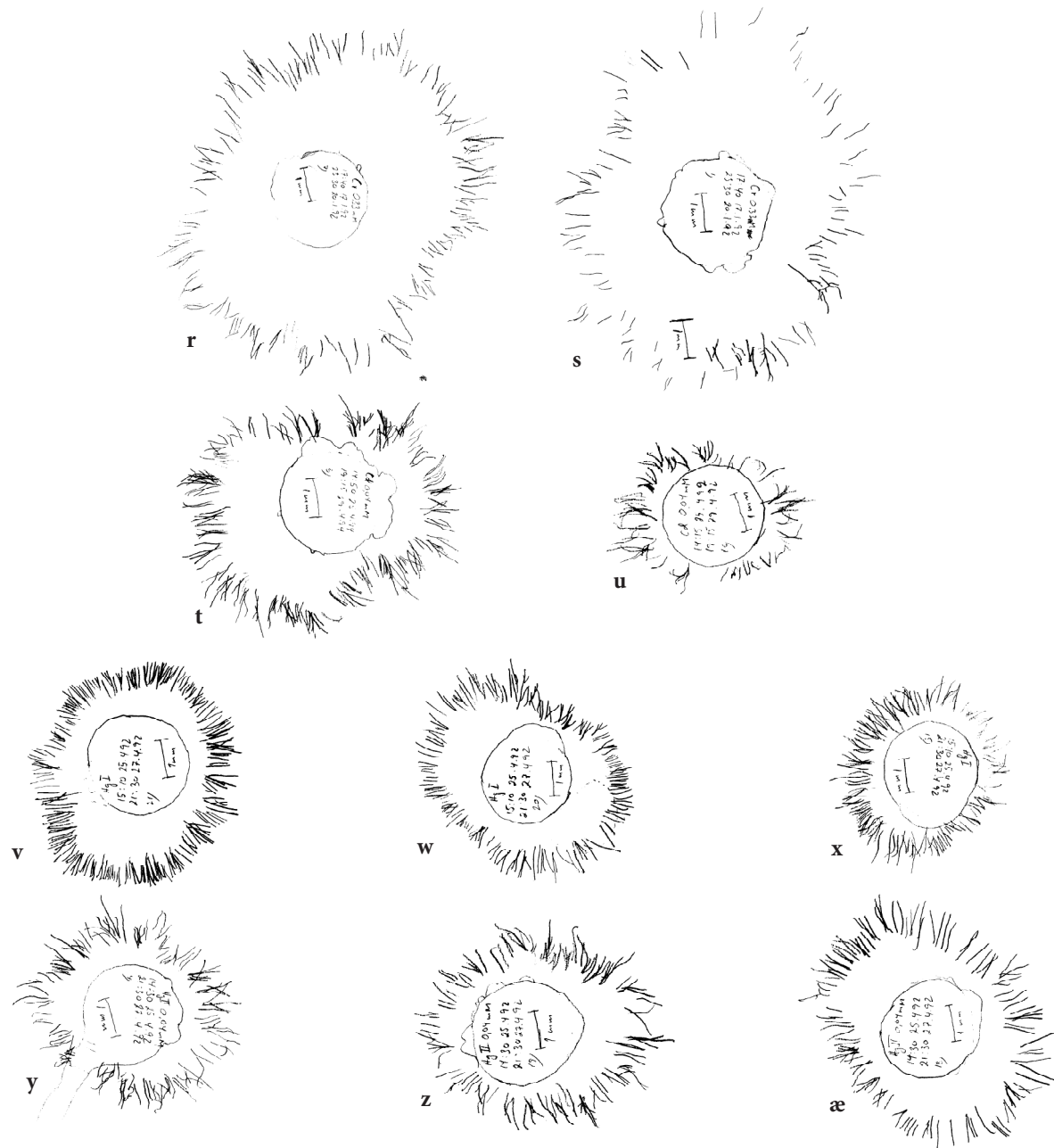
Tabell 3.2

Sammenlikning av gjennomsnittlig initiell veksthastighet multiplisert med ionekonsentrasjon

Ion	$\bar{v} \cdot [M]$ (mm:mM·døgn ⁻¹)	Standardavvik	Paralleller
Mg ²⁺	66,99	0,294	3
Cr ³⁺	0,399	-	1
Cu ²⁺	0,375	0,7	2
Al ³⁺	0,3	0,188	3
Fe ³⁺	0,292	0,152	3
Ni ²⁺	0,249	0,036	2
Pb ²⁺	0,223	0,101	3
Fe ²⁺	0,219	0,143	3
Hg ²⁺	0,039	0,091	2
Hg ₂ ²⁺	0,038	-	1
Cd ²⁺	0,014	0,254	3







Figur 3.10 Avtegnede mycel. **a-b:** Mg^{2+} , **c:** Ni^{2+} , **d-f:** Pb^{2+} , **g-i:** Al^{3+} ,
j-l: Cu^{2+} , **m-o:** Fe^{2+} , **p-q:** Fe^{3+} ,
r-s: Cr^{3+} , **t-u:** Cd^{2+} , **v-x:** Hg^{2+} , **y-a:** Hg_2^{2+}

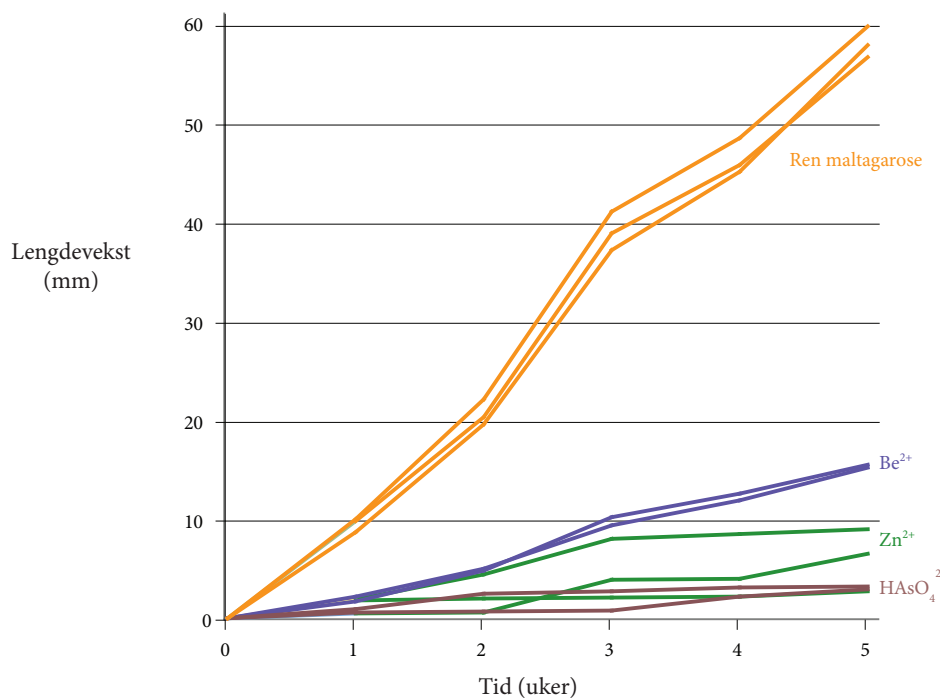
Veksthemming over lang tid

Denne metoden er heller ikke ferdig utarbeidet, men resultatene gir klare indisier på at den med fordel kan utvikles videre. De mest vellykkede rørene viser en tilnærmet lineær vekst gjennom hele vekstperioden. Et positivt trekk er at der hvor veksten avviker litt fra lineariteten (etter tre uker), viser stort sett alle rørene det samme avviket. Dette tyder på en endret ytre faktor i perioden, eksempelvis temperatur, og understreker behovet for et eller flere kontrollrør (fig 3.11). Tallmaterialet (tabell 3.3) er for begrenset til omfattende analyse, men eksempelvis er veksthastigheten ved $4,3 \text{ mM Be}^{2+}$ relativ til ren maltagarose her 26,4 %. Den tilsvarende verdien for andre storskala forsøk med $4,3 \text{ mM Be}^{2+}$ er 24,0 %.

Tabell 3.3

Avlesninger (mm vekst) fra gruppen svakt toksiske.

	Start	uke 1	uke 2	uke 3	uke 4	uke 5
Zn1	0	0,5	0,6	3,9	4	6,5
Zn2	0	1,9	4,4	8	8,5	9
Zn3	0	1,8	2	2,1	2,2	2,7
Be1	0	0	0	0	0	0
Be2	0	1,7	4,8	10,2	12,6	15,5
Be3	0	2,2	5	9,4	11,9	15,2
As1	0	0,1	0,2	0,3	0,6	1,1
As2	0	0,6	0,7	0,8	2,2	2,9
As3	0	0,9	2,5	2,7	3,1	3,2
Malt1	0	9,8	20,3	38,9	45,8	56,7
Malt2	0	10	22,1	41,1	48,5	59,8
Malt3	0	8,7	19,6	37,2	45,1	57,9



Figur 3.11

Vekstrørvekst for ren maltagarose og maltagarose med $4,3 \text{ mM Be}^{2+}$, Zn^{2+} og HAsO_4^{2-} .

DISKUSJON

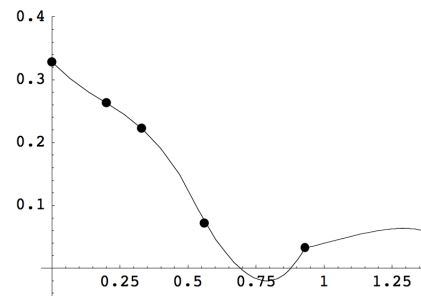
Jeg har, i ulik grad, utviklet tre metoder for studier av vekst og vekstendring hos soppycel. Det meste av tiden er viet tilpasningen av en mikroplateteknikk, hvor endring i veksthastighet måles indirekte som ulik endring i lysabsorbsjon i mikrobrønner. Denne fremgangsmåten viser seg å ha en rekke fordeler sammenliknet med de tradisjonelle teknikkene med radialvekst på agar, og flytekultur med tørrvektbestemmelse av mycelmengde. I de to forsøkene i stor skala som er presentert i oppgaven, er det foretatt 2592 initiale enkeltmålinger og tilsvarende 2592 enkeltmålinger etter en vekstperiode på ti dager. En tilsvarende undersøkelse basert på tørrvektbestemmelse ville relativt sett vært svært tidkrevende, tatt i betraktning at tiden det tar å lese av en mikrotiterplate med 96 brønner, er under et halvt minutt. Det totale faktiske væskevolumet som benyttes i de to storskaforsøkene tilsammen, er på litt over en halv liter. For å produsere et tilsvarende antall observasjoner ved hjelp av tørrvektbestemmelse, kan man eksempelvis ta i bruk 2592 erlenmeyerkolber, hvor det totale væskevolumet lett ville kommet opp i over 500 liter. Radialvekstmålinger i agarskåler ville tilsvarende, ved bruk av 2592 skåler, representere en enorm arbeidsmengde. De små volumene gjør riktignok mikroplateteknikken sårbar overfor unøyaktigheter i form av målefeil og f. eks variasjon i hyfetetthet i inoculum, men gir samtidig bedre mulighet for å sikre lik behandling av paralleller. Alle mikrotiterplatene får f. eks plass i samme kulturskap, med presumptivt samme abiotiske ytre påvirkninger.

De innledende forsøkene ga indikasjon på at metallioner lar seg dele inn i toksisitetsgrupper. Disse gruppene ble benyttet i *første storskaforsøk*, og videreført til *andre storskaforsøk* med noen få justeringer (se *generelle resultater*).

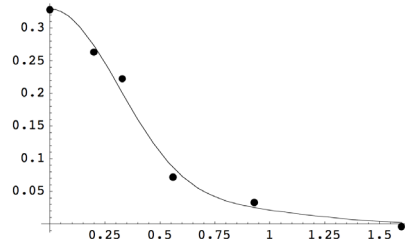
Toksisitetsgruppene er praktiske for forsøksoppsettet, men

grensene mellom gruppene bør betraktes som flytende. For direkte sammenlikning av toksisitet viste IC_{75} -indeksen seg svært velegnet. Det kan argumenteres for at tilordning via lineærfunksjon blir upresist, men den har den opplagte fordelen at den er oversiktelig. Alternativt kan det benyttes matematisk analyse og *regresjon*. Jeg forsøkte to relevante modeller i matematikkprogrammet *Mathematica* (Wolfram inc.) og tar med et par regresjonskurver for Al^{3+} som eksempel.

Minste kvadraters metode:



Her tvinges kurven gjennom koordinatene, men matematikken vil ut i fra dataene ikke nødvendigvis gi bedre kurvetilpasning omkring 75 %, fordi den heller forsøker å glatte ut overgangene. De fleste kurvene fra storskaforsøkene viser generelt en speilet S-kurve. En kan tvinge regresjonen inn i en slik form vha et sett av *gaussfunksjoner*. Det blir eksempelvis seende slik ut



ved følgende fremgangsmåte:

```
-----REGRESJONSKURVE VELGES MED UTGANGSPUNKT I 4 GAUSSFUNKSJONER-----  
In[73]:= Fit[points, {Exp[-x^2], Exp[-2 x^2], Exp[-3 x^2], Exp[-4 x^2]}, x]  
Out[73]= 0.922014 e^-4 x^2 - 0.96079 e^-3 x^2 + 0.356699 e^-2 x^2 + 0.011069 e^-x^2
```

Fordelen er her selvsagt at kurven totalt sett blir mer representativ, men det er ikke opplagt at det gir en bedre IC₇₅-tilnærming. For ordens skyld gir dette en IC₇₅-verdi på 0,572 (mM), mot 0,546 (mM) ved bruk av (6), s. 14. Det kan her virke formålstjenelig med en mer eksperimentell tilnærming til fastsettelse IC₇₅-verdi, f. eks ved å gjenta forsøket med en fortynningsrekke som gir høyere resultatmessig oppløslighet omkring den antatte IC₇₅-verdien. Valget av 75 % veksthemming er til dels vilkårlig valgt. Det innebærer at IC_x med andre verdier for x kan være mer hensiktmessige.

Resultatmessig sammenlikning med andre arbeider:

Det klart giftigste metallionet av de som er undersøkt her, er Cd²⁺ (IC₇₅-verdi på 0,025 mM). Dette er i god overensstemmelse med hva andre har kommet frem til for andre arter (McCreight & Schroeder, 1974; Paulus & Bresinsky, 1989; Jongbloed & Borst-Pauwels 1990; Willenborg *et al*, 1990; Colpaert & van Assche, 1987; Gadd, 1993). Cd er vist å hemme jordnedbrytere ved mye lavere konsentrasjoner enn f.eks Pb, Ni, Cu og Zn (Coughtrey *et al*, 1979; Tonner & Kunze, 1990). Cd er klart mer toksisk enn det som skulle forventes utfra ionets elektronegativitet (Danielli & Davies, 1951) (fig 3.9). Et eksempel på årsaken til Cd-ionets ekstreme giftvirkning er at det substituerer Zn-ionet (IC₇₅-verdi 4,23 (mM)) i superoksid-dismutase (Cotton & Wilkinson, 1988), noe som eksempelvis forklarer at økt Zn-konsentrasjon kan redusere toksiteten av Cd ovenfor sopp (Colpaert & van Assche, 1992). Cd-ioner har høy affinitet for sulfhydrylgrupper (Babich & Stotzky, 1980).

Cd-ioner har høy mobilitet i jord (Tonner & Kunze, 1990) og liten tendens til å danne uløselige organiske komplekser med humussyrer. Det er rimelig å anta en tilsvarende situasjon i næringsløsningen. I motsetning til andre tungmetaller som Hg, Zn, Pb, Cu og Ni, vil toksiteten til Cd gjerne øke med økende pH. Dette skyldes trolig dannelsen av [Cd(H₂O)₅OH]⁺ som går letttere inn i cellene enn [Cd(H₂O)₆]²⁺ (Bagy *et al*, 1991; Gadd, 1993). Svært giftig er også de to kvikksølvionene, med IC₇₅ på 0,1 mM og 0,14 mM. Sammen med Cu²⁺ (IC₇₅ 0,35mM) er kvikksølvioner kjent for å ha betydelig toksisk effekt på sopp (McCreight & Schroeder, 1974, 1982; Ross, 1975; Wassermann *et al*, 1987; Paulus & Bresinsky, 1989; Willenborg *et al*, 1990). Sopp som bryter ned det øvre jordlaget er ofte sensitive for Cu (Rühling & Tyler, 1973; Tyler 1974 (a og b); Nordgren *et al*, 1983), selv om Cu er en viktig bestanddel i phenoloksidasene i disse organismene. Sopp, kanskje særlig humusnedbrytere, har ofte en sterk tendens til å akkumulere Hg (Bargagli & Baldi, 1984). Både Cu- og Hg-ionene vil, fordi de er sterkt elektronegative, danne uløselige sulfider (Pauling, 1955). Ionenes toksitet vil trolig være relatert til affiniteten til sulfhydryl- og andre thiolatgrupper, fordi dette ofte er bindingsseter på enzymer (Somers, 1961; Rühling & Tyler, 1973; Ross, 1975; Gadd, 1993). Hughes (1957) regnet den høye affiniteten til Hg for sulfhydrylgrupper for å være grunnlaget for Hg sin toksiske virkning. Særlig for kobber, vil dessuten den høye affiniteten for amino- og iminogrupper på enzymer trolig være viktig for toksiteten (Ross 1975). Cu og Hg har det til felles at giftigheten deres svekkes av metallothioneiner, γ-glutamylpeptider og andre thiolforbindelser (Ashworth & Amin, 1964; Kikuchi, 1964; Cotton & Wilkinson, 1988; Gadd, 1993).

At jernionene har såpass høy giftvirkning (IC₇₅ på 0,38 mM og 0,41 mM) er overraskende fordi jern kun sjeldent tas med

i undersøkelser av denne typen. Gjennom radialvekstforsøk fant Lokesha & Somashekhar (1991) at 3000 mg jernsulfat per liter potet-dekstroseagar er mindre giftig for *Sclerotium Rolfsii*, *Macrophomina phaseolina*, *Pestalotia sp* og *Rhizopus arrhizus*, enn samme konsentrasjon av, ikke bare kadmiumklorid, kobbersulfat og kvikksølvklorid, men også for nikkelsulfat og kromoksid. Det er mulig at *L. multiforme* er spesielt Fe-sensitiv, men muligheten er også tilstede for at Fe-forbindelser er undervurdert som veksthjemmere. Fe-ionene har for *L. multiforme* akkurat den giftigheten en kan forvente ut ifra elektronegativitetsverdien (fig 3.9).

Bly har det til felles med Hg og Cu at det danner svært tungtløselige sulfider (Pauling, 1955) og har høy affinitet til sulfhydrylgrupper (Gadd, 1993). Pb er antakelig i stand til å skade cellemembraner (Ross, 1975). Zlochevskaya (1968) sannsynliggjør dette gjennom at *Aspergillus niger* frigjør uracil etter blypåvirkning, selv om cellemembranen hos gjærceller ikke svekkes av Pb (Passow & Rothstein, 1960). Pb inngår i meget stabile organiske chelater (Babich & Stotzky, 1980). Videre er det kjent at fosfater fremmer blytoleranse i sopp (Babich & Stotzky, 1980; Marschner & Godbold, 1992), sannsynligvis fordi det dannes lite løselige salter (Bagy et al., 1991). Babich & Stotzky (1980) velger å se på effekten av bly som en svekkelse av fosfortilgjengelighet, fremfor en direkte toksisk effekt. Pb binder seg sterkere til humusstoffer enn de fleste andre elementer (Steinnes et al, 1989). Denne sterke affiniteten til organiske forbindelser kan gi utfelling og skape problemer rent laboratorieteknisk, men forsøket lot seg her gjennomføre med over 6 mM Pb²⁺ i 1,5 % maltløsning, uten å gi observerbart bunnfall. Pb²⁺ har IC₇₅-verdi på 0,38 mM. Nikkel, krom og aluminium kommer ut med forholdsvis like IC₇₅-verdier (hhv 0,481 mM, 0,483 mM og 0,55 mM). For Cr og Al er ikke dette uventet, tatt i betraktning en del felles kjemiske egenskaper. Både Al³⁺ og treverdig Cr reagerer surt grunnet ioner som [Al(H₂O)₅OH]²⁺ og [Cr(H₂O)₅OH]²⁺

(Cotton & Wilkinson, 1988), de har like nok ioneradier for dannelsen av isomorfe forbindelser (Heslop & Robinson, 1963) og sulfidene de danner, lar seg hydrolyses av vann (Pauling, 1955). At Al- og Cr-ionene er giftige skyldes derfor ikke binding til sulfhydrylgrupper (Gadd, 1993), og disse metallionene bindes heller ikke til metallothioneiner eller γ-glutamylpeptider. Toksisiteten kan da heller komme av bindingen til hydroksy-, karboksyl- og methoksyligander som chelater eller organiske polymerer, eller til polyfosfater i vakuoler (Foy & Brown, 1964; Babich et al, 1982; Donner & Heyser, 1986; Jongbloed & Borst-Pauwels, 1988; Dobbs et al, 1989; Väre, 1990; Gadd, 1993; Høiland, 1994). Jeg ser ingen klar årsak til at Ni²⁺ havner sammen med Cr- og Al-ionene med sin IC₇₅-verdi. Toksikologisk og kjemisk har Ni²⁺ mer til felles med Cu²⁺ og Hg-ionene, med sin høye affinitet til sulfhydryl- og andre thiolatgrupper (Somers, 1961; Rühling & Tyler, 1973; Ross, 1975; Gadd, 1993). Ni²⁺ skiller seg likevel fra Cu- og Hg-ionene ved kun å danne tungtløselige sulfider under nøytrale betingelser (Pauling, 1955). Den noe lavere toksisiteten til Ni-ionet i forhold til Cu- og Hg-ionene kan skyldes deres ulike evne til å indusere metallothioneiner og γ-glutamylpeptider (Morselt et al, 1986; Gadd, 1993). Tinnionet har den høyeste IC₇₅-verdien (0,64 mM) i gruppen *toksiske*. Sn er et spesielt metall som i nøytral tilstand viser sitt slektskap med de lettere elementene i sin hovedgruppe (karbon, silisium og germanium), ved å eksistere i en ikke-metallisk form. Som 2+ ion er også Sn spesielt ved at det på den ene siden danner uløselige sulfider som ikke hydrolyses av vann, mens SnCl₂ løsninger på den andre siden er sure på grunn av dannelsen av Sn₄(OH)₆Cl₂ (Pauling, 1955; Heslop & Robinson, 1963). Både metallothioneiner og bindingen til hydroksy- og beslektede ligander er foreslått som avgiftningsmekanismer for Sn (Høiland, 1995).

Når Zn²⁺, Be²⁺ og arsen (HAsO₄²⁻) havner i samme

toksisitetsgruppe synes dette tilfeldig. Disse ionene har svært lite til felles både når det gjelder kjemiske og biologiske egenskaper (Ross, 1975; Gadd, 1993; Byrne & Tušek-Žnidarič, 1983).

Mn²⁺ og Mg²⁺ opptrer i store konsentrasjoner i levende organismer og oppfattes aldri som giftige i normale konsentrasjoner. De høye IC₇₅-verdiene (252 mM og 526 mM) er derfor ikke overraskende.

Metalenes rolle som sporstoffer er ikke undersøkt i oppgaven, men temaet er diskutert av flere forfattere.

Eksempelvis er ioner av Cu, Zn, Fe, Mn, Mg, Ca, Sr og K vist essensielle for soppvekst, mens enkelte arter dessuten trenger Co (Bowen, 1966; Byrne *et al*, 1991). Metallene fungerer da oftest i forbindelse med enzymer, enten direkte som metalloenzymer, eller som aktivatorer (Ross, 1975).

Ettersom *metodeutvikling* er det sentrale i denne oppgaven, har bruken av malt i næringsløsningene vært et fullgodt alternativ. Jeg anbefaler likevel bruken av mer definerte medier for videre arbeider med metoden. Det finnes en rekke metallioner som kan virke antagonistisk, for eksempel ved å konkurrere om de samme bindingssetene på enzymer (Babich & Stotzky, 1980; Cotton & Wilkinson, 1988). Det er også sannsynlig at ulike ioner kan forsterke hverandres toksiske virkning. Enkelte ioner vil dessuten lett gjennomgå reduksjon/oksidasjon på grunn av forbindelser og ioner i løsningen. Babich *et al* (1982) viser hvordan oksidasjonen av Cr³⁺ til Cr⁶⁺ aksellereres gjennom autoklavering, og anbefaler derfor filtersterilisering av medier. Tilsvarende forhold vil finnes med for eksempel to- og treverdig jern, og en- og toverdig kvikksølv. At begge forsøkene med kvikksølvioner får svært like IC₇₅-verdier, og at det samme gjelder de to jernionene, kan tyde på dette. Med bedre oversikt over innholdet i næringsløsningene, er det ikke utenkelig at interaksjoner på enzymnivå vil kunne oppdages ut i fra veksthemmingskurven til et stoff.

Kommentarer til pH-forsøket:

L. multiforme viser tilsynelatende høyest vekstrate der pH er senket til ca 4,5 ved tilførsel av små mengder svovelsyre. Det er lite trolig at dette er et reelt pH optimum for arten. En mulig forklaring kan ligge i en såkalt *Arndt-Schulz-effekt*, som beskriver at en akkumulering av en ikke-lethal konsentrasjon av et giftstoff på overflaten av cella, medfører en endring i permeabilitet. Økningen i opptak av næringstoffer fører da i sin tur til mer metabolsk aktivitet og muligens høyere veksthastighet (Babich & Stotzky, 1980). En alternativ forklaring kan være at mediet i utgangspunktet har lavere sulfatkonsentrasjon enn det som er optimalt. For de sureste metallionene må senking av pH i høye konsentrasjoner ses på som en del av toksiteten.

En viktig egenskap ved metoden som ikke er utnyttet i denne oppgaven, er at det kan tas en rekke vekstmålinger underveis i vekstperioden, uten at veksten blir betydelig påvirket. Til sammenlikning kan en tørrvektbestemmelse kun finne sted etter endt vekstperiode.

De to resterende metodene representerer hvert sitt ytterpunkt for vektforsøk. Metoden for morfologi og initiell veksthemmning er ikke ferdig utarbeidet. Den rene morfologiske delen av teknikken er i bruk med stort hell flere steder (*pers med Nils Hallenberg*). Fikseringsteknikker, fjerning av kollodiumfilm og ulike typer innfargingsteknikker er godt gjennomprøvd. Utfordringen videre ligger i å sikre lik inokulering av objektglassene, slik at veksthemmning i starten av et giftpåvirket vektforsøk kan undersøkes både gjennom morfologiske endringer på mycelnivå og som endret veksthastighet.

Med unntak av Cu²⁺ er likevel resultatene i denne delen av oppgaven i god overensstemmelse med IC₇₅-verdiene fra andre storskalaundersøk (mikroplateteknikken).

Metoden for vektforsøk over lang tid gjør det mulig å drive vektforsøk med kontinuerlige målinger over flere uker. Med

enkelt avlesningsutstyr blir metoden dessuten mer nøyaktig enn for radialvekstmålinger i agarskåler. Resultatene viser en svært konstant veksthastighet gjennom en vekstperiode på fem uker, både med og uten ionetilsetting. En økende giftighet fra Be^{2+} til Zn^{2+} til HAsO_4^{2-} i forhold til fra HAsO_4^{2-} til Be^{2+} og Zn^{2+} for IC_{75} -verdiene, kan skyldes ulik reaksjon med agarose. Metoden er egnet til å undersøke om mycel kan tilpasse seg en giftpåvirkning over tid. Dersom ønskelig, ser jeg også for meg at vekstrørene kan lages som moduler. Da kan hyfeveksten overføres kontinuerlig fra gamle til nye rør. Dette åpner for muligheten for å studere vekstendring og tilpasning til mikromiljøet i et evolusjonært perspektiv.

KONKLUSJON

Denne hovedoppgaven viser at behovet for nye metoder til mycelkvantifisering langt på vei kan dekkes med plateleserteknikk. Resultatene som fremkommer i oppgaven er i god overensstemmelse med tidligere studier av metallioners giftvirkning på mycel. Plateleserteknikken effektiviserer arbeidet med å registrere mycelvekst slik at antall parallelle forsøk og dermed reproducerbarheten kan økes enormt innenfor gitte resursrammer. Metoden er benyttet i publiserte arbeider (Høiland 1994, 1995; Høiland & Dybdahl, 1993). Med riktig tilrettelegging kan det vise seg at metoden, på grunn av det korte tidsforbruket, egner seg bedre enn de tradisjonelle metodene, også for mange "problematiske" arter.

Forsøket på å kombinere morfologistudier og studier av initiell veksthemming er så langt bare delvis vellykket. Som teknikk for rene morfologistudier av mycel er metoden godt innarbeidet, og det er her vist at det måleteknisk ikke er noe i veien for å kombinere de to aspektene. Potensialet som ligger i denne kombinasjonen, blir tilgjengeliggjort ved utvikling av en inokuleringsteknikk som sikrer lik inokulering av objektglassene.

Den siste teknikken viser at agarosesylindere sannsynligvis vil kunne utvikles til et godt alternativ til agarskåler for vekststudier over lang tid.

LITTERATURLISTE

- Ashworth, L.J.**, Jr. & Amin, J.V. 1964. A Mechanism for Mercury Tolerance in Fungi. - *Phytopathology* 54: 1459-1463.
- Babich, H.** & Stotzky, G. 1980. Environmental factors that influence the toxicity of heavy metal and gaseous pollutants to microorganisms. - *CRC Crit. Rev. Microbiol.* 8: 99-145.
- Babich, H.**, Schiftenbauer, M. & Stotzky, G. 1982. Effect of sterilization method on toxicity of Cr³⁺ and Cr⁶⁺ to fungi. - *Microbios Letters* 20: 55-64.
- Bagy, M.M.K.**, El-Sharouny, H.M.M. & El-Shanawany, A.A. 1991. Effect of pH and Organic Matter on the Toxicity of Heavy Metals to Growth of Some Fungi. - *Folia Microbiol.* 36: 367-374.
- Bargagli, R.** & Baldi, F. 1984. Mercury and methyl mercury in higher fungi and their relation with the substrata in a cinnabar mining area. - *Chemosphere* 13: 1059-1071.
- Bliss, C. L.** 1935. The calculation of the dose-mortality curve. - *Ann. Appl. Biol.* , 22:134-67.
- Bowen, H. J. M.** 1966. Trace elements in biochemistry. *New York: Academic Press.*
- Byrne, A.R.** & Tušek-žnidarič, M. 1983. Arsenic accumulation in the mushroom *Laccaria amethystina*. - *Chemosphere* 12: 1113-1117.
- Byrne, A.R.**, Tušek-žnidarič, M., Puri, B.K. & Irgolic, K.J. 1991. Studies of the uptake and binding of trace metals in fungi. Part II: Arsenic compounds in *Laccaria amethystina*. - *Appl. Organometallic Chem.* 5: 25-32.
- Colpaert, J.V.** & Assche, J.A., van. 1987. Heavy metal tolerance in some ectomycorrhizal fungi. - *Functional Ecology* 1: 415-421.
- Colpaert, J.V.** & Assche, J.A., van. 1992. The effects of cadmium and the cadmium-zinc interaction on the axenic growth of ectomycorrhizal fungi. - *Plant and Soil* 145: 237-243.
- Coughtrey, P.J.**, Jones, C.H., Martin, M.H. & Shales, S.W. 1979. Litter Accumulation in Woodlands Contaminated by Pb, Zn, Cd and Cu. - *Oecologia* 39: 51-60.
- Cotton, F.A.** & Wilkinson, G. 1988. Advanced Inorganic Chemistry. Fifth Edition. - John Wiley and Sons, New York.
- Danielli, J.F.** & Davies, J.T. 1951. Reactions at Interfaces in Relation to Biological Problems. - *Advances in Enzymology* 11: 35-89.
- Dobbs, A.J.**, French, P., Gunn, A.M., Hunt, D.T.E., & Winnard, D.A. 1989. Aluminum speciation and toxicity in upland waters. - In: Lewis, T.E. (ed.), *Environmental Chemistry and Toxicology of Aluminum*. Lewis Publishers, inc., Chelsea, Michigan, pp. 209-228.
- Donner, B.** & Heyser, W. 1986. Distribution of elements in mycorrhizal and non-mycorrhizal fine roots of air pollution stressed spruce. - In: Gianinazzi-Pearson, V. & Gianinazzi, S. (eds), *Physiological and genetical aspects of mycorrhizae*. 1er Symp. Eur. Mycorrh., Dijon 1985, Paris, pp. 445-449.
- Foy, C.D.** & Brown, J.C. 1964. Toxic Factors in Acid Soils: II. Differential Aluminum Tolerance of Plant Species. - *J. Soil Sci. Soc. Amer.* 28: 27-32.
- Gadd, G.M.** 1993. Interactions of fungi with toxic metals. - *New Phytol.* 124: 25-60.
- Heslop, R.B.** & Robinson, P.L. 1963. Inorganic Chemistry. A Guide to Advanced Study. Second, revised edition. - Elsevier Publishing Company, Amsterdam.
- Høiland, K.** 1994. Suppression of the toxic effect of soluble aluminium on fungi by dermocybin-1-β-D-glucopyranoside and orellanine from *Cortinarius sanguineus* and *C. orellanoides*. - *Nord. J. Bot.* 14: (In press.)
- Høiland, K.** 1995. Reaction of some decomposer basidiomycetes to toxic elements. - *Nord. J. Bot.* 13: 305-318.
- Høiland, K.** & Dybdahl, H.G. 1993. A micro-well method for estimating fungal response to metal ions. Response to aluminium by some saprophytic basidiomycetes. - *Nord. J.*

- Bot. 13: 691-696.
- Hughes, W.L.** 1957. A physiological rationale for the biological activity of mercury and its compounds. - Ann. New York Acad. Sci. 65: 454-460.
- Jongbloed, R.H.** & Borst-Pauwels, G.W.F.H. 1988. Effects of Al^{3+} and NH_4^+ on growth and uptake of K^+ and $H_2PO_4^-$ by three ectomycorrhizae fungi in pure culture. - In: Jansen, A.E., Dighton, J. & Bresser, A.H.M. (eds), Ectomycorrhizae and acid rain. Comm. Eur. Commun., Air Pollut. Res. Rep. 12, Bilthoven, pp. 47-52.
- Jongbloed, R.H.** & Borst-Pauwels, G.W.F.H. 1990. Differential response of some ectomycorrhizal fungi to cadmium in vitro. - Acta Bot. Neerl. 39: 241-246.
- Kikuchi, T.** 1964. Comparison of original and secondarily developed copper resistance of yeast strains. - Bot. Mag., Tokyo 77: 395-402.
- Lichfield J.T.** & Wilcoxon F. J. 1949. A simplified method of evaluating dose-effect experiments. J Exp Therap. 96: 99-100.
- Lokesha, S.** & Somashekhar, R.K. 1991. Effect of Heavy Metals on the Growth of Some Fungi. A preliminary Assay. - Indian J. Environ. Health 33: 123-125.
- McCreight, J.D.** & Schroeder, D.B. 1974. The effect of cadmium, nickel, and lead on the growth of ectomycorrhizal fungi. - Phytopathology 64: 583.
- McCreight, J.D.** & Schroeder, D.B. 1982. Inhibition of growth of nine ectomycorrhizal fungi by cadmium, lead, and nickel in vitro. - Environ. and Exp. Bot. 22: 1-7.
- Morselt, A.F.W.**, Smits, W.T.M. & Limonard, T. 1986. Histochemical demonstration of heavy metal tolerance in ectomycorrhizal fungi. - Plant and Soil 96: 417-420.
- Niedor, E.** & Richardson, D. H. S., 1980. The replacement of the nondescript term "heavy metal" by a biologically and chemically significant classification of metal ions, Environ . Pollut. (Ser. B), 1, 3, **Nordgren, A.**, Bååth, E. & Söderström, B. 1983. Microfungi and Microbial Activity Along a Heavy Metal Gradient. - Appl. and Environ. Microbiol. 45: 1829-1837.
- Passow, H** & Rothstein, A. 1960. The binding of mercury by the yeast cell in relation to changes in permeability. Journal of General Physiology 43, 621-633.
- Pauling, L.** 1955. College Chemistry. Second Edition. - W.H. Freeman and Company, San Francisco.
- Paulus, W.** & Bresinsky, A. 1989. Soil Fungi and Other Microorganisms - Ecological Studies 77: 110-120.
- Ross, I. S.** 1975 . Some effects of heavy metals on fungal cells. *Trans. Br. Mycol. Soc.* 64(2)175-193.
- Rühling, Å.** & Tyler, G. 1973. Heavy metal pollution and decomposition of spruce needle litter. - Oikos 24: 402-416.
- Snowden , R. E. D** & Wheeler, B. D. 1993. Iron toxicity to fen plant species. -Journal of Ecology 81: 35-46
- Sokal, R.R.** & Michener, C.D. 1958. A statistic method for evaluating systematic relationships. - Univ. Kansas Sci. Bull. 38: 1409-1438.
- Somashekar, M.D.**, Kulasekaran, M.D. & Satishchandra Prabhu, M. 1983. Toxicity of heavy metals to some fungi. - Int. J. Environ. Stud. 21: 277-280.
- Somers, E.** 1961. The fungitoxicity of metal ions. - Ann. Appl. Biol. 49: 246-253.
- Steinnes, E.**, Solberg, W., Petersen, H.M. & Wren, C.D. 1989. Heavy metal pollution by long range atmospheric transport in natural soils of Southern Norway. - Water Air & Soil Pollut. 45: 207-218.
- Sternheim, M. M.** & Kane, J. W. 1986. General Physics. John Wiley and Sons. New York. 765 pp.
- Tonner, G.** & Kunze, C. 1990. Der Einfluss von Schwermetallen auf die N-Mineralisation mit Berücksichtigung des Pilz-Bakterien-Verhältnisses. - Angew. Botanik 64: 345-355.
- Trevan, J.** ,1927. The error of determination of toxicity. -Proc

R Soc 101B:483–514.

Trinci A. P. J. 1971. Influence of the With of the Peripheral Growth Zone on the Radial Growth Rate of Fungal Colonies on Solid Media. -J. of General Microbiology 67: 325-344

Tyler, G. 1974a. Effekter av tungmetallförorening på nedbrytningsprocesser i skogsmark. - Statens naturvårdsverk snv pm 443: 1-23.

Tyler, G. 1974b. Effekter av tungmetallförorening på nedbrytningsprocesser i skogsmark. II. Nedbrytningshastighet, kväve- och fosformineralisering, markenzymatisk aktivitet. - Statens naturvårdsverk snv pm 542: 1-53.

Väre, H. 1990. Aluminium polyphosphate in the ectomycorrhizal fungus *Suillus variegatus* (Fr.) O. Kunze as revealed by energy dispersive spectrometry. - New Phytol. 116: 663-668.

Wasserman, J.L., Mineo, L., Majumdar, S.K. & Tyne, C., van. 1987. Detection of heavy metals in oak mycorrhizae of northeastern Pennsylvania forests, using x-ray microanalysis. - Can. J. Bot. 65: 2622-2627.

Willenborg, A., Schmitz, D. & Lelley, J. 1990. Effects of environmental stress factors on ectomycorrhizal fungi in vitro. - Can. J. Bot. 68: 1741-1746.

Zlochevskaya, I. V. 1968. Toxic effects of a lead complex with DL-cystein on *Aspergillus niger*. Microbiology 37, 209-714.

APPENDIKS

Første storskalaundersøkelse

Ion	Id	a _f	a _e	a _e -a _f	[M]/mrk	Cd ²⁺	E6	0,414	0,388	-0,03
Al ³⁺	A1	0,493	0,769	0,276	0,0 mM		F6	0,395	0,396	0,001
	B1	0,476	0,732	0,256			G6	0,381	0,397	0,016
	C1	0,459	0,762	0,303			H6	0,432	0,433	0,001
	D1	0,351	0,364	0,013		Al ³⁺	A7	0,474	0,611	0,137
Cd ²⁺	E1	0,382	0,385	0,003			B7	0,429	0,426	0
	F1	0,404	0,656	0,252			C7	0,411	0,409	0
	G1	0,496	0,836	0,34			D7	0,387	0,375	-0,01
	H1	0,419	0,788	0,369		Cd ²⁺	E7	0,421	0,407	-0,01
Al ³⁺	A2	0,47	0,789	0,319			F7	0,447	0,44	-0,01
	B2	0,383	0,74	0,357			G7	0,408	0,426	0,018
	C2	0,363	0,708	0,345			H7	0,391	0,415	0,024
	D2	0,389	0,367	-0,02		Al ³⁺	A8	0,471	0,481	0,01
Cd ²⁺	E2	0,426	0,408	-0,02			B8	0,525	0,592	0,067
	F2	0,481	0,664	0,183			C8	0,414	0,42	0,006
	G2	0,442	0,879	0,437			D8	0,396	0,389	-0,01
	H2	0,388	0,705	0,317		Cd ²⁺	E8	0,434	0,409	-0,03
Al ³⁺	A3	0,367	0,726	0,359	0,10 mM		F8	0,46	0,455	-0,01
	B3	0,395	0,712	0,317			G8	0,492	0,49	0
	C3	0,386	0,728	0,342			H8	0,373	0,409	0,036
	D3	0,37	0,375	0,005		Al ³⁺	A9	0,476	0,483	0,007
Cd ²⁺	E3	0,418	0,405	-0,01			B9	0,433	0,446	0,013
	F3	0,396	0,396	0			C9	0,415	0,419	0,004
	G3	0,425	0,508	0,083			D9	0,385	0,385	0
	H3	0,316	0,358	0,042		Cd ²⁺	E9	0,443	0,418	-0,03
Al ³⁺	A4	0,436	0,729	0,293	0,17 mM		F9	0,443	0,451	0,008
	B4	0,455	0,74	0,285			G9	0,417	0,435	0,018
	C4	0,373	0,704	0,331			H9	0,404	0,422	0,018
	D4	0,387	0,365	-0,02		Al ³⁺	A10	0,453	0,459	0,006
Cd ²⁺	E4	0,449	0,432	-0,02			B10	0,405	0,406	0,001
	F4	0,392	0,394	0,002			C10	0,395	0,405	0,01
	G4	0,397	0,42	0,023			D10	0,4	0,382	-0,02
	H4	0,341	0,422	0,081		Cd ²⁺	E10	0,445	0,413	-0,03
Al ³⁺	A5	0,472	0,706	0,234	0,3 mM		F10	0,445	0,448	0,003
	B5	0,437	0,732	0,295			G10	0,429	0,44	0,011
	C5	0,378	0,677	0,299			H10	0,386	0,436	0,05
	D5	0,396	0,389	-0,01		Al ³⁺	A11	0,484	0,496	0,012
Cd ²⁺	E5	0,416	0,407	-0,01			B11	0,411	0,418	0,007
	F5	0,432	0,437	0,005			C11	0,382	0,403	0,021
	G5	0,415	0,417	0,002			D11	0,387	0,382	-0,01
	H5	0,365	0,412	0,047		Cd ²⁺	E11	0,424	0,418	-0,01
Al ³⁺	A6	0,527	0,718	0,191	0,5 mM		F11	0,471	0,463	-0,01
	B6	0,44	0,604	0,164			G11	0,456	0,437	-0,02
	C6	0,398	0,436	0,038			H11	0,417	0,419	0,002
	D6	0,375	0,368	-0,01		Al ³⁺	A12	0,431	0,479	0,048
							B12	0,419	0,439	0,02
							C12	0,415	0,437	0,022
							D12	0,373	0,37	0
						Cd ²⁺	E12	0,393	0,395	0,002
							F12	0,473	0,48	0,007
							G12	0,454	0,473	0,019
							H12	0,399	0,422	0,023

HAsO42-	A1	0,424	0,808	0,384	0,0 mM	Zn ²⁺	E7	0,405	0,395	-0,01	
	B1	0,449	0,796	0,347			F7	0,469	0,785	0,316	
	C1	0,45	0,866	0,416			G7	0,439	0,746	0,307	
	D1	0,371	0,391	0,02			H7	0,4	0,691	0,291	
Zn ²⁺	E1	0,368	0,356	-0,012	HAsO42-	A8	0,433	0,808	0,375	1,3 mM	
	F1	0,432	0,796	0,364		B8	0,415	0,73	0,315		
	G1	0,48	0,864	0,384		C8	0,424	0,754	0,33		
	H1	0,371	0,795	0,424		D8	0,372	0,36	-0,012		
HAsO42-	A2	0,452	0,848	0,396	Zn ²⁺	E8	0,411	0,395	-0,016		
	B2	0,403	0,794	0,391		F8	0,463	0,798	0,335		
	C2	0,39	0,771	0,381		G8	0,45	0,721	0,271		
	D2	0,369	0,372	0,003		H8	0,43	0,72	0,29		
Zn ²⁺	E2	0,376	0,368	-0,008	HAsO42-	A9	0,47	0,792	0,322	2,2 mM	
	F2	0,425	0,813	0,388		B9	0,423	0,729	0,306		
	G2	0,486	0,886	0,4		C9	0,411	0,696	0,285		
	H2	0,376	0,808	0,432		D9	0,388	0,373	-0,015		
HAsO42-	A3	0,394	0,829	0,435	0,10 mM	Zn ²⁺	E9	0,429	0,375	-0,054	
	B3	0,469	0,808	0,339		F9	0,502	0,785	0,283		
	C3	0,372	0,761	0,389		G9	0,443	0,767	0,324		
	D3	0,372	0,372	0		H9	0,414	0,696	0,282		
Zn ²⁺	E3	0,352	0,354	0,002	HAsO42-	A10	0,457	0,777	0,32	3,6 mM	
	F3	0,465	0,826	0,361		B10	0,467	0,73	0,263		
	G3	0,428	0,874	0,446		C10	0,439	0,703	0,264		
	H3	0,387	0,769	0,382		D10	0,389	0,384	-0,005		
HAsO42-	A4	0,413	0,819	0,406	0,17 mM	Zn ²⁺	E10	0,385	0,379	-0,006	
	B4	0,389	0,786	0,397		F10	0,491	0,805	0,314		
	C4	0,359	0,764	0,405		G10	0,455	0,752	0,297		
	D4	0,361	0,358	-0,003		H10	0,402	0,592	0,19		
Zn ²⁺	E4	0,391	0,375	-0,016	HAsO42-	A11	0,447	0,724	0,277	6,0 mM	
	F4	0,486	0,822	0,336		B11	0,411	0,637	0,226		
	G4	0,389	0,792	0,403		C11	0,434	0,661	0,227		
	H4	0,46	0,8	0,34		D11	0,408	0,406	-0,002		
HAsO42-	A5	0,503	0,824	0,321	0,3 mM	Zn ²⁺	E11	0,4	0,408	0,008	
	B5	0,434	0,773	0,339		F11	0,476	0,725	0,249		
	C5	0,387	0,758	0,371		G11	0,449	0,503	0,054		
	D5	0,361	0,356	-0,005		H11	0,365	0,446	0,081		
Zn ²⁺	E5	0,394	0,385	-0,009	HAsO42-	A12	0,535	0,665	0,13	10,0 mM	
	F5	0,441	0,806	0,365		B12	0,483	0,593	0,11		
	G5	0,439	0,801	0,362		C12	0,486	0,644	0,158		
	H5	0,431	0,743	0,312		D12	0,446	0,449	0,003		
HAsO42-	A6	0,461	0,832	0,371	0,5 mM	Zn ²⁺	E12	0,372	0,4	0,028	
	B6	0,431	0,779	0,348		F12	0,492	0,558	0,066		
	C6	0,396	0,729	0,333		G12	0,429	0,513	0,084		
	D6	0,348	0,344	-0,004		H12	0,352	0,461	0,109		
Zn ²⁺	E6	0,386	0,38	-0,006	Be ²⁺	A1	0,318	0,614	0,296	0,0 mM	
	F6	0,463	0,786	0,323		B1	0,315	0,629	0,314		
	G6	0,415	0,716	0,301		C1	0,304	0,623	0,319		
	H6	0,412	0,753	0,341		D1	0,399	0,434	0,035		
HAsO42-	A7	0,428	0,821	0,393	0,8 mM	Ni ²⁺	E1	0,421	0,474	0,053	
	B7	0,442	0,763	0,321		F1	0,34	0,69	0,35		
	C7	0,424	0,72	0,296		G1	0,376	0,733	0,357		
	D7	0,404	0,415	0,011		H1	0,406	0,79	0,384		

Be ²⁺	A2	0,366	0,694	0,328	Ni ²⁺	E8	0,388	0,447	0,059
	B2	0,342	0,651	0,309		F8	0,319	0,38	0,061
	C2	0,337	0,643	0,306		G8	0,352	0,459	0,107
	D2	0,406	0,442	0,036		H8	0,352	0,477	0,125
Ni ²⁺	E2	0,435	0,484	0,049	Be ²⁺	A9	0,39	0,401	0,011
	F2	0,347	0,651	0,304		B9	0,378	0,407	0,029
	G2	0,385	0,726	0,341		C9	0,322	0,325	0,003
	H2	0,429	0,857	0,428		D9	0,429	0,456	0,027
Be ²⁺	A3	0,355	0,654	0,299	Ni ²⁺	E9	0,45	0,474	0,024
	B3	0,388	0,661	0,273		F9	0,33	0,381	0,051
	C3	0,359	0,631	0,272		G9	0,381	0,437	0,056
	D3	0,454	0,466	0,012		H9	0,363	0,477	0,114
Ni ²⁺	E3	0,436	0,479	0,043	Be ²⁺	A10	0,377	0,42	0,043
	F3	0,363	0,425	0,062		B10	0,365	0,371	0,006
	G3	0,344	0,471	0,127		C10	0,308	0,319	0,011
	H3	0,349	0,518	0,169		D10	0,396	0,441	0,045
Be ²⁺	A4	0,353	0,63	0,277	Ni ²⁺	E10	0,397	0,451	0,054
	B4	0,393	0,623	0,23		F10	0,314	0,359	0,045
	C4	0,359	0,601	0,242		G10	0,394	0,526	0,132
	D4	0,409	0,429	0,02		H10	0,424	0,541	0,117
Ni ²⁺	E4	0,415	0,459	0,044	Be ²⁺	A11	0,363	0,393	0,03
	F4	0,365	0,418	0,053		B11	0,346	0,379	0,033
	G4	0,331	0,428	0,097		C11	0,359	0,371	0,012
	H4	0,35	0,498	0,148		D11	0,445	0,461	0,016
Be ²⁺	A5	0,326	0,466	0,14	Ni ²⁺	E11	0,444	0,471	0,027
	B5	0,378	0,666	0,288		F11	0,328	0,384	0,056
	C5	0,353	0,496	0,143		G11	0,368	0,451	0,083
	D5	0,393	0,419	0,026		H11	0,357	0,449	0,092
Ni ²⁺	E5	0,374	0,435	0,061	Be ²⁺	A12	0,494	0,502	0,008
	F5	0,328	0,403	0,075		B12	0,409	0,468	0,059
	G5	0,34	0,418	0,078		C12	0,469	0,482	0,013
	H5	0,344	0,447	0,103		D12	0,491	0,497	0,006
Be ²⁺	A6	0,354	0,439	0,085	Ni ²⁺	E12	0,512	0,544	0,032
	B6	0,404	0,667	0,263		F12	0,486	0,505	0,019
	C6	0,377	0,544	0,167		G12	0,55	0,566	0,016
	D6	0,418	0,438	0,02		H12	0,511	0,516	0,005
Ni ²⁺	E6	0,38	0,442	0,062	Pb ²⁺	A1	0,423	0,74	0,317
	F6	0,336	0,387	0,051		B1	0,356	0,634	0,278
	G6	0,34	0,425	0,085		C1	0,347	0,681	0,334
	H6	0,349	0,464	0,115		D1	0,36	0,346	-0,014
Be ²⁺	A7	0,32	0,364	0,044	Cu ²⁺	E1	0,397	0,372	-0,025
	B7	0,452	0,643	0,191		F1	0,411	0,775	0,364
	C7	0,374	0,534	0,16		G1	0,389	0,707	0,318
	D7	0,467	0,469	0,002		H1	0,37	0,708	0,338
Ni ²⁺	E7	0,432	0,484	0,052	Pb ²⁺	A2	0,437	0,767	0,33
	F7	0,341	0,403	0,062		B2	0,403	0,685	0,282
	G7	0,354	0,477	0,123		C2	0,387	0,705	0,318
	H7	0,364	0,47	0,106		D2	0,377	0,373	-0,004
Be ²⁺	A8	0,347	0,5	0,153	Cu ²⁺	E2	0,449	0,42	-0,029
	B8	0,418	0,544	0,126		F2	0,481	0,822	0,341
	C8	0,382	0,447	0,065		G2	0,433	0,748	0,315
	D8	0,431	0,463	0,032		H2	0,432	0,751	0,319

Pb ²⁺	A3	0,381	0,694	0,313	0,10 mM	Cu ²⁺	E9	0,417	0,408	-0,009	
	B3	0,383	0,623	0,24			F9	0,48	0,622	0,142	
	C3	0,391	0,649	0,258			G9	0,421	0,428	0,007	
	D3	0,386	0,378	-0,008			H9	0,471	0,488	0,017	
Cu ²⁺	E3	0,44	0,416	-0,024	Pb ²⁺	A10	0,711	0,795	0,084	3,6 mM	
	F3	0,463	0,814	0,351		B10	0,675	0,764	0,089		
	G3	0,421	0,716	0,295		C10	0,754	0,793	0,039		
	H3	0,422	0,74	0,318		D10	0,674	0,743	0,069		
Pb ²⁺	A4	0,492	0,723	0,231	0,17 mM	Cu ²⁺	E10	0,427	0,444	0,017	
	B4	0,428	0,641	0,213		F10	0,459	0,462	0,003		
	C4	0,416	0,644	0,228		G10	0,438	0,458	0,02		
	D4	0,406	0,397	-0,009		H10	0,457	0,501	0,044		
Cu ²⁺	E4	0,469	0,452	-0,017	Pb ²⁺	A11	0,751	0,856	0,105	6,0 mM	
	F4	0,46	0,836	0,376		B11	0,679	0,773	0,094		
	G4	0,426	0,677	0,251		C11	0,737	0,863	0,126		
	H4	0,487	0,783	0,296		D11	0,697	0,78	0,083		
Pb ²⁺	A5	0,448	0,623	0,175	0,3 mM	Cu ²⁺	E11	0,457	0,463	0,006	
	B5	0,378	0,429	0,051		F11	0,482	0,476	-0,006		
	C5	0,429	0,537	0,108		G11	0,44	0,447	0,007		
	D5	0,419	0,404	-0,015		H11	0,462	0,497	0,035		
Cu ²⁺	E5	0,482	0,457	-0,025	Pb ²⁺	A12	0,398	0,489	0,091	10,0 mM	
	F5	0,481	0,845	0,364		B12	0,419	0,494	0,075		
	G5	0,413	0,714	0,301		C12	0,463	0,562	0,099		
	H5	0,429	0,779	0,35		D12	0,384	0,436	0,052		
Pb ²⁺	A6	0,55	0,656	0,106	0,5 mM	Cu ²⁺	E12	0,406	0,431	0,025	
	B6	0,407	0,539	0,132		F12	0,441	0,476	0,035		
	C6	0,439	0,559	0,12		G12	0,427	0,477	0,05		
	D6	0,484	0,449	-0,035		H12	0,475	0,517	0,042		
Cu ²⁺	E6	0,447	0,429	-0,018	Fe ²⁺	A1	0,372	0,823	0,451	0,0 mM	
	F6	0,495	0,832	0,337		B1	0,41	0,807	0,397		
	G6	0,547	0,706	0,159		C1	0,312	0,757	0,445		
	H6	0,516	0,822	0,306		D1	0,344	0,338	-0,006		
Pb ²⁺	A7	0,545	0,722	0,177	0,8 mM	Fe ³⁺	E1	0,326	0,349	0,023	
	B7	0,468	0,614	0,146		F1	0,355	0,846	0,491		
	C7	0,506	0,594	0,088		G1	0,375	0,846	0,471		
	D7	0,599	0,696	0,097		H1	0,368	0,815	0,447		
Cu ²⁺	E7	0,443	0,446	0,003	Fe ²⁺	A2	0,374	0,825	0,451		
	F7	0,588	0,637	0,049		B2	0,398	0,795	0,397		
	G7	0,432	0,462	0,03		C2	0,332	0,745	0,413		
	H7	0,452	0,575	0,123		D2	0,369	0,385	0,016		
Pb ²⁺	A8	0,691	0,736	0,045	1,3 mM	Fe ³⁺	E2	0,363	0,364	0,001	
	B8	0,664	0,684	0,02		F2	0,433	0,863	0,43		
	C8	0,698	0,788	0,09		G2	0,4	0,794	0,394		
	D8	0,689	0,802	0,113		H2	0,366	0,755	0,389		
Cu ²⁺	E8	0,419	0,436	0,017	Fe ²⁺	A3	0,404	0,825	0,421	0,10 mM	
	F8	0,477	0,476	-0,001		B3	0,456	0,819	0,363		
	G8	0,421	0,432	0,011		C3	0,398	0,817	0,419		
	H8	0,515	0,517	0,002		D3	0,358	0,365	0,007		
Pb ²⁺	A9	0,798	0,88	0,082	2,2 mM	Fe ³⁺	E3	0,37	0,375	0,005	
	B9	0,723	0,775	0,052		F3	0,463	0,856	0,393		
	C9	0,802	0,898	0,096		G3	0,436	0,812	0,376		
	D9	0,722	0,842	0,12		H3	0,383	0,761	0,378		

Fe ²⁺	A4	0,404	0,807	0,403	0,17 mM		Fe ³⁺	E10	0,419	0,48	0,061	
	B4	0,422	0,812	0,39			F10	0,469	0,517	0,048		
	C4	0,389	0,853	0,464			G10	0,446	0,509	0,063		
	D4	0,362	0,383	0,021			H10	0,523	0,547	0,024		
Fe ³⁺	E4	0,395	0,408	0,013		Fe ²⁺	A11	0,594	0,873	0,279	6,0 mM	
	F4	0,457	0,905	0,448			B11	0,513	0,717	0,204		
	G4	0,442	0,818	0,376			C11	0,54	0,769	0,229		
	H4	0,523	0,859	0,336			D11	0,483	0,57	0,087		
Fe ²⁺	A5	0,434	0,848	0,414	0,3 mM	Fe ³⁺	E11	0,383	0,404	0,021		
	B5	0,457	0,83	0,373			F11	0,469	0,494	0,025		
	C5	0,433	0,876	0,443			G11	0,447	0,48	0,033		
	D5	0,39	0,412	0,022			H11	0,447	0,501	0,054		
Fe ³⁺	E5	0,485	0,472	-0,013		Fe ²⁺	A12	0,615	0,837	0,222	10,0 mM	
	F5	0,521	0,937	0,416			B12	0,533	0,784	0,251		
	G5	0,483	0,863	0,38			C12	0,562	0,927	0,365		
	H5	0,575	0,888	0,313			D12	0,517	0,551	0,034		
Fe ²⁺	A6	0,509	0,894	0,385	0,5 mM	Fe ³⁺	E12	0,374	0,39	0,016		
	B6	0,454	0,83	0,376			F12	0,449	0,479	0,03		
	C6	0,46	0,927	0,467			G12	0,43	0,478	0,048		
	D6	0,429	0,447	0,018			H12	0,494	0,498	0,004		
Fe ³⁺	E6	0,472	0,455	-0,017		Cr ³⁺	A1	0,328	0,663	0,335	0,0 mM	
	F6	0,558	0,842	0,284			B1	0,326	0,73	0,404		
	G6	0,478	0,807	0,329			C1	0,355	0,752	0,397		
	H6	0,49	0,828	0,338			D1	0,382	0,44	0,058		
Fe ²⁺	A7	0,527	0,894	0,367	0,8 mM	Sn ²⁺	E1	0,404	0,436	0,032		
	B7	0,479	0,832	0,353			F1	0,329	0,755	0,426		
	C7	0,476	0,843	0,367			G1	0,337	0,75	0,413		
	D7	0,404	0,449	0,045			H1	0,417	0,742	0,325		
Fe ³⁺	E7	0,479	0,529	0,05		Cr ³⁺	A2	0,335	0,778	0,443		
	F7	0,536	0,533	-0,003			B2	0,344	0,714	0,37		
	G7	0,46	0,481	0,021			C2	0,352	0,728	0,376		
	H7	0,486	0,526	0,04			D2	0,441	0,457	0,016		
Fe ²⁺	A8	0,442	0,929	0,487	1,3 mM	Sn ²⁺	E2	0,479	0,477	-0,002		
	B8	0,469	0,606	0,137			F2	0,333	0,678	0,345		
	C8	0,463	0,766	0,303			G2	0,353	0,745	0,392		
	D8	0,428	0,484	0,056			H2	0,363	0,772	0,409		
Fe ³⁺	E8	0,461	0,533	0,072		Cr ³⁺	A3	0,32	0,669	0,349	0,4 mM	
	F8	0,542	0,573	0,031			B3	0,334	0,689	0,355		
	G8	0,48	0,509	0,029			C3	0,351	0,727	0,376		
	H8	0,506	0,549	0,043			D3	0,344	0,42	0,076		
Fe ²⁺	A9	0,567	0,758	0,191	2,2 mM	Sn ²⁺	E3	0,366	0,417	0,051		
	B9	0,562	0,796	0,234			F3	0,359	0,709	0,35		
	C9	0,511	0,706	0,195			G3	0,433	0,782	0,349		
	D9	0,418	0,548	0,13			H3	0,374	0,713	0,339		
Fe ³⁺	E9	0,442	0,505	0,063		Cr ³⁺	A4	0,35	0,613	0,263	0,7 mM	
	F9	0,51	0,57	0,06			B4	0,344	0,675	0,331		
	G9	0,45	0,54	0,09			C4	0,365	0,582	0,217		
	H9	0,513	0,572	0,059			D4	0,359	0,444	0,085		
Fe ²⁺	A10	0,611	0,792	0,181	3,6 mM	Sn ²⁺	E4	0,468	0,5	0,032		
	B10	0,496	0,729	0,233			F4	0,373	0,523	0,15		
	C10	0,511	0,729	0,218			G4	0,371	0,655	0,284		
	D10	0,451	0,579	0,128			H4	0,375	0,458	0,083		

Cr ³⁺	A5	0,324	0,474	0,15	1,1 mM	Sn ²⁺	E11	0,55	0,622	0,072	
	B5	0,352	0,509	0,157			F11	0,436	0,587	0,151	
	C5	0,35	0,467	0,117			G11	0,443	0,595	0,152	
	D5	0,353	0,434	0,081			H11	0,452	0,634	0,182	
Sn ²⁺	E5	0,425	0,47	0,045		Cr ³⁺	A12	0,679	0,735	0,056	40,0 mM
	F5	0,4	0,423	0,023			B12	0,637	0,727	0,09	
	G5	0,449	0,512	0,063			C12	0,655	0,744	0,089	
	H5	0,507	0,513	0,006			D12	0,704	0,766	0,062	
Cr ³⁺	A6	0,337	0,489	0,152	1,9 mM	Sn ²⁺	E12	0,534	0,712	0,178	
	B6	0,347	0,458	0,111			F12	0,478	0,768	0,29	
	C6	0,375	0,484	0,109			G12	0,512	0,79	0,278	
	D6	0,346	0,444	0,098			H12	0,497	0,796	0,299	
Sn ²⁺	E6	0,425	0,481	0,056		Hg2 ²⁺	A1	0,412	0,717	0,305	0,0 mM
	F6	0,434	0,47	0,036			B1	0,45	0,696	0,246	
	G6	0,467	0,493	0,026			C1	0,392	0,394	0,002	
	H6	0,496	0,527	0,031			D1	0,347	0,341	-0,006	
Cr ³⁺	A7	0,348	0,489	0,141	3,1 mM	Hg ²⁺	E1	0,4	0,379	-0,021	
	B7	0,342	0,451	0,109			F1	0,414	0,416	0,002	
	C7	0,369	0,462	0,093			G1	0,392	1,072	0,68	
	D7	0,424	0,504	0,08			H1	0,427	0,462	0,035	
Sn ²⁺	E7	0,509	0,553	0,044		Hg2 ²⁺	A2	0,448	0,76	0,312	
	F7	0,385	0,505	0,12			B2	0,471	0,759	0,288	
	G7	0,379	0,472	0,093			C2	0,41	0,405	-0,005	
	H7	0,378	0,5	0,122			D2	0,378	0,382	0,004	
Cr ³⁺	A8	0,361	0,496	0,135	5,2 mM	Hg ²⁺	E2	0,419	0,415	-0,004	
	B8	0,351	0,457	0,106			F2	0,463	0,455	-0,008	
	C8	0,379	0,48	0,101			G2	0,387	1,109	0,722	
	D8	0,44	0,506	0,066			H2	0,398	0,42	0,022	
Sn ²⁺	E8	0,48	0,535	0,055		Hg2 ²⁺	A3	0,418	0,421	0,003	0,10 mM
	F8	0,388	0,533	0,145			B3	0,448	0,441	-0,007	
	G8	0,387	0,543	0,156			C3	0,402	0,407	0,005	
	H8	0,423	0,557	0,134			D3	0,385	0,373	-0,012	
Cr ³⁺	A9	0,412	0,554	0,142	8,6 mM	Hg ²⁺	E3	0,442	0,43	-0,012	
	B9	0,367	0,48	0,113			F3	0,448	0,45	0,002	
	C9	0,379	0,462	0,083			G3	0,408	0,431	0,023	
	D9	0,41	0,531	0,121			H3	0,424	0,451	0,027	
Sn ²⁺	E9	0,457	0,536	0,079		Hg2 ²⁺	A4	0,431	0,425	-0,006	0,17 mM
	F9	0,394	0,521	0,127			B4	0,458	0,447	-0,011	
	G9	0,381	0,553	0,172			C4	0,41	0,411	0,001	
	H9	0,386	0,538	0,152			D4	0,38	0,376	-0,004	
Cr ³⁺	A10	0,446	0,582	0,136	14,4 mM	Hg ²⁺	E4	0,462	0,419	-0,043	
	B10	0,395	0,502	0,107			F4	0,506	0,465	-0,041	
	C10	0,471	0,536	0,065			G4	0,436	0,447	0,011	
	D10	0,482	0,59	0,108			H4	0,503	0,488	-0,015	
Sn ²⁺	E10	0,491	0,581	0,09		Hg2 ²⁺	A5	0,46	0,455	-0,005	0,3 mM
	F10	0,421	0,544	0,123			B5	0,433	0,429	-0,004	
	G10	0,451	0,561	0,11			C5	0,42	0,396	-0,024	
	H10	0,482	0,594	0,112			D5	0,399	0,385	-0,014	
Cr ³⁺	A11	0,553	0,618	0,065	24,0 mM	Hg ²⁺	E5	0,446	0,442	-0,004	
	B11	0,482	0,566	0,084			F5	0,49	0,473	-0,017	
	C11	0,542	0,611	0,069			G5	0,462	0,44	-0,022	
	D11	0,561	0,694	0,133			H5	0,518	0,509	-0,009	

Hg ²⁺	A6	0,483	0,456	-0,027	0,5 mM		Hg ²⁺	E12	0,541	0,557	0,016
	B6	0,473	0,466	-0,007			F12	0,555	0,608	0,053	
	C6	0,425	0,411	-0,014			G12	0,526	0,617	0,091	
	D6	0,411	0,392	-0,019			H12	0,571	0,654	0,083	
Hg ²⁺	E6	0,48	0,473	-0,007		Mg ²⁺	A1	0,353	0,663	0,31	0,0 mM
	F6	0,513	0,514	0,001			B1	0,441	0,777	0,336	
	G6	0,581	0,553	-0,028			C1	0,37	0,69	0,32	
	H6	0,529	0,485	-0,044			D1	0,372	0,388	0,016	
Hg ²⁺	A7	0,5	0,477	-0,023	0,8 mM	Mn ²⁺	E1	0,361	0,347	-0,014	
	B7	0,488	0,462	-0,026			F1	0,4	0,731	0,331	
	C7	0,451	0,43	-0,021			G1	0,409	0,738	0,329	
	D7	0,436	0,419	-0,017			H1	0,375	0,684	0,309	
Hg ²⁺	E7	0,556	0,54	-0,016		Mg ²⁺	A2	0,413	0,723	0,31	
	F7	0,548	0,516	-0,032			B2	0,414	0,724	0,31	
	G7	0,54	0,528	-0,012			C2	0,382	0,674	0,292	
	H7	0,533	0,548	0,015			D2	0,387	0,382	-0,005	
Hg ²⁺	A8	0,562	0,536	-0,026	1,3 mM	Mn ²⁺	E2	0,397	0,376	-0,021	
	B8	0,565	0,535	-0,03			F2	0,424	0,704	0,28	
	C8	0,509	0,492	-0,017			G2	0,401	0,746	0,345	
	D8	0,483	0,483	0			H2	0,396	0,709	0,313	
Hg ²⁺	E8	0,564	0,555	-0,009		Mg ²⁺	A3	0,414	0,67	0,256	8,1 mM
	F8	0,568	0,547	-0,021			B3	0,452	0,691	0,239	
	G8	0,568	0,561	-0,007			C3	0,383	0,651	0,268	
	H8	0,568	0,564	-0,004			D3	0,423	0,363	-0,06	
Hg ²⁺	A9	0,602	0,583	-0,019	2,2 mM	Mn ²⁺	E3	0,388	0,394	0,006	
	B9	0,61	0,606	-0,004			F3	0,373	0,643	0,27	
	C9	0,652	0,631	-0,021			G3	0,413	0,709	0,296	
	D9	0,615	0,624	0,009			H3	0,372	0,681	0,309	
Hg ²⁺	E9	0,508	0,574	0,066		Mg ²⁺	A4	0,382	0,663	0,281	13,4 mM
	F9	0,513	0,578	0,065			B4	0,395	0,66	0,265	
	G9	0,531	0,596	0,065			C4	0,377	0,666	0,289	
	H9	0,636	0,683	0,047			D4	0,381	0,369	-0,012	
Hg ²⁺	A10	0,755	0,735	-0,02	3,6 mM	Mn ²⁺	E4	0,398	0,394	-0,004	
	B10	0,669	0,651	-0,018			F4	0,409	0,489	0,08	
	C10	0,693	0,687	-0,006			G4	0,443	0,781	0,338	
	D10	0,674	0,661	-0,013			H4	0,378	0,691	0,313	
Hg ²⁺	E10	0,517	0,537	0,02		Mg ²⁺	A5	0,465	0,713	0,248	22,4 mM
	F10	0,569	0,61	0,041			B5	0,387	0,657	0,27	
	G10	0,548	0,603	0,055			C5	0,389	0,671	0,282	
	H10	0,571	0,647	0,076			D5	0,381	0,374	-0,007	
Hg ²⁺	A11	0,865	0,902	0,037	6,0 mM	Mn ²⁺	E5	0,408	0,391	-0,017	
	B11	0,7	0,737	0,037			F5	0,417	0,687	0,27	
	C11	0,707	0,808	0,101			G5	0,474	0,8	0,326	
	D11	0,708	0,757	0,049			H5	0,405	0,67	0,265	
Hg ²⁺	E11	0,505	0,576	0,071		Mg ²⁺	A6	0,43	0,7	0,27	37,3 mM
	F11	0,568	0,617	0,049			B6	0,394	0,659	0,265	
	G11	0,507	0,56	0,053			C6	0,364	0,672	0,308	
	H11	0,595	0,684	0,089			D6	0,36	0,352	-0,008	
Hg ²⁺	A12	0,702	0,819	0,117	10,0 mM	Mn ²⁺	E6	0,386	0,382	-0,004	
	B12	0,639	0,783	0,144			F6	0,399	0,605	0,206	
	C12	0,595	0,705	0,11			G6	0,443	0,839	0,396	
	D12	0,492	0,622	0,13			H6	0,384	0,652	0,268	

							Andre storskala forsøk					
							Ion	Id	a _f	a _e	a _e -a _f	[M]/mrk
Mg ²⁺	A7	0,494	0,761	0,267	62,2 mM		Al ³⁺	A1	0,405	0,751	0,346	0,20 mM
	B7	0,331	0,598	0,267				B1	0,363	0,683	0,32	
	C7	0,366	0,647	0,281				C1	0,368	0,431	0,063	
	D7	0,368	0,358	-0,01				D1	0,382	0,646	0,264	
Mn ²⁺	E7	0,474	0,395	-0,079			A2	E1	0,436	0,772	0,336	
	F7	0,398	0,649	0,251				F1	0,357	0,359	0,002	
	G7	0,458	0,823	0,365				G1	0,39	0,729	0,339	
	H7	0,423	0,785	0,362				H1	0,397	0,551	0,154	
Mg ²⁺	A8	0,418	0,681	0,263	104 mM		A2	E2	0,445	0,794	0,349	0,33 mM
	B8	0,37	0,6	0,23				F2	0,396	0,384	-0,01	
	C8	0,375	0,634	0,259				G2	0,395	0,626	0,231	
	D8	0,362	0,364	0,002				H2	0,374	0,424	0,05	
Mn ²⁺	E8	0,439	0,418	-0,021			A3	E3	0,422	0,724	0,302	0,56 mM
	F8	0,433	0,623	0,19				B3	0,463	0,547	0,084	
	G8	0,461	0,796	0,335				C3	0,398	0,425	0,027	
	H8	0,408	0,645	0,237				D3	0,422	0,528	0,106	
Mg ²⁺	A9	0,439	0,661	0,222	173 mM		A3	E4	0,461	0,584	0,123	
	B9	0,344	0,549	0,205				F3	0,389	0,424	0,035	
	C9	0,393	0,597	0,204				G3	0,408	0,449	0,041	
	D9	0,366	0,353	-0,013				H3	0,409	0,37	-0,04	
Mn ²⁺	E9	0,415	0,383	-0,032			A4	E5	0,449	0,925	0,476	0,0 mM
	F9	0,453	0,588	0,135				B4	0,482	0,905	0,423	
	G9	0,453	0,737	0,284				C4	0,439	0,439	0,0	
	H9	0,456	0,731	0,275				D4	0,426	0,871	0,445	
Mg ²⁺	A10	0,502	0,699	0,197	288 mM		A4	E6	0,45	0,9	0,45	
	B10	0,333	0,512	0,179				F4	0,383	0,409	0,026	
	C10	0,345	0,548	0,203				G4	0,454	0,85	0,396	
	D10	0,363	0,337	-0,026				H4	0,423	0,657	0,234	
Mn ²⁺	E10	0,452	0,43	-0,022			A5	E7	0,407	0,447	0,04	0,93 mM
	F10	0,413	0,437	0,024				B5	0,404	0,541	0,137	
	G10	0,465	0,636	0,171				C5	0,399	0,435	0,036	
	H10	0,421	0,506	0,085				D5	0,446	0,511	0,065	
Mg ²⁺	A11	0,519	0,656	0,137	480 mM		A5	E8	0,45	0,9	0,45	
	B11	0,393	0,509	0,116				F6	0,383	0,409	0,026	
	C11	0,383	0,514	0,131				G4	0,454	0,85	0,396	
	D11	0,401	0,399	-0,002				H4	0,423	0,657	0,234	
Mn ²⁺	E11	0,417	0,395	-0,022			A6	E9	0,407	0,447	0,04	1,60 mM
	F11	0,499	0,488	-0,011				B5	0,404	0,541	0,137	
	G11	0,531	0,561	0,03				C5	0,399	0,435	0,036	
	H11	0,493	0,492	-0,001				D5	0,446	0,511	0,065	
Mg ²⁺	A12	0,462	0,543	0,081	800 mM		A6	E10	0,467	0,57	0,103	
	B12	0,356	0,412	0,056				F5	0,419	0,415	0,0	
	C12	0,373	0,445	0,072				G5	0,41	0,447	0,037	
	D12	0,347	0,353	0,006				H5	0,399	0,402	0,003	
Mn ²⁺	E12	0,376	0,37	-0,006			A7	E12	0,419	0,468	0,049	1,60 mM
	F12	0,398	0,412	0,014				B6	0,407	0,439	0,032	
	G12	0,434	0,469	0,035				C6	0,409	0,448	0,039	
	H12	0,417	0,444	0,027				D6	0,412	0,438	0,026	
								E6	0,439	0,446	0,007	
								F6	0,368	0,39	0,022	
								G6	0,381	0,392	0,011	
								H6	0,403	0,389	-0,01	

A7	0,386	0,723	0,337	0,33 mM	E1	0,436	0,615	0,179	
B7	0,345	0,752	0,407		F1	0,371	0,413	0,042	
C7	0,379	0,389	0,01		G1	0,368	0,456	0,088	
D7	0,45	0,83	0,38		H1	0,433	0,667	0,234	
E7	0,517	0,725	0,208		A2	0,433	0,485	0,052	
F7	0,399	0,407	0,008		B2	0,559	0,692	0,133	
G7	0,407	0,546	0,139		C2	0,428	0,524	0,096	
H7	0,391	0,414	0,023		D2	0,476	0,509	0,033	
A8	0,407	0,452	0,045	0,93 mM	E2	0,471	0,499	0,028	
B8	0,381	0,456	0,075		F2	0,437	0,464	0,027	
C8	0,4	0,41	0,01		G2	0,45	0,504	0,054	
D8	0,462	0,456	-0,01		H2	0,485	0,611	0,126	
E8	0,491	0,498	0,007		A3	0,369	0,607	0,238	
F8	0,42	0,416	0,0		B3	0,49	0,754	0,264	
G8	0,391	0,417	0,026		C3	0,394	0,498	0,104	
H8	0,416	0,418	0,002		D3	0,409	0,497	0,088	
A9	0,413	0,463	0,05	1,60 mM	E3	0,432	0,658	0,226	
B9	0,388	0,444	0,056		F3	0,378	0,44	0,062	
C9	0,393	0,421	0,028		G3	0,373	0,468	0,095	
D9	0,458	0,445	-0,01		H3	0,442	0,742	0,3	
E9	0,424	0,447	0,023		A4	0,418	0,536	0,118	
F9	0,399	0,412	0,013		B4	0,507	0,668	0,161	
G9	0,398	0,408	0,01		C4	0,416	0,526	0,11	
H9	0,454	0,464	0,01		D4	0,415	0,473	0,058	
A10	0,421	0,56	0,139	0,56 mM	E4	0,452	0,544	0,092	
B10	0,415	0,462	0,047		F4	0,413	0,451	0,038	
C10	0,402	0,4	0,0		G4	0,441	0,55	0,109	
D10	0,465	0,689	0,224		H4	0,478	0,735	0,257	
E10	0,478	0,494	0,016		A5	0,478	0,531	0,053	
F10	0,422	0,41	-0,01		B5	0,574	0,673	0,099	
G10	0,387	0,389	0,002		C5	0,479	0,561	0,082	
H10	0,436	0,41	-0,03		D5	0,476	0,52	0,044	
A11	0,388	0,692	0,304	0,20 mM	E5	0,504	0,523	0,019	
B11	0,356	0,653	0,297		F5	0,452	0,495	0,043	
C11	0,363	0,389	0,026		G5	0,489	0,562	0,073	
D11	0,448	0,804	0,356		H5	0,542	0,722	0,18	
E11	0,479	0,729	0,25		A6	0,388	0,754	0,366	
F11	0,366	0,38	0,014		B6	0,45	0,88	0,43	
G11	0,406	0,662	0,256		C6	0,364	0,467	0,103	
H11	0,405	0,652	0,247		D6	0,372	0,659	0,287	
A12	0,445	0,707	0,262	0,0 mM	E6	0,394	0,674	0,28	
B12	0,366	0,673	0,307		F6	0,335	0,406	0,071	
C12	0,352	0,436	0,084		G6	0,342	0,814	0,472	
D12	0,409	0,815	0,406		H6	0,425	1,003	0,578	
E12	0,567	0,982	0,415		A7	0,416	0,664	0,248	
F12	0,32	0,375	0,055		B7	0,443	0,702	0,259	
G12	0,372	0,664	0,292		C7	0,385	0,498	0,113	
H12	0,412	0,736	0,324		D7	0,397	0,486	0,089	
HAsO ₄ ²⁻	A1	0,361	0,405	0,044	2,6 mM	E7	0,432	0,542	0,11
	B1	0,445	0,681	0,236		F7	0,405	0,457	0,052
	C1	0,371	0,459	0,088		G7	0,427	0,635	0,208
	D1	0,398	0,589	0,191		H7	0,465	0,794	0,329

A8	0,427	0,722	0,295	1,6 mM	E2	0,42	0,528	0,108	
B8	0,424	0,685	0,261		F2	0,382	0,421	0,039	
C8	0,372	0,483	0,111		G2	0,383	0,556	0,173	
D8	0,383	0,563	0,18		H2	0,441	0,801	0,36	
E8	0,433	0,499	0,066		A3	0,389	0,825	0,436	
F8	0,406	0,451	0,045		B3	0,385	0,687	0,302	
G8	0,45	0,661	0,211		C3	0,387	0,434	0,047	
H8	0,556	0,844	0,288		D3	0,462	0,95	0,488	
A9	0,491	0,643	0,152	7,2 mM	E3	0,439	0,723	0,284	
B9	0,47	0,601	0,131		F3	0,39	0,414	0,024	
C9	0,439	0,509	0,07		G3	0,404	0,734	0,33	
D9	0,449	0,476	0,027		H3	0,406	0,881	0,475	
E9	0,489	0,494	0,005		A4	0,414	0,486	0,072	
F9	0,453	0,486	0,033		B4	0,412	0,432	0,02	
G9	0,486	0,576	0,09		C4	0,399	0,437	0,038	
H9	0,539	0,785	0,246		D4	0,479	0,827	0,348	
A10	0,558	0,595	0,037	12,0 mM	E4	0,426	0,466	0,04	
B10	0,507	0,552	0,045		F4	0,398	0,428	0,03	
C10	0,47	0,541	0,071		G4	0,405	0,54	0,135	
D10	0,466	0,547	0,081		H4	0,457	0,781	0,324	
E10	0,525	0,541	0,016		A5	0,399	0,41	0,011	
F10	0,49	0,517	0,027		B5	0,403	0,426	0,023	
G10	0,532	0,565	0,033		C5	0,391	0,421	0,03	
H10	0,544	0,719	0,175		D5	0,477	0,499	0,022	
A11	0,45	0,922	0,472	0,0 mM	E5	0,428	0,452	0,024	
B11	0,372	0,783	0,411		F5	0,399	0,441	0,042	
C11	0,352	0,446	0,094		G5	0,372	0,452	0,08	
D11	0,418	0,888	0,47		H5	0,516	0,712	0,196	
E11	0,416	0,713	0,297		A6	0,402	0,427	0,025	
F11	0,313	0,427	0,114		B6	0,443	0,431	-0,012	
G11	0,395	0,826	0,431		C6	0,384	0,421	0,037	
H11	0,511	0,871	0,36		D6	0,479	0,706	0,227	
A12	0,552	0,71	0,158	4,3 mM	E6	0,425	0,441	0,016	
B12	0,455	0,478	0,023		F6	0,401	0,429	0,028	
C12	0,409	0,439	0,03		G6	0,426	0,512	0,086	
D12	0,465	0,562	0,097		H6	0,487	0,767	0,28	
E12	0,432	0,469	0,037		A7	0,392	0,378	-0,014	
F12	0,423	0,434	0,011		B7	0,418	0,496	0,078	
G12	0,457	0,615	0,158		C7	0,382	0,385	0,003	
H12	0,525	0,676	0,151		D7	0,493	0,792	0,299	
Be ²⁺	A1	0,431	0,489	0,058	7,2 mM	E7	0,426	0,488	0,062
	B1	0,357	0,385	0,028		F7	0,41	0,445	0,035
	C1	0,352	0,419	0,067		G7	0,415	0,704	0,289
	D1	0,463	0,669	0,206		H7	0,462	0,785	0,323
	E1	0,43	0,44	0,01		A8	0,376	0,363	-0,013
	F1	0,38	0,397	0,017		B8	0,41	0,403	-0,007
	G1	0,357	0,423	0,066		C8	0,388	0,391	0,003
	H1	0,432	0,686	0,254		D8	0,467	0,491	0,024
	A2	0,427	0,724	0,297	1,6 mM	E8	0,434	0,428	-0,006
	B2	0,402	0,511	0,109		F8	0,416	0,448	0,032
	C2	0,384	0,442	0,058		G8	0,44	0,497	0,057
	D2	0,484	0,826	0,342		H8	0,374	0,432	0,058

A9	0,371	0,376	0,005	12,0 mM	E3	0,461	0,55	0,089	
B9	0,431	0,415	-0,016		F3	0,389	0,398	0,009	
C9	0,39	0,41	0,02		G3	0,408	0,616	0,208	
D9	0,469	0,467	-0,002		H3	0,409	0,453	0,044	
E9	0,451	0,447	-0,004		A4	0,449	0,869	0,42	
F9	0,43	0,451	0,021		B4	0,482	0,916	0,434	
G9	0,445	0,499	0,054		C4	0,439	0,421	-0,018	
H9	0,386	0,434	0,048		D4	0,426	0,909	0,483	
A10	0,428	0,541	0,113	1,6 mM	E4	0,45	0,837	0,387	
B10	0,441	0,764	0,323		F4	0,383	0,396	0,013	
C10	0,388	0,39	0,002		G4	0,454	0,915	0,461	
D10	0,473	0,708	0,235		H4	0,423	0,85	0,427	
E10	0,427	0,443	0,016		A5	0,407	0,427	0,02	
F10	0,417	0,436	0,019		B5	0,404	0,537	0,133	
G10	0,502	0,761	0,259		C5	0,399	0,384	-0,015	
H10	0,342	0,513	0,171		D5	0,446	0,425	-0,021	
A11	0,363	0,588	0,225	0,0 mM	E5	0,467	0,443	-0,024	
B11	0,395	0,845	0,45		F5	0,419	0,385	-0,034	
C11	0,365	0,401	0,036		G5	0,41	0,461	0,051	
D11	0,408	0,807	0,399		H5	0,399	0,413	0,014	
E11	0,402	0,675	0,273		A6	0,419	0,447	0,028	
F11	0,37	0,42	0,05		B6	0,407	0,456	0,049	
G11	0,422	0,894	0,472		C6	0,409	0,426	0,017	
H11	0,423	0,837	0,414		D6	0,412	0,432	0,02	
A12	0,438	0,426	-0,012	4,3 mM	E6	0,439	0,451	0,012	
B12	0,467	0,723	0,256		F6	0,368	0,407	0,039	
C12	0,405	0,423	0,018		G6	0,381	0,415	0,034	
D12	0,444	0,482	0,038		H6	0,403	0,416	0,013	
E12	0,409	0,438	0,029		A7	0,386	0,645	0,259	
F12	0,388	0,413	0,025		B7	0,345	0,647	0,302	
G12	0,506	0,764	0,258		C7	0,379	0,347	-0,032	
H12	0,505	0,617	0,112		D7	0,45	0,642	0,192	
Pb^{2+}	A1	0,405	0,676	0,271	0,20 mM	E7	0,517	0,68	0,163
	B1	0,363	0,693	0,33		F7	0,399	0,389	-0,01
	C1	0,368	0,388	0,02		G7	0,407	0,664	0,257
	D1	0,382	0,699	0,317		H7	0,391	0,657	0,266
	E1	0,436	0,632	0,196		A8	0,407	0,635	0,228
	F1	0,357	0,362	0,005		B8	0,381	0,569	0,188
	G1	0,39	0,665	0,275		C8	0,4	0,398	-0,002
	H1	0,397	0,598	0,201		D8	0,462	0,608	0,146
	A2	0,526	0,445	-0,081	0,56 mM	E8	0,491	0,456	-0,035
	B2	0,461	0,432	-0,029		F8	0,42	0,404	-0,016
	C2	0,38	0,399	0,019		G8	0,391	0,483	0,092
	D2	0,427	0,425	-0,002		H8	0,416	0,549	0,133
	E2	0,445	0,416	-0,029		A9	0,413	0,883	0,47
	F2	0,396	0,396	0,0		B9	0,388	0,894	0,506
	G2	0,395	0,395	0,0		C9	0,393	0,426	0,033
	H2	0,374	0,396	0,022		D9	0,458	1,032	0,574
	A3	0,422	0,697	0,275	0,33 mM, 1)	E9	0,424	0,894	0,47
	B3	0,463	0,662	0,199		F9	0,399	0,409	0,010
	C3	0,398	0,393	-0,005		G9	0,398	0,916	0,518
	D3	0,422	0,64	0,218		H9	0,454	0,812	0,358

A10	0,421	0,423	0,002	0,93 mM	E4	0,425	0,698	0,273	
B10	0,415	0,427	0,012		F4	0,393	0,484	0,091	
C10	0,402	0,398	-0,004		G4	0,414	0,73	0,316	
D10	0,465	0,568	0,103		H4	0,466	0,916	0,45	
E10	0,478	0,503	0,025		A5	0,434	0,613	0,179	
F10	0,422	0,399	-0,023		B5	0,436	0,721	0,285	
G10	0,387	0,442	0,055		C5	0,418	0,508	0,09	
H10	0,436	0,403	-0,033		D5	0,452	0,761	0,309	
A11	0,388	0,459	0,071	1,60 mM	E5	0,444	0,67	0,226	
B11	0,356	0,404	0,048		F5	0,432	0,487	0,055	
C11	0,363	0,409	0,046		G5	0,393	0,688	0,295	
D11	0,448	0,418	-0,03		H5	0,433	0,771	0,338	
E11	0,479	0,446	-0,033		A6	0,402	0,486	0,084	
F11	0,366	0,399	0,033		B6	0,428	0,485	0,057	
G11	0,406	0,433	0,027		C6	0,566	0,63	0,064	
H11	0,405	0,457	0,052		D6	0,433	0,531	0,098	
A12	0,445	0,515	0,07	0,56 mM	E6	0,458	0,512	0,054	
B12	0,366	0,419	0,053		F6	0,419	0,496	0,077	
C12	0,352	0,406	0,054		G6	0,428	0,618	0,19	
D12	0,409	0,397	-0,012		H6	0,501	0,75	0,249	
E12	0,567	0,432	-0,135		A7	0,446	0,445	-0,001	
F12	0,32	0,382	0,062		B7	0,465	0,477	0,012	
G12	0,372	0,418	0,046		C7	0,458	0,545	0,087	
H12	0,412	0,43	0,018		D7	0,506	0,529	0,023	
Fe ²⁺	A1	0,426	0,445	0,019	0,56 mM	E7	0,501	0,538	0,037
	B1	0,426	0,45	0,024		F7	0,496	0,517	0,021
	C1	0,401	0,49	0,089		G7	0,454	0,525	0,071
	D1	0,474	0,506	0,032		H7	0,494	0,544	0,05
	E1	0,468	0,497	0,029		A8	0,472	0,453	-0,019
	F1	0,424	0,452	0,028		B8	0,481	0,473	-0,008
	G1	0,418	0,457	0,039		C8	0,487	0,547	0,060
	H1	0,471	0,529	0,058		D8	0,518	0,52	0,002
	A2	0,466	0,503	0,037	0,93 mM	E8	0,503	0,522	0,019
	B2	0,489	0,493	0,004		F8	0,5	0,537	0,037
	C2	0,459	0,534	0,075		G8	0,48	0,527	0,047
	D2	0,538	0,558	0,02		H8	0,511	0,532	0,021
	E2	0,521	0,541	0,02		A9	0,386	0,49	0,104
	F2	0,454	0,508	0,054		B9	0,442	0,64	0,198
	G2	0,465	0,501	0,036		C9	0,405	0,496	0,091
	H2	0,527	0,562	0,035		D9	0,46	0,498	0,038
	A3	0,504	0,498	-0,006	1,60 mM	E9	0,426	0,578	0,152
	B3	0,494	0,513	0,019		F9	0,449	0,52	0,071
	C3	0,496	0,596	0,1		G9	0,461	0,713	0,252
	D3	0,53	0,556	0,026		H9	0,45	0,779	0,329
	E3	0,516	0,542	0,026		A10	0,43	0,688	0,258
	F3	0,479	0,532	0,053		B10	0,4	0,758	0,358
	G3	0,468	0,496	0,028		C10	0,379	0,467	0,088
	H3	0,5	0,544	0,044		D10	0,432	0,712	0,28
	A4	0,391	0,742	0,351	0,0 mM	E10	0,388	0,694	0,306
	B4	0,413	0,794	0,381		F10	0,41	0,469	0,059
	C4	0,389	0,488	0,099		G10	0,446	0,77	0,324
	D4	0,424	0,754	0,33		H10	0,479	0,78	0,301

A11	0,441	0,622	0,181	0,20 mM	E5	0,47	0,898	0,428	
B11	0,431	0,773	0,342		F5	0,41	0,42	0,01	
C11	0,398	0,442	0,044		G5	0,43	0,971	0,541	
D11	0,435	0,671	0,236		H5	0,37	0,804	0,434	
E11	0,403	0,692	0,289		A6	0,44	0,479	0,039	
F11	0,425	0,465	0,04		B6	0,48	0,472	-0,008	
G11	0,397	0,817	0,42		C6	0,41	0,417	0,007	
H11	0,429	0,689	0,26		D6	0,54	0,525	-0,015	
A12	0,465	0,467	0,002	0,56 mM	E6	0,83	0,522	-0,308	
B12	0,482	0,478	-0,004		F6	0,41	0,396	-0,014	
C12	0,438	0,462	0,024		G6	0,48	0,491	0,011	
D12	0,47	0,483	0,013		H6	0,4	0,416	0,016	
E12	0,46	0,462	0,002		A7	0,47	0,474	0,004	
F12	0,439	0,469	0,03		B7	0,48	0,473	-0,007	
G12	0,493	0,522	0,029		C7	0,41	0,421	0,011	
H12	0,473	0,466	-0,007		D7	0,48	0,49	0,01	
Fe ³⁺	A1	0,38	0,782	0,402	0,20 mM	E7	0,54	0,514	-0,026
	B1	0,42	0,806	0,386		F7	0,45	0,444	-0,006
	C1	0,34	0,389	0,049		G7	0,49	0,512	0,022
	D1	0,39	0,78	0,39		H7	0,44	0,452	0,012
	E1	0,43	0,753	0,323		A8	0,4	0,71	0,31
	F1	0,41	0,386	-0,024		B8	0,42	0,777	0,357
	G1	0,46	0,674	0,214		C8	0,37	0,377	0,007
	H1	0,4	0,717	0,317		D8	0,44	0,876	0,436
	A2	0,52	0,537	0,017	0,93 mM	E8	0,49	0,733	0,243
	B2	0,55	0,52	-0,03		F8	0,41	0,415	0,005
	C2	0,57	0,514	-0,056		G8	0,47	0,784	0,314
	D2	0,45	0,481	0,031		H8	0,39	0,765	0,375
	E2	0,53	0,512	-0,018		A9	0,42	0,729	0,309
	F2	0,49	0,513	0,023		B9	0,48	0,636	0,156
	G2	0,59	0,569	-0,021		C9	0,39	0,408	0,018
	H2	0,52	0,512	-0,008		D9	0,44	0,648	0,208
	A3	0,43	0,664	0,234	0,33 mM	E9	0,52	0,516	-0,004
	B3	0,43	0,641	0,211		F9	0,42	0,441	0,021
	C3	0,4	0,408	0,008		G9	0,48	0,669	0,189
	D3	0,49	0,576	0,086		H9	0,44	0,735	0,295
	E3	0,6	0,582	-0,018		A10	0,44	0,441	0,001
	F3	0,43	0,412	-0,018		B10	0,45	0,449	-0,001
	G3	0,48	0,499	0,019		C10	0,42	0,424	0,004
	H3	0,44	0,548	0,108		D10	0,47	0,445	-0,025
	A4	0,45	0,468	0,018	1,60 mM	E10	0,52	0,511	-0,009
	B4	0,5	0,507	0,007		F10	0,45	0,483	0,033
	C4	0,43	0,431	0,001		G10	0,49	0,487	-0,003
	D4	0,49	0,517	0,027		H10	0,41	0,423	0,013
	E4	0,59	0,492	-0,098		A11	0,49	0,512	0,022
	F4	0,46	0,473	0,013		B11	0,47	0,531	0,061
	G4	0,52	0,528	0,008		C11	0,43	0,437	0,007
	H4	0,42	0,433	0,013		D11	0,52	0,521	0,001
	A5	0,49	0,97	0,48	0,0 mM	E11	0,59	0,519	-0,071
	B5	0,42	0,895	0,475		F11	0,45	0,447	-0,003
	C5	0,39	0,404	0,014		G11	0,48	0,47	-0,01
	D5	0,42	0,963	0,543		H11	0,42	0,441	0,021

A12	0,46	0,847	0,387	0,0 mM	E6	0,487	0,495	0,008		
B12	0,39	0,885	0,495		F6	0,521	0,485	-0,036	3)	
C12	0,39	0,408	0,018		G6	0,432	0,465	0,033		
D12	0,41	0,826	0,416		H6	0,406	0,412	0,006		
E12	0,46	0,874	0,414		A7	0,376	0,397	0,021	0,04 mM	
F12	0,38	0,38	0,0		B7	0,391	0,387	-0,004		
G12	0,42	0,851	0,431		C7	0,437	0,471	0,034	3)	
H12	0,45	0,812	0,362		D7	0,402	0,41	0,008		
Cd ²⁺	A1	0,364	0,43	0,066	0,04 mM	E7	0,44	0,457	0,017	
	B1	0,382	0,407	0,025		F7	0,5	0,616	0,116	3)
	C1	0,385	0,446	0,061	3)	G7	0,425	0,46	0,035	
	D1	0,456	0,477	0,021		H7	0,45	0,398	-0,052	
	E1	0,411	0,416	0,005		A8	0,448	0,452	0,004	0,07 mM
	F1	0,407	0,443	0,036	3)	B8	0,429	0,43	0,001	
	G1	0,412	0,526	0,114		C8	0,437	0,434	-0,003	3)
	H1	0,366	0,412	0,046		D8	0,407	0,404	-0,003	
	A2	0,432	0,444	0,012	0,07 mM	E8	0,45	0,451	0,001	
	B2	0,44	0,468	0,028		F8	0,501	0,508	0,007	3)
	C2	0,522	0,573	0,051	3)	G8	0,416	0,432	0,016	
	D2	0,548	0,521	-0,027		H8	0,378	0,377	-0,001	
	E2	0,425	0,441	0,016		A9	0,45	0,614	0,164	0,03 mM
	F2	0,466	0,482	0,016	3)	B9	0,428	0,422	-0,006	
	G2	0,44	0,464	0,024		C9	0,47	0,648	0,178	3)
	H2	0,394	0,427	0,033		D9	0,399	0,405	0,006	
	A3	0,41	0,951	0,541	0,0 mM	E9	0,507	0,471	-0,036	
	B3	0,393	0,854	0,461		F9	0,528	0,634	0,106	3)
	C3	0,442	0,951	0,509	3)	G9	0,415	0,425	0,01	
	D3	0,449	0,978	0,529		H9	0,396	0,399	0,003	
	E3	0,411	0,643	0,232		A10	0,367	0,851	0,484	0,0 mM
	F3	0,459	0,874	0,415	3)	B10	0,399	0,613	0,214	
	G3	0,44	0,896	0,456		C10	0,442	0,921	0,479	3)
	H3	0,357	0,787	0,43		D10	0,395	0,656	0,261	
	A4	0,373	0,488	0,115	0,03 mM	E10	0,453	0,693	0,24	
	B4	0,412	0,425	0,013		F10	0,515	1,016	0,501	3)
	C4	0,451	0,587	0,136	3)	G10	0,409	0,716	0,307	
	D4	0,445	0,486	0,041		H10	0,405	0,681	0,276	
	E4	0,458	0,468	0,01		A11	0,5	0,484	-0,016	0,12 mM
	F4	0,454	0,573	0,119	3)	B11	0,449	0,445	-0,004	
	G4	0,496	0,611	0,115		C11	0,522	0,571	0,049	3)
	H4	0,378	0,41	0,032		D11	0,405	0,394	-0,011	
	A5	0,437	0,441	0,004	0,12 mM	E11	0,476	0,472	-0,004	
	B5	0,409	0,404	-0,005		F11	0,49	0,586	0,096	3)
	C5	0,642	0,523	-0,119	3)	G11	0,458	0,43	-0,028	
	D5	0,449	0,433	-0,016		H11	0,462	0,46	-0,002	
	E5	0,432	0,433	0,001		A12	0,44	0,431	-0,009	0,20 mM
	F5	0,522	0,513	-0,009	3)	B12	0,406	0,399	-0,007	
	G5	0,516	0,503	-0,013		C12	0,42	0,435	0,015	3)
	H5	0,389	0,398	0,009		D12	0,405	0,389	-0,016	
	A6	0,408	0,376	-0,032	0,20 mM	E12	0,451	0,46	0,009	
	B6	0,398	0,378	-0,02		F12	0,455	0,439	-0,016	3)
	C6	0,455	0,444	-0,011	3)	G12	0,485	0,427	-0,058	
	D6	0,435	0,429	-0,006		H12	0,413	0,44	0,027	

Cu ²⁺	A1	0,366	0,389	0,023	0,56 mM		E7	0,485	0,494	0,009	
B1	0,41	0,418	0,008				F7	0,42	0,424	0,004	
C1	0,365	0,378	0,013				G7	0,457	0,457	0,0	
D1	0,377	0,398	0,021				H7	0,434	0,442	0,008	
E1	0,435	0,428	-0,007				A8	0,405	0,873	0,468	0,0 mM
F1	0,377	0,385	0,008				B8	0,422	0,911	0,489	
G1	0,414	0,423	0,009				C8	0,416	0,448	0,032	
H1	0,412	0,419	0,007				D8	0,507	0,677	0,17	
A2	0,428	0,425	-0,003	1,60 mM			E8	0,453	0,744	0,291	
B2	0,502	0,499	-0,003				F8	0,433	0,446	0,013	
C2	0,419	0,442	0,023				G8	0,42	0,857	0,437	
D2	0,436	0,44	0,004				H8	0,486	0,89	0,404	
E2	0,45	0,466	0,016				A9	0,391	0,709	0,318	0,33 mM
F2	0,431	0,436	0,005				B9	0,406	0,521	0,115	
G2	0,433	0,45	0,017				C9	0,401	0,413	0,012	
H2	0,466	0,467	0,001				D9	0,397	0,454	0,057	
A3	0,38	0,672	0,292	0,33 mM			E9	0,475	0,485	0,01	
B3	0,415	0,821	0,406				F9	0,408	0,416	0,008	
C3	0,382	0,423	0,041				G9	0,433	0,456	0,023	
D3	0,447	0,485	0,038				H9	0,446	0,55	0,104	
E3	0,457	0,469	0,012				A10	0,391	0,818	0,427	0,20 mM
F3	0,406	0,412	0,006				B10	0,397	0,943	0,546	
G3	0,431	0,449	0,018				C10	0,374	0,404	0,03	
H3	0,402	0,408	0,006				D10	0,376	0,638	0,262	
A4	0,406	0,906	0,5	0,20 mM			E10	0,455	0,752	0,297	
B4	0,402	0,808	0,406				F10	0,423	0,428	0,005	
C4	0,387	0,42	0,033				G10	0,454	0,74	0,286	
D4	0,435	0,768	0,333				H10	0,411	0,775	0,364	
E4	0,461	0,56	0,099				A11	0,449	0,452	0,003	0,56 mM
F4	0,42	0,423	0,003				B11	0,428	0,417	-0,011	
G4	0,444	0,617	0,173				C11	0,376	0,419	0,043	
H4	0,46	0,699	0,239				D11	0,397	0,4	0,003	
A5	0,444	0,443	-0,001	0,93 mM			E11	0,47	0,458	-0,012	
B5	0,399	0,401	0,002				F11	0,424	0,42	-0,004	
C5	0,397	0,405	0,008				G11	0,437	0,433	-0,004	
D5	0,439	0,437	-0,002				H11	0,427	0,428	0,001	
E5	0,494	0,491	-0,003				A12	0,46	0,467	0,007	1,60 mM
F5	0,42	0,425	0,005				B12	0,408	0,435	0,027	
G5	0,457	0,47	0,013				C12	0,386	0,406	0,02	
H5	0,436	0,446	0,01				D12	0,427	0,432	0,005	
A6	0,383	0,861	0,478	0,0 mM			E12	0,461	0,458	-0,003	
B6	0,515	0,906	0,391				F12	0,413	0,423	0,01	
C6	0,413	0,45	0,037				G12	0,456	0,48	0,024	
D6	0,422	0,8	0,378				H12	0,451	0,469	0,018	
E6	0,456	0,843	0,387			Cr ³⁺	A1	0,408	0,474	0,066	0,93 mM
F6	0,417	0,43	0,013				B1	0,454	0,499	0,045	
G6	0,413	0,957	0,544				C1	0,386	0,478	0,092	
H6	0,494	0,87	0,376				D1	0,415	0,47	0,055	
A7	0,4	0,425	0,025	0,93 mM			E1	0,479	0,482	0,003	
B7	0,444	0,48	0,036				F1	0,416	0,448	0,032	
C7	0,41	0,407	-0,003				G1	0,43	0,496	0,066	
D7	0,401	0,396	-0,005				H1	0,439	0,502	0,063	

A2	0,387	0,705	0,318	0,33 mM		E8	0,541	0,56	0,019
B2	0,431	0,743	0,312			F8	0,476	0,518	0,042
C2	0,407	0,438	0,031			G8	0,448	0,479	0,031
D2	0,424	0,552	0,128			H8	0,455	0,501	0,046
E2	0,481	0,713	0,232			A9	0,398	0,822	0,424
F2	0,386	0,403	0,017			B9	0,401	0,744	0,343
G2	0,415	0,722	0,307			C9	0,412	0,501	0,089
H2	0,453	0,771	0,318			D9	0,386	0,92	0,534
A3	0,369	0,77	0,401	0,20 mM		E9	0,477	0,851	0,374
B3	0,442	0,798	0,356			F9	0,384	0,415	0,031
C3	0,38	0,408	0,028			G9	0,388	0,764	0,376
D3	0,432	0,721	0,289			H9	0,402	0,871	0,469
E3	0,466	0,756	0,29			A10	0,478	0,778	0,3
F3	0,406	0,407	0,001			B10	0,451	0,689	0,238
G3	0,413	0,753	0,34			C10	0,379	0,426	0,047
H3	0,398	0,748	0,35			D10	0,462	0,732	0,27
A4	0,427	0,596	0,169	0,56 mM		E10	0,492	0,696	0,204
B4	0,466	0,625	0,159			F10	0,43	0,447	0,017
C4	0,412	0,439	0,027			G10	0,417	0,581	0,164
D4	0,447	0,456	0,009			H10	0,456	0,689	0,233
E4	0,493	0,488	-0,005			A11	0,434	0,829	0,395
F4	0,402	0,424	0,022			B11	0,404	0,735	0,331
G4	0,476	0,46	-0,016			C11	0,359	0,425	0,066
H4	0,504	0,503	-0,001			D11	0,453	0,787	0,334
A5	0,463	0,548	0,085	1,60 mM		E11	0,471	0,814	0,343
B5	0,487	0,55	0,063			F11	0,412	0,428	0,016
C5	0,546	0,54	-0,006			G11	0,396	0,744	0,348
D5	0,455	0,547	0,092			H11	0,439	0,798	0,359
E5	0,581	0,58	-0,001			A12	0,513	0,658	0,145
F5	0,444	0,524	0,08			B12	0,426	0,524	0,098
G5	0,46	0,552	0,092			C12	0,406	0,441	0,035
H5	0,477	0,545	0,068			D12	0,481	0,512	0,031
A6	0,407	0,956	0,549	0,0 mM		E12	0,512	0,498	-0,014
B6	0,424	0,901	0,477			F12	0,414	0,432	0,018
C6	0,365	0,4	0,035			G12	0,449	0,468	0,019
D6	0,41	0,885	0,475			H12	0,489	0,566	0,077
E6	0,459	0,94	0,481		Hg_2^{2+}	A1	0,365	0,606	0,241
F6	0,395	0,401	0,006			B1	0,36	0,421	0,061
G6	0,401	0,924	0,523			C1	0,346	0,396	0,05
H6	0,541	0,977	0,436			D1	0,416	0,518	0,102
A7	0,455	0,551	0,096	1,60 mM		E1	0,448	0,64	0,192
B7	0,47	0,571	0,101			F1	0,362	0,371	0,009
C7	0,429	0,535	0,106			G1	0,402	0,627	0,225
D7	0,443	0,521	0,078			H1	0,458	0,633	0,175
E7	0,665	0,584	-0,081			A2	0,395	0,75	0,355
F7	0,435	0,539	0,104			B2	0,462	0,851	0,389
G7	0,462	0,566	0,104			C2	0,385	0,412	0,027
H7	0,485	0,595	0,11			D2	0,445	0,891	0,446
A8	0,465	0,528	0,063	0,93 mM		E2	0,458	0,832	0,374
B8	0,453	0,514	0,061			F2	0,388	0,402	0,014
C8	0,417	0,474	0,057			G2	0,41	0,769	0,359
D8	0,427	0,495	0,068			H2	0,379	0,789	0,41

A3	0,379	0,671	0,292	0,04 mM		E9	0,441	0,789	0,348	
B3	0,459	0,672	0,213			F9	0,404	0,421	0,017	
C3	0,378	0,406	0,028			G9	0,429	0,883	0,454	
D3	0,426	0,759	0,333			H9	0,402	0,774	0,372	
E3	0,453	0,732	0,279			A10	0,387	0,572	0,185	0,07 mM
F3	0,402	0,416	0,014			B10	0,392	0,59	0,198	
G3	0,396	0,73	0,334			C10	0,386	0,417	0,031	
H3	0,399	0,724	0,325			D10	0,445	0,744	0,299	
A4	0,372	0,663	0,291	0,03 mM		E10	0,426	0,652	0,226	
B4	0,407	0,795	0,388			F10	0,457	0,469	0,012	
C4	0,358	0,404	0,046			G10	0,424	0,735	0,311	
D4	0,439	0,81	0,371			H10	0,468	0,701	0,233	
E4	0,472	0,854	0,382			A11	0,441	0,675	0,234	0,04 mM
F4	0,385	0,397	0,012			B11	0,405	0,59	0,185	
G4	0,443	0,804	0,361			C11	0,361	0,414	0,053	
H4	0,405	0,774	0,369			D11	0,472	0,874	0,402	
A5	0,381	0,615	0,234	0,07 mM		E11	0,441	0,63	0,189	
B5	0,432	0,627	0,195			F11	0,405	0,416	0,011	
C5	0,377	0,409	0,032			G11	0,421	0,786	0,365	
D5	0,447	0,69	0,243			H11	0,383	0,657	0,274	
E5	0,434	0,704	0,27			A12	0,392	0,403	0,011	0,20 mM
F5	0,403	0,426	0,023			B12	0,385	0,411	0,026	
G5	0,391	0,639	0,248			C12	0,346	0,39	0,044	
H5	0,42	0,693	0,273			D12	0,42	0,447	0,027	
A6	0,376	0,409	0,033	0,20 mM		E12	0,416	0,436	0,02	
B6	0,402	0,429	0,027			F12	0,359	0,406	0,047	
C6	0,371	0,411	0,04			G12	0,419	0,447	0,028	
D6	0,45	0,466	0,016			H12	0,429	0,429	0,0	
E6	0,447	0,449	0,002		Hg ²⁺	A1	0,405	0,731	0,326	0,04 mM
F6	0,386	0,41	0,024			B1	0,397	0,672	0,275	
G6	0,401	0,429	0,028			C1	0,377	0,391	0,014	
H6	0,406	0,424	0,018			D1	0,384	0,634	0,25	
A7	0,4	0,551	0,151	0,12 mM		E1	0,45	0,756	0,306	
B7	0,429	0,476	0,047			F1	0,36	0,386	0,026	
C7	0,35	0,398	0,048			G1	0,37	0,626	0,256	
D7	0,458	0,619	0,161			H1	0,357	0,59	0,233	
E7	0,471	0,602	0,131			A2	0,492	0,882	0,39	0,0 mM
F7	0,438	0,425	-0,013			B2	0,431	0,8	0,369	
G7	0,425	0,742	0,317			C2	0,387	0,402	0,015	
H7	0,408	0,566	0,158			D2	0,434	0,846	0,412	
A8	0,463	0,676	0,213	0,03 mM		E2	0,462	0,846	0,384	
B8	0,454	0,712	0,258			F2	0,38	0,41	0,03	
C8	0,394	0,425	0,031			G2	0,403	0,832	0,429	
D8	0,457	0,798	0,341			H2	0,421	0,793	0,372	
E8	0,432	0,777	0,345			A3	0,412	0,546	0,134	0,12 mM
F8	0,434	0,441	0,007			B3	0,408	0,488	0,08	
G8	0,451	0,902	0,451			C3	0,358	0,376	0,018	
H8	0,479	0,797	0,318			D3	0,443	0,485	0,042	
A9	0,39	0,685	0,295	0,0 mM		E3	0,448	0,495	0,047	
B9	0,428	0,728	0,3			F3	0,375	0,393	0,018	
C9	0,378	0,408	0,03			G3	0,419	0,454	0,035	
D9	0,452	0,892	0,44			H3	0,389	0,399	0,01	

A4	0,485	0,814	0,329	0,03 mM		E10	0,454	0,789	0,335
B4	0,389	0,839	0,45			F10	0,406	0,421	0,015
C4	0,372	0,405	0,033			G10	0,408	0,781	0,373
D4	0,419	0,709	0,29			H10	0,398	0,756	0,358
E4	0,465	0,913	0,448			A11	0,393	0,413	0,02
F4	0,394	0,406	0,012			B11	0,398	0,411	0,013
G4	0,422	0,819	0,397			C11	0,357	0,385	0,028
H4	0,393	0,718	0,325			D11	0,429	0,425	-0,004
A5	0,449	0,457	0,008	0,20 mM		E11	0,45	0,461	0,011
B5	0,398	0,42	0,022			F11	0,406	0,435	0,029
C5	0,356	0,384	0,028			G11	0,415	0,424	0,009
D5	0,411	0,417	0,006			H11	0,468	0,47	0,002
E5	0,483	0,48	-0,003			A12	0,436	0,519	0,083
F5	0,408	0,41	0,002			B12	0,417	0,416	-0,001
G5	0,39	0,392	0,002			C12	0,368	0,396	0,028
H5	0,376	0,396	0,02			D12	0,422	0,522	0,1
A6	0,394	0,631	0,237	0,07 mM		E12	0,457	0,433	-0,024
B6	0,393	0,616	0,223			F12	0,374	0,392	0,018
C6	0,342	0,386	0,044			G12	0,386	0,419	0,033
D6	0,452	0,618	0,166			H12	0,468	0,447	-0,021
E6	0,469	0,682	0,213		Mg ²⁺	A1	0,39	0,655	0,265
F6	0,41	0,413	0,003			B1	0,42	0,751	0,331
G6	0,394	0,65	0,256			C1	0,39	0,389	-0,001
H6	0,408	0,57	0,162			D1	0,39	0,691	0,301
A7	0,377	0,649	0,272	0,04 mM		E1	0,38	0,568	0,188
B7	0,369	0,637	0,268			F1	0,38	0,397	0,017
C7	0,343	0,369	0,026			G1	0,42	0,789	0,369
D7	0,462	0,769	0,307			H1	0,33	0,468	0,138
E7	0,445	0,726	0,281			A2	0,43	0,78	0,35
F7	0,4	0,407	0,007			B2	0,48	0,928	0,448
G7	0,449	0,732	0,283			C2	0,4	0,424	0,024
H7	0,391	0,657	0,266			D2	0,42	0,777	0,357
A8	0,399	0,595	0,196	0,07 mM		E2	0,43	0,734	0,304
B8	0,365	0,63	0,265			F2	0,39	0,403	0,013
C8	0,377	0,379	0,002			G2	0,45	0,935	0,485
D8	0,428	0,584	0,156			H2	0,35	0,612	0,262
E8	0,462	0,657	0,195			A3	0,42	0,644	0,224
F8	0,429	0,463	0,034			B3	0,44	0,722	0,282
G8	0,407	0,613	0,206			C3	0,44	0,498	0,058
H8	0,428	0,637	0,209			D3	0,4	0,597	0,197
A9	0,417	0,71	0,293	0,0 mM		E3	0,41	0,571	0,161
B9	0,414	0,815	0,401			F3	0,41	0,403	-0,007
C9	0,322	0,376	0,054			G3	0,42	0,737	0,317
D9	0,48	0,864	0,384			H3	0,39	0,525	0,135
E9	0,488	0,898	0,41			A4	0,42	0,442	0,022
F9	0,43	0,444	0,014			B4	0,44	0,467	0,027
G9	0,399	0,854	0,455			C4	0,39	0,407	0,017
H9	0,402	0,833	0,431			D4	0,37	0,356	-0,014
A10	0,397	0,774	0,377	0,03 mM		E4	0,4	0,383	-0,017
B10	0,366	0,723	0,357			F4	0,41	0,451	0,041
C10	0,341	0,389	0,048			G4	0,39	0,412	0,022
D10	0,484	0,838	0,354			H4	0,35	0,37	0,02

A5	0,42	0,506	0,086	600 mM		E11	0,48	0,71	0,23	
B5	0,44	0,584	0,144			F11	0,43	0,407	-0,023	
C5	0,41	0,492	0,082			G11	0,41	0,597	0,187	
D5	0,36	0,391	0,031			H11	0,37	0,524	0,154	
E5	0,43	0,458	0,028			A12	0,45	0,499	0,049	1000 mM
F5	0,39	0,385	-0,005			B12	0,37	0,376	0,006	
G5	0,4	0,554	0,154			C12	0,37	0,394	0,024	
H5	0,36	0,388	0,028			D12	0,38	0,379	-0,001	
A6	0,42	0,619	0,199	360 mM		E12	0,44	0,494	0,054	
B6	0,41	0,647	0,237			F12	0,41	0,404	-0,006	
C6	0,39	0,41	0,02			G12	0,39	0,398	0,008	
D6	0,36	0,432	0,072			H12	0,46	0,426	-0,034	
E6	0,44	0,558	0,118		Mn ²⁺	A1	0,36	0,654	0,294	130 mM
F6	0,38	0,381	0,001			B1	0,396	0,717	0,321	
G6	0,44	0,679	0,239			C1	0,364	0,404	0,04	
H6	0,36	0,466	0,106			D1	0,347	0,434	0,087	
A7	0,42	0,537	0,117	600 mM		E1	0,393	0,667	0,274	
B7	0,38	0,513	0,133			F1	0,353	0,379	0,026	
C7	0,37	0,391	0,021			G1	0,414	0,791	0,377	
D7	0,4	0,385	-0,015			H1	0,334	0,455	0,121	
E7	0,44	0,5	0,06			A2	0,398	0,432	0,034	360 mM
F7	0,41	0,4	-0,01			B2	0,415	0,457	0,042	
G7	0,43	0,542	0,112			C2	0,349	0,392	0,043	
H7	0,34	0,357	0,017			D2	0,367	0,38	0,013	
A8	0,43	0,881	0,451	0,0 mM		E2	0,431	0,474	0,043	
B8	0,42	0,882	0,462			F2	0,43	0,417	-0,013	
C8	0,39	0,415	0,025			G2	0,445	0,467	0,022	
D8	0,36	0,644	0,284			H2	0,344	0,379	0,035	
E8	0,48	0,911	0,431			A3	0,383	0,414	0,031	600 mM
F8	0,43	0,42	-0,01			B3	0,39	0,407	0,017	
G8	0,39	0,872	0,482			C3	0,36	0,406	0,046	
H8	0,37	0,665	0,295			D3	0,372	0,374	0,002	
A9	0,42	0,676	0,256	220 mM		E3	0,458	0,472	0,014	
B9	0,38	0,596	0,216			F3	0,397	0,415	0,018	
C9	0,37	0,38	0,01			G3	0,438	0,439	0,001	
D9	0,37	0,493	0,123			H3	0,336	0,358	0,022	
E9	0,5	0,765	0,265			A4	0,501	0,939	0,438	0,0 mM
F9	0,4	0,388	-0,012			B4	0,4	0,72	0,32	
G9	0,41	0,67	0,26			C4	0,372	0,418	0,046	
H9	0,39	0,553	0,163			D4	0,385	0,697	0,312	
A10	0,45	0,759	0,309	130 mM		E4	0,526	1,064	0,538	
B10	0,39	0,634	0,244			F4	0,504	0,427	-0,077	
C10	0,38	0,406	0,026			G4	0,508	1,047	0,539	
D10	0,38	0,569	0,189			H4	0,391	0,694	0,303	
E10	0,5	0,784	0,284			A5	0,423	0,679	0,256	220 mM
F10	0,43	0,421	-0,009			B5	0,391	0,423	0,032	
G10	0,39	0,679	0,289			C5	0,362	0,401	0,039	
H10	0,42	0,593	0,173			D5	0,381	0,415	0,034	
A11	0,45	0,694	0,244	360 mM		E5	0,476	0,72	0,244	
B11	0,39	0,535	0,145			F5	0,408	0,404	-0,004	
C11	0,37	0,388	0,018			G5	0,422	0,529	0,107	
D11	0,37	0,426	0,056			H5	0,381	0,397	0,016	

A6	0,407	0,427	0,02	1000 mM		E12	0,455	0,489	0,034
B6	0,384	0,362	-0,022			F12	0,377	0,387	0,01
C6	0,344	0,349	0,005			G12	0,391	0,419	0,028
D6	0,392	0,382	-0,01			H12	0,394	0,422	0,028
E6	0,478	0,454	-0,024		Ni ²⁺	A1	0,378	0,758	0,38
F6	0,393	0,381	-0,012			B1	0,369	0,719	0,35
G6	0,414	0,422	0,008			C1	0,333	0,35	0,017
H6	0,382	0,393	0,011			D1	0,411	0,784	0,373
A7	0,443	1,025	0,582	0,0 mM		E1	0,419	0,74	0,321
B7	0,345	0,664	0,319			F1	0,364	0,356	-0,008
C7	0,329	0,418	0,089			G1	0,371	0,723	0,352
D7	0,403	0,835	0,432			H1	0,395	0,727	0,332
E7	0,519	over		4)		A2	0,406	0,426	0,02
F7	0,374	0,415	0,041			B2	0,395	0,4	0,005
G7	0,45	0,88	0,43			C2	0,386	0,397	0,011
H7	0,418	0,688	0,27			D2	0,445	0,453	0,008
A8	0,419	0,448	0,029	1000 mM		E2	0,457	0,461	0,004
B8	0,407	0,38	-0,027			F2	0,403	0,408	0,005
C8	0,345	0,351	0,006			G2	0,39	0,39	0,0
D8	0,38	0,353	-0,027			H2	0,448	0,439	-0,009
E8	0,495	0,479	-0,016			A3	0,394	0,406	0,012
F8	0,396	0,371	-0,025			B3	0,412	0,412	0,0
G8	0,416	0,393	-0,023			C3	0,384	0,389	0,005
H8	0,346	0,373	0,027			D3	0,438	0,449	0,011
A9	0,406	0,681	0,275	220 mM		E3	0,451	0,447	-0,004
B9	0,327	0,367	0,04			F3	0,402	0,405	0,003
C9	0,355	0,388	0,033			G3	0,399	0,401	0,002
D9	0,4	0,543	0,143			H3	0,432	0,42	-0,012
E9	0,527	0,763	0,236			A4	0,391	0,702	0,311
F9	0,382	0,404	0,022			B4	0,393	0,642	0,249
G9	0,411	0,447	0,036			C4	0,362	0,368	0,006
H9	0,363	0,398	0,035			D4	0,448	0,789	0,341
A10	0,441	0,782	0,341	130 mM		E4	0,443	0,739	0,296
B10	0,338	0,381	0,043			F4	0,391	0,389	-0,002
C10	0,357	0,401	0,044			G4	0,395	0,615	0,22
D10	0,41	0,657	0,247			H4	0,404	0,732	0,328
E10	0,495	0,792	0,297			A5	0,38	0,413	0,033
F10	0,412	0,425	0,013			B5	0,416	0,418	0,002
G10	0,413	0,509	0,096			C5	0,398	0,403	0,005
H10	0,376	0,446	0,07			D5	0,445	0,481	0,036
A11	0,492	0,512	0,02	600 mM		E5	0,44	0,452	0,012
B11	0,336	0,348	0,012			F5	0,389	0,398	0,009
C11	0,343	0,37	0,027			G5	0,427	0,415	-0,012
D11	0,391	0,386	-0,005			H5	0,432	0,469	0,037
E11	0,487	0,484	-0,003			A6	0,366	0,769	0,403
F11	0,375	0,377	0,002			B6	0,395	0,85	0,455
G11	0,408	0,408	0,0			C6	0,373	0,376	0,003
H11	0,372	0,397	0,025			D6	0,446	0,945	0,499
A12	0,461	0,516	0,055	360 mM		E6	0,432	0,801	0,369
B12	0,35	0,387	0,037			F6	0,388	0,391	0,003
C12	0,331	0,379	0,048			G6	0,373	0,728	0,355
D12	0,381	0,438	0,057			H6	0,442	0,855	0,413

A7	0,352	0,361	0,009	0,93 mM	E1	0,414	0,461	0,047	
B7	0,408	0,458	0,05		F1	0,358	0,397	0,039	
C7	0,383	0,393	0,01		G1	0,354	0,44	0,086	
D7	0,441	0,464	0,023		H1	0,377	0,438	0,061	
E7	0,441	0,446	0,005		A2	0,406	0,761	0,355	
F7	0,428	0,421	-0,007		B2	0,42	0,765	0,345	
G7	0,422	0,425	0,003		C2	0,4	0,488	0,088	
H7	0,439	0,442	0,003		D2	0,454	0,898	0,444	
A8	0,36	0,771	0,411	0,0 mM	E2	0,429	0,83	0,401	
B8	0,411	0,891	0,48		F2	0,387	0,418	0,031	
C8	0,375	0,385	0,01		G2	0,393	0,735	0,342	
D8	0,447	0,885	0,438		H2	0,434	0,894	0,46	
E8	0,459	0,784	0,325		A3	0,37	0,454	0,084	
F8	0,396	0,385	-0,011		B3	0,404	0,477	0,073	
G8	0,388	0,92	0,532		C3	0,357	0,497	0,14	
H8	0,413	0,807	0,394		D3	0,468	0,765	0,297	
A9	0,389	0,711	0,322	0,20 mM	E3	0,431	0,707	0,276	
B9	0,446	0,758	0,312		F3	0,373	0,475	0,102	
C9	0,368	0,374	0,006		G3	0,382	0,593	0,211	
D9	0,416	0,799	0,383		H3	0,376	0,684	0,308	
E9	0,424	0,705	0,281		A4	0,373	0,462	0,089	
F9	0,382	0,385	0,003		B4	0,42	0,629	0,209	
G9	0,444	0,768	0,324		C4	0,365	0,482	0,117	
H9	0,417	0,735	0,318		D4	0,463	0,803	0,34	
A10	0,371	0,584	0,213	0,33 mM	E4	0,427	0,672	0,245	
B10	0,42	0,678	0,258		F4	0,387	0,473	0,086	
C10	0,373	0,369	-0,004		G4	0,382	0,637	0,255	
D10	0,512	0,821	0,309		H4	0,394	0,741	0,347	
E10	0,441	0,721	0,28		A5	0,363	0,447	0,084	
F10	0,407	0,405	-0,002		B5	0,412	0,475	0,063	
G10	0,433	0,682	0,249		C5	0,37	0,486	0,116	
H10	0,431	0,775	0,344		D5	0,444	0,604	0,16	
A11	0,386	0,409	0,023	0,56 mM	E5	0,416	0,488	0,072	
B11	0,429	0,454	0,025		F5	0,382	0,494	0,112	
C11	0,365	0,383	0,018		G5	0,391	0,491	0,1	
D11	0,425	0,435	0,01		H5	0,406	0,538	0,132	
E11	0,415	0,428	0,013		A6	0,38	0,444	0,064	
F11	0,4	0,398	-0,002		B6	0,393	0,476	0,083	
G11	0,458	0,454	-0,004		C6	0,362	0,469	0,107	
H11	0,429	0,443	0,014		D6	0,463	0,555	0,092	
A12	0,414	0,416	0,002	1,60 mM	E6	0,401	0,453	0,052	
B12	0,429	0,44	0,011		F6	0,372	0,487	0,115	
C12	0,369	0,386	0,017		G6	0,403	0,482	0,079	
D12	0,4	0,409	0,009		H6	0,416	0,54	0,124	
E12	0,418	0,431	0,013		A7	0,342	0,426	0,084	
F12	0,381	0,382	0,001		B7	0,387	0,466	0,079	
G12	0,427	0,446	0,019		C7	0,357	0,476	0,119	
H12	0,449	0,466	0,017		D7	0,461	0,584	0,123	
Zn ²⁺	A1	0,388	0,453	0,065	7,2 mM	E7	0,424	0,468	0,044
	B1	0,361	0,422	0,061		F7	0,372	0,47	0,098
	C1	0,341	0,454	0,113		G7	0,406	0,502	0,096
	D1	0,43	0,506	0,076		H7	0,399	0,592	0,193

A8	0,339	0,459	0,12	1,6 mM	E2	0,472	0,784	0,312	
B8	0,413	0,687	0,274		F2	0,384	0,405	0,021	
C8	0,36	0,473	0,113		G2	0,401	0,77	0,369	
D8	0,451	0,802	0,351		H2	0,437	0,753	0,316	
E8	0,417	0,614	0,197		A3	0,409	0,865	0,456	
F8	0,41	0,461	0,051		B3	0,407	0,858	0,451	
G8	0,415	0,656	0,241		C3	0,376	0,389	0,013	
H8	0,427	0,797	0,37		D3	0,452	0,857	0,405	
A9	0,357	0,659	0,302	0,0 mM	E3	0,503	0,885	0,382	
B9	0,421	0,885	0,464		F3	0,409	0,44	0,031	
C9	0,362	0,452	0,09		G3	0,411	0,881	0,47	
D9	0,452	0,927	0,475		H3	0,446	0,871	0,425	
E9	0,414	0,693	0,279		A4	0,387	0,391	0,004	
F9	0,384	0,443	0,059		B4	0,423	0,395	-0,028	
G9	0,412	0,797	0,385		C4	0,399	0,376	-0,023	
H9	0,402	0,908	0,506		D4	0,445	0,407	-0,038	
A10	0,371	0,438	0,067	4,3 mM	E4	0,444	0,425	-0,019	
B10	0,437	0,529	0,092		F4	0,45	0,415	-0,035	
C10	0,384	0,461	0,077		G4	0,392	0,379	-0,013	
D10	0,44	0,736	0,296		H4	0,42	0,465	0,045	
E10	0,422	0,467	0,045		A5	0,428	0,702	0,274	
F10	0,398	0,456	0,058		B5	0,393	0,46	0,067	
G10	0,421	0,56	0,139		C5	0,371	0,388	0,017	
H10	0,426	0,772	0,346		D5	0,433	0,647	0,214	
A11	0,378	0,445	0,067	2,6 mM	E5	0,518	0,71	0,192	
B11	0,404	0,51	0,106		F5	0,433	0,394	-0,039	
C11	0,368	0,468	0,1		G5	0,41	0,605	0,195	
D11	0,43	0,777	0,347		H5	0,435	0,627	0,192	
E11	0,414	0,525	0,111		A6	0,404	0,408	0,004	
F11	0,411	0,446	0,035		B6	0,388	0,373	-0,015	
G11	0,395	0,678	0,283		C6	0,353	0,357	0,004	
H11	0,436	0,844	0,408		D6	0,438	0,425	-0,013	
A12	0,434	0,452	0,018	12,0 mM	E6	0,44	0,438	-0,002	
B12	0,41	0,466	0,056		F6	0,381	0,392	0,011	
C12	0,376	0,438	0,062		G6	0,401	0,387	-0,014	
D12	0,419	0,487	0,068		H6	0,353	0,364	0,011	
E12	0,393	0,439	0,046		A7	0,426	0,936	0,51	
F12	0,384	0,433	0,049		B7	0,394	0,74	0,346	
G12	0,384	0,457	0,073		C7	0,359	0,363	0,004	
H12	0,47	0,537	0,067		D7	0,414	0,805	0,391	
Sn ²⁺	A1	0,379	0,759	0,38	0,33 mM	E7	0,444	0,841	0,397
	B1	0,397	0,687	0,29	F7	0,411	0,415	0,004	
	C1	0,345	0,396	0,051	G7	0,425	0,854	0,429	
	D1	0,382	0,644	0,262	H7	0,388	0,82	0,432	
	E1	0,434	0,79	0,356	A8	0,407	0,807	0,4	
	F1	0,377	0,402	0,025	B8	0,408	0,676	0,268	
	G1	0,37	0,61	0,24	C8	0,352	0,381	0,029	
	H1	0,454	0,798	0,344	D8	0,527	0,887	0,36	
	A2	0,406	0,808	0,402	0,20 mM	E8	0,468	0,83	0,362
	B2	0,396	0,751	0,355	F8	0,423	0,393	-0,03	
	C2	0,363	0,384	0,021	G8	0,405	0,861	0,456	
	D2	0,412	0,709	0,297	H8	0,391	0,746	0,355	

A9	0,421	0,424	0,003	0,93 mM		E3	0,532	0,527	-0,005	
B9	0,423	0,39	-0,033			F3	0,421	0,406	-0,015	
C9	0,401	0,378	-0,023			G3	0,437	0,408	-0,029	
D9	0,468	0,435	-0,033			H3	0,437	0,426	-0,011	
E9	0,419	0,43	0,011			A4	0,411	0,458	0,047	360 mM
F9	0,467	0,429	-0,038			B4	0,37	0,413	0,043	
G9	0,47	0,413	-0,057			C4	0,397	0,446	0,049	
H9	0,394	0,391	-0,003			D4	0,493	0,488	-0,005	
A10	0,427	0,56	0,133	0,56 mM		E4	0,501	0,53	0,029	
B10	0,436	0,42	-0,016			F4	0,411	0,442	0,031	
C10	0,366	0,364	-0,002			G4	0,409	0,451	0,042	
D10	0,437	0,597	0,16			H4	0,408	0,44	0,032	
E10	0,464	0,607	0,143			A5	0,434	0,456	0,022	600 mM
F10	0,485	0,434	-0,051			B5	0,361	0,357	-0,004	
G10	0,47	0,742	0,272			C5	0,372	0,408	0,036	
H10	0,444	0,492	0,048			D5	0,64	0,602	-0,038	
A11	0,456	0,919	0,463	0,0 mM		E5	0,518	0,514	-0,004	
B11	0,401	0,899	0,498			F5	0,425	0,427	0,002	
C11	0,353	0,377	0,024			G5	0,423	0,418	-0,005	
D11	0,442	0,916	0,474			H5	0,405	0,422	0,017	
E11	0,43	0,851	0,421			A6	0,433	0,684	0,251	220 mM
F11	0,442	0,431	-0,011			B6	0,475	0,447	-0,028	
G11	0,424	0,933	0,509			C6	0,427	0,508	0,081	
H11	0,454	0,916	0,462			D6	0,482	0,72	0,238	
A12	0,422	0,425	0,003	1,60 mM		E6	0,534	0,789	0,255	
B12	0,368	0,37	0,002			F6	0,422	0,445	0,023	
C12	0,341	0,369	0,028			G6	0,397	0,505	0,108	
D12	0,407	0,411	0,004			H6	0,482	0,632	0,15	
E12	0,391	0,401	0,01			A7	0,417	0,408	-0,009	1000 mM
F12	0,359	0,361	0,002			B7	0,396	0,359	-0,037	
G12	0,405	0,424	0,019			C7	0,367	0,361	-0,006	
H12	0,478	0,474	-0,004			D7	0,464	0,428	-0,036	
NO_3^-	A1	0,444	0,859	0,415	0,0 mM	E7	0,513	0,481	-0,032	
	B1	0,363	0,688	0,325		F7	0,431	0,429	-0,002	
	C1	0,367	0,403	0,036		G7	0,415	0,373	-0,042	
	D1	0,406	0,759	0,353		H7	0,432	0,411	-0,021	
	E1	0,487	0,91	0,423		A8	0,412	0,878	0,466	0,0 mM
	F1	0,382	0,383	0,001		B8	0,391	0,728	0,337	
	G1	0,401	0,889	0,488		C8	0,389	0,444	0,055	
	H1	0,347	0,645	0,298		D8	0,475	0,98	0,505	
	A2	0,447	0,766	0,319	130 mM	E8	0,537	1,059	0,522	
	B2	0,393	0,64	0,247		F8	0,412	0,446	0,034	
	C2	0,376	0,436	0,06		G8	0,397	0,777	0,38	
	D2	0,472	0,666	0,194		H8	0,454	0,981	0,527	
	E2	0,555	0,887	0,332		A9	0,39	0,414	0,024	600 mM
	F2	0,479	0,501	0,022		B9	0,378	0,363	-0,015	
	G2	0,406	0,833	0,427		C9	0,41	0,407	-0,003	
	H2	0,377	0,514	0,137		D9	0,479	0,464	-0,015	
	A3	0,442	0,437	-0,005	1000 mM	E9	0,516	0,482	-0,034	
	B3	0,395	0,379	-0,016		F9	0,414	0,408	-0,006	
	C3	0,395	0,384	-0,011		G9	0,375	0,376	0,001	
	D3	0,455	0,436	-0,019		H9	0,447	0,461	0,014	

A10	0,395	0,427	0,032	360 mM	E4	0,538	0,506	-0,032	
B10	0,463	0,427	-0,036		F4	0,45	0,466	0,016	
C10	0,4	0,433	0,033		G4	0,514	0,568	0,054	
D10	0,468	0,486	0,018		H4	0,454	0,439	-0,015	
E10	0,488	0,497	0,009		A5	0,392	0,388	-0,004	
F10	0,427	0,436	0,009		B5	0,424	0,484	0,06	
G10	0,412	0,409	-0,003		C5	0,374	0,387	0,013	
H10	0,571	0,549	-0,023		D5	0,394	0,374	-0,02	
A11	0,38	0,609	0,229	130 mM	E5	0,504	0,467	-0,037	
B11	0,388	0,62	0,232		F5	0,419	0,445	0,026	
C11	0,365	0,447	0,082		G5	0,486	0,484	-0,002	
D11	0,469	0,782	0,313		H5	0,4	0,435	0,035	
E11	0,463	0,762	0,299		A6	0,357	0,436	0,079	
F11	0,388	0,419	0,031		B6	0,442	0,507	0,065	
G11	0,359	0,573	0,214		C6	0,358	0,448	0,09	
H11	0,464	0,751	0,287		D6	0,415	0,453	0,038	
A12	0,423	0,496	0,073	220 mM	E6	0,499	0,527	0,028	
B12	0,415	0,454	0,039		F6	0,485	0,479	-0,006	
C12	0,398	0,417	0,019		G6	0,467	0,573	0,106	
D12	0,636	0,733	0,097		H6	0,418	0,446	0,028	
E12	0,482	0,673	0,191		A7	0,458	0,467	0,009	
F12	0,384	0,521	0,137		B7	0,426	0,424	-0,002	
G12	0,41	0,44	0,03		C7	0,377	0,397	0,02	
H12	0,474	0,724	0,25		D7	0,386	0,372	-0,014	
SO_4^{2-}	A1	0,364	0,42	0,056	360 mM	E7	0,504	0,486	-0,018
	B1	0,419	0,454	0,035		F7	0,467	0,464	-0,003
	C1	0,364	0,487	0,123		G7	0,494	0,499	0,005
	D1	0,384	0,391	0,007		H7	0,383	0,408	0,025
	E1	0,421	0,42	-0,001		A8	0,395	0,436	0,041
	F1	0,381	0,406	0,025		B8	0,432	0,44	0,008
	G1	0,434	0,48	0,046		C8	0,375	0,415	0,04
	H1	0,375	0,43	0,055		D8	0,381	0,377	-0,004
	A2	0,409	0,484	0,075	130 mM	E8	0,501	0,504	0,003
	B2	0,436	0,631	0,195		F8	0,429	0,509	0,08
	C2	0,489	0,459	-0,03		G8	0,478	0,498	0,02
	D2	0,391	0,461	0,07		H8	0,435	0,444	0,009
	E2	0,466	0,56	0,094		A9	0,362	0,553	0,191
	F2	0,409	0,448	0,039		B9	0,421	0,534	0,113
	G2	0,474	0,764	0,29		C9	0,366	0,423	0,057
Cl^-	H2	0,475	0,61	0,135		D9	0,395	0,432	0,037
	A3	0,378	0,85	0,472	0,0 mM	E9	0,498	0,742	0,244
	B3	0,475	0,958	0,483		F9	0,396	0,436	0,04
	C3	0,374	0,444	0,07		G9	0,474	0,8	0,326
	D3	0,398	0,802	0,404		H9	0,45	0,534	0,084
	E3	0,47	0,932	0,462		A10	0,421	0,463	0,042
	F3	0,414	0,45	0,036		B10	0,424	0,447	0,023
	G3	0,488	1,052	0,564		C10	0,54	0,454	-0,086
	H3	0,383	0,845	0,462		D10	0,4	0,4	0,0
	A4	0,391	0,434	0,043	600 mM	E10	0,492	0,526	0,034
	B4	0,419	0,423	0,004		F10	0,457	0,456	-0,001
	C4	0,34	0,413	0,073		G10	0,488	0,569	0,081
	D4	0,451	0,431	-0,02		H10	0,426	0,401	-0,025

	A11	0,464	0,97	0,506	0,0 mM		E5	0,487	0,489	0,002	
	B11	0,403	0,86	0,457			F5	0,404	0,388	-0,016	
	C11	0,37	0,443	0,073			G5	0,405	0,399	-0,006	
	D11	0,396	0,919	0,523			H5	0,46	0,464	0,004	
	E11	0,486	1,015	0,529			A6	0,446	0,433	-0,013	1000 mM
	F11	0,406	0,434	0,028			B6	0,424	0,393	-0,031	
	G11	0,453	1,033	0,58			C6	0,389	0,389	0,0	
	H11	0,403	0,717	0,314			D6	0,497	0,48	-0,017	
	A12	0,482	0,468	-0,014	1000 mM		E6	0,488	0,483	-0,005	
	B12	0,381	0,382	0,001			F6	0,391	0,382	-0,009	
	C12	0,382	0,365	-0,017			G6	0,407	0,39	-0,017	
	D12	0,404	0,4	-0,004			H6	0,48	0,47	-0,01	
	E12	0,551	0,474	-0,077			A7	0,407	0,742	0,335	220 mM
	F12	0,355	0,431	0,076			B7	0,364	0,649	0,285	
	G12	0,425	0,459	0,034			C7	0,363	0,43	0,067	
	H12	0,421	0,428	0,007			D7	0,509	0,854	0,345	
Cl-	A1	0,461	0,804	0,343	220 mM		E7	0,47	0,765	0,295	
	B1	0,359	0,63	0,271			F7	0,445	0,413	-0,032	
	C1	0,362	0,392	0,03			G7	0,413	0,684	0,271	
	D1	0,429	0,751	0,322			H7	0,505	0,791	0,286	
	E1	0,509	0,832	0,323			A8	0,389	0,446	0,057	360 mM
	F1	0,377	0,396	0,019			B8	0,37	0,371	0,001	
	G1	0,466	0,614	0,148			C8	0,393	0,399	0,006	
	H1	0,432	0,68	0,248			D8	0,469	0,646	0,177	
	A2	0,472	0,615	0,143	360 mM		E8	0,529	0,627	0,098	
	B2	0,399	0,429	0,03			F8	0,433	0,416	-0,017	
	C2	0,405	0,406	0,001			G8	0,392	0,423	0,031	
	D2	0,449	0,521	0,072			H8	0,445	0,662	0,217	
	E2	0,511	0,754	0,243			A9	0,39	0,682	0,292	130 mM
	F2	0,426	0,409	-0,017			B9	0,411	0,725	0,314	
	G2	0,381	0,421	0,04			C9	0,405	0,412	0,007	
	H2	0,459	0,508	0,049			D9	0,507	0,886	0,379	
	A3	0,466	0,937	0,471	0,0 mM		E9	0,468	0,736	0,268	
	B3	0,4	0,723	0,323			F9	0,425	0,42	-0,005	
	C3	0,383	0,421	0,038			G9	0,423	0,656	0,233	
	D3	0,492	0,932	0,44			H9	0,465	0,798	0,333	
	E3	0,487	0,942	0,455			A10	0,359	0,75	0,391	0,0 mM
	F3	0,404	0,395	-0,009			B10	0,387	0,827	0,44	
	G3	0,377	0,764	0,387			C10	0,388	0,42	0,032	
	H3	0,35	0,781	0,431			D10	0,495	1,069	0,574	
	A4	0,436	0,81	0,374	130 mM		E10	0,455	0,968	0,513	
	B4	0,374	0,652	0,278			F10	0,407	0,414	0,007	
	C4	0,385	0,412	0,027			G10	0,407	0,864	0,457	
	D4	0,465	0,909	0,444			H10	0,491	0,915	0,424	
	E4	0,47	0,816	0,346			A11	0,355	0,379	0,024	600 mM
	F4	0,392	0,389	-0,003			B11	0,378	0,381	0,003	
	G4	0,375	0,655	0,28			C11	0,405	0,485	0,08	
	H4	0,395	0,694	0,299			D11	0,398	0,402	0,004	
	A5	0,42	0,431	0,011	600 mM		E11	0,434	0,439	0,005	
	B5	0,365	0,365	0,0			F11	0,413	0,403	-0,01	
	C5	0,389	0,409	0,02			G11	0,411	0,404	-0,007	
	D5	0,474	0,48	0,006			H11	0,531	0,538	0,007	

A12	0,413	0,433	0,02	1000 mM
B12	0,425	0,412	-0,013	
C12	0,401	0,402	0,001	
D12	0,403	0,391	-0,012	
E12	0,493	0,418	-0,075	
F12	0,375	0,387	0,012	
G12	0,467	0,456	-0,011	
H12	0,486	0,472	-0,014	

Merknader:

- 1) Resultatene fra denne serien har litt redusert nøyaktighet på grunn av et uhell ved tilførsel av næringsløsning.
- 2) Disse konsentrasjonsseriene ble mest sannsynlig byttet om ved tilføring av næringsløsning. De er her satt opp med antatt riktig konsentrasjonsverdi.
- 3) Næringsløsningene med kadmium ble ved et uhell tilsatt en mikrotitterplate hvor alle brønnene var inkulert. Kontrollverdiene er i resultatdelen de samme som for Hg_2^{2+} .
- 4) Absorbsjonsverdien overskred plateleserens arbeidsområde. Som differanseverdi til resultatdelen er det benyttet en gjennomsnittsverdi av de fem resterende parallelle differanseverdiene.

Elektronegativitet og toksisitet

log[M]	$e^{-0.25x^2}$	elektr	x	just e	reg(y)	reg(elektr)
-0,41	0,486	1,8	1,7	1,8	-0,480	1,973
-0,82	0,486	1,8	1,7	1,8	-0,250	1,897
-1	0,527	1,9	1,6	1,9	-0,250	1,897
-0,32	0,486	1,8	1,7	1,82	-0,030	1,822
-0,03	0,486	1,8	1,7	1,78	-0,030	1,822
-0,43	0,527	1,9	1,6	1,88	-0,030	1,822
-0,42	0,527	1,9	1,6	1,88	-0,030	1,822
-0,47	0,527	1,9	1,6	1,9	0,200	1,743
-0,33	0,406	1,6	1,9	1,6	0,410	1,669
-0,18	0,486	1,8	1,7	1,8	0,410	1,669
0,53	0,406	1,6	1,9	1,6	0,490	1,64
0,62	0,368	1,5	2	1,5	0,930	1,475
-0,27	0,368	1,5	2	1,5	1,160	1,383
-1,52	0,445	1,7	1,8	1,7	*	
0,61	0,57	2	1,5	2	*	
Regression Output:						
Constant		3,464				
Std Err of Y Est		0,305				
R Squared		0,676				
No. of Observations		11				
Degrees of Freedom		9				
X Coefficient(s)		-7,065				
Std Err of Coef.		1,631				

Verdier fra initiell veksthemming

Id	Mycel-areal (mm ²)	Mycel-omkrets (mm)	Grop-areal (mm ²)	Grop-omkrets (mm)	Enh,1	Enh,2	Tid (døgn)	Radius (mm)	Kal. radius (mm)	Hast (mm/ døgn)	r,g (mm)
Mg 26	66,13	26,92	9,1	10,84	1,329	-	7,333	4,588	3,453	0,369	1,281
Mg 3	50,91	23,54	11,48	11,18	1,602	1,64	7,333	4,026	2,513	0,24	1,193
Al 8	272,8	52,8	14,87	13,75	1,61	1,595	4,153	9,319	5,788	1,213	1,351
Al 11	63,31	26,31	9,19	10,91	1,341	-	4,153	4,489	3,348	0,626	1,276
Al 13	109,9	34,31	10,51	11,65	1,332	-	4,153	5,914	4,439	0,888	1,373
Cr 1	174	43,79	15,82	14,43	1,664	-	3,243	7,442	4,473	1,148	1,349
Cr 7	193,1	45,58	15,6	14,43	1,613	-	3,243	7,84	4,862	1,268	1,382
Cu 2	222,5	47,62	17,28	15,17	1,629	1,64	4,142	8,416	5,165	1,066	1,439
Cu 10	140,4	38,98	5,77	8,47	1,055	1,052	4,142	6,684	6,339	1,349	1,285
Cu 12	135,1	39,39	8,3	10,02	1,347	-	4,142	6,557	4,867	0,994	1,206
FeII 14	140,4	39,05	11,21	12,26	1,342	-	5,038	6,684	4,98	0,84	1,407
FeII 22	80,3	29,8	12,33	12,87	1,363	-	5,038	5,056	3,708	0,587	1,453
FeII 23	74,03	28,65	10,71	11,11	1,344	-	5,038	4,854	3,612	0,568	1,374
FeIII 27	74,66	29,67	9,94	11,38	1,308	-	3,271	4,875	3,726	0,91	1,36
FeIII 9	105,5	33,05	14,87	13,89	1,629	-	3,271	5,794	3,558	0,858	1,336
Ni 17	155,6	39,89	7,87	10,09	1,332	1,392	6,014	7,037	5,284	0,754	1,189
Pb 24	40,89	21,51	9,95	11,04	1,343	-	5,073	3,608	2,686	0,382	1,325
Pb 25	140	37,49	10,03	10,84	1,331	1,396	5,073	6,676	5,017	0,841	1,343
Pb 6	193,8	45,08	12,86	12,87	1,633	1,65	5,073	7,854	4,809	0,8	1,239
Cd 16	27,43	17,27	9,39	11,11	1,328	-	4,208	2,955	2,225	0,351	1,302
HgI 15	39,34	20,15	10,31	11,18	1,341	-	2,264	3,539	2,639	0,834	1,351
HgI 20	52,67	23,5	9,11	10,84	1,325	-	2,264	4,095	3,091	1,034	1,286
HgI 21	48,15	22,62	10,12	10,91	1,345	-	2,264	3,915	2,91	0,954	1,334
HgII 18	63,21	25,26	10,11	10,84	1,344	-	2,292	4,486	3,338	1,129	1,335
HgII 19	50,47	23,16	10,71	11,04	1,342	-	2,292	4,008	2,986	0,976	1,376
HgII 4	57,97	24,01	12,11	12,33	1,602	1,626	2,292	4,296	2,682	0,843	1,226

